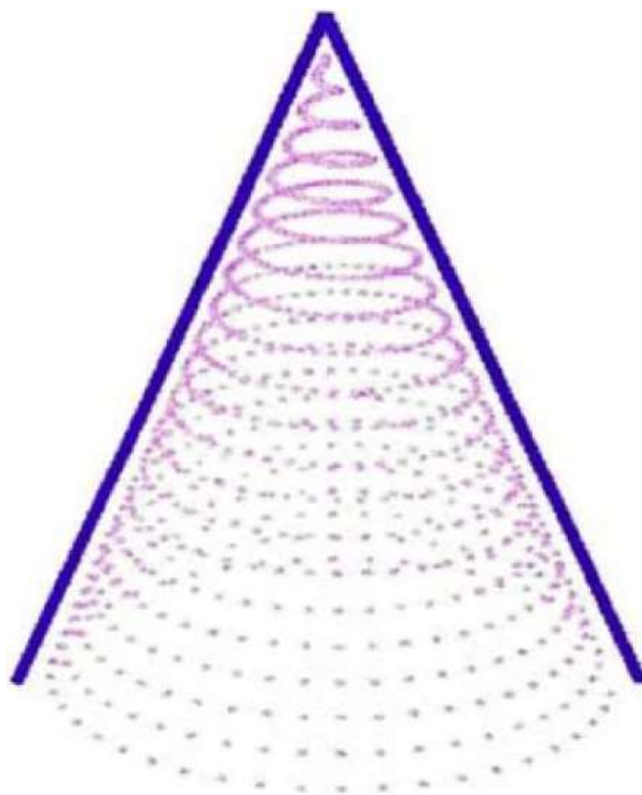


СИЛА ФОРМЫ

(Сверил со сканом книги с сайта archive.org и перевел Механик 20210907-20211028)

Трактат о том, как форма преобразует
универсальный эфир в электромагнитные и
гравитационные силы и связанные с этим открытия
в области гравитационной физики



Dan A. Davidson

СОДЕРЖАНИЕ

ПРЕДИСЛОВИЕ	6
ВВЕДЕНИЕ	10
1. ЭФИРНАЯ ФИЗИКА СИЛЫ ФОРМЫ.....	12
1.1 Эфир	12
1.1.1 Исторические термины для эфира	12
1.1.2 Эфир и его преобразования.....	13
1.1.3 Характеристика эфира.....	13
1.2 Ядерная физика.....	13
1.2.1 Заряд, электроны и ядерные частицы.....	14
1.2.2 Атомная структура.....	14
1.2.3 Магнетизм.....	15
1.2.4 Гравитация.....	16
1.3 Инжиниринг эфира.....	17
1.4 Сила формы и эфирные напряженные волны.....	18
1.4.1 Сила формы точки.....	18
1.4.2 Сила формы линии.....	18
1.4.3 Сила формы двух параллельных линий.....	19
1.4.4 Сила формы двух пересекающихся линий	20
1.4.5 Сила формы нескольких пересекающихся линий	21
1.4.6 Сила формы треугольника	23
1.4.7 Сила формы тетраэдра	23
1.4.8 Сила формы 12-ти точечного тессеракта	24
1.4.9 Сила формы круга	25
1.4.10 Символ Марии	26
1.5 Природные потоки энергии	27
1.5.1 Энергия спирали	27
1.5.2 Модифицированный поток энергии треугольника	28
1.5.3 Сила формы плоской линзы	29
1.5.4 Почему нарисованные линии вызывают эфирное возмущение	30
1.5.5 Комбинирование символов силы формы	30
1.5.6 Дополнительные наблюдения за энергией плоского паттерна	31
1.6 Блокирование энергии с использованием правила четырех	31
1.7 Краткое изложение физики силы формы	32
1.8 Список литературы	33
2. ПРЕДЫСТОРИЯ СИЛЫ ФОРМЫ	34
2.1 История силы формы	34
2.2 Джон Эрнст Уоррелл Кили	35
2.2.1 Краткая история Кили	36
2.2.2 Открытия Кили	36
2.2.3 Проверка открытий Кили	37
2.2.3.1 Воспроизведение эфиризации Воды	38
2.2.3.2 Физика эфиризации	38
2.2.3.3 Левитация 4-тонной железной сферы	39
2.2.4 Краткое изложение исследований Кили	40
2.3 Оргонная энергия	40
2.3.1 Краткая История Вильгельма Райха	40
2.3.2 Введение в оргонную энергию	41

2.3.3	Оракку	41
2.3.4	Конструктивные биологические эффекты оргонной энергии	42
2.3.5	Сила формы и оргонная энергия	43
2.3.6	Опасная оргонная (DOR) энергия	43
2.3.7	Краткое изложение оргонной энергии	43
2.4	Физика имплозии	44
2.4.1	Краткая история Виктора Шаубергера	44
2.5	Краткое изложение физики имплозии	47
2.6	Список литературы	47
3.	ЭНЕРГИИ ЗЕМЛИ	48
3.1	Энергии Земли	48
3.2	Лей-линии.....	48
3.3	Энергетические сетки	48
3.4	Древняя сила формы, использующая энергии Земли.....	50
3.5	Опыт использования энергии Земли	51
3.5.1	Первоначальные тесты с ясновидящими	51
3.5.2	Тесты на проходимость зеленой энергии через вещества	52
3.5.3	Эфирная энергетическая сетка Земли	53
3.6	Упражнения пранаямы, цигун и тай-чи.....	53
3.7	Фэн-шуй, китайский метод управления ци	53
3.8	Краткое изложение энергий Земли	54
3.9	Список литературы	54
4.	ЭНЕРГИЯ ПИРАМИДЫ	55
4.1	Введение к пирамиде	55
4.2	Великая пирамида не была гробницей	56
4.3	Математические соотношения Великой пирамиды	56
4.4	Энергия пирамиды	56
4.5	Краткое изложение энергетического исследования пирамиды	57
4.6	Эксперимент с медными пирамидами	59
4.7	Генерация электростатической энергии	59
4.7.1	Шокирующий опыт Леса Брауна	59
4.7.2	Спиральная энергия от вершины пирамиды	60
4.7.3	Электростатическая энергия в Великой пирамиде	61
4.7.4	Генерация электростатической энергии статической пирамидой	62
4.8	Теория как создается спиральная энергия пирамиды	62
4.8.1	Пересекающиеся линии	63
4.8.2	Сконцентрированные силы	63
4.8.3	Эффекты обезвоживания	63
4.8.4	Магнитная ориентация.....	64
4.8.5	Магнитная генерация	65
4.9	Краткое изложение энергии пирамиды	65
4.10	Список литературы	65
5.	СИЛА ФОРМЫ И "САКРАЛЬНАЯ ГЕОМЕТРИЯ"	67
5.1	Сакральная геометрия	67
5.2	Геометрические фигуры сакральной геометрии	67
5.2.1	Точка	67
5.2.2	Круг	68
5.2.3	Сфера.....	69
5.2.4	Платоновы тела	69

5.3	Математика сакральной геометрии	70
5.3.1	π (пи)	70
5.3.2	Золотая середина ϕ (фи)	70
5.3.3	Идеальные прямоугольные треугольники	70
5.4	Сила формы и сакральная геометрия	71
5.5	Сила формы, сакральная геометрия и сознание	71
5.6	Краткое изложение силы формы, сакральной геометрии	72
5.7	Список литературы	72
6.	СИЛА ФОРМЫ КРИСТАЛЛОВ	73
6.1	Введение	73
6.2	Кристаллическая структура и сила формы	73
6.3	Атомная кристаллография	73
6.3.1	Платоновы тела	74
6.3.2	Кристаллические структуры	74
6.3.3	Решетки как контейнеры энергии силы формы	74
6.3.4	Кристаллы как средства целительной эфирной энергии	75
6.4	Макрокристаллография	75
6.4.1	Макрорешетчатые структуры	75
6.5	Краткое изложение кристаллов как коллекторов силы формы	76
6.6	Список литературы	76
7.	ЭКСПЕРИМЕНТАЛЬНОЕ ИССЛЕДОВАНИЕ ЭНЕРГИЙ СИЛЫ ФОРМЫ...77	
7.1	Детекторы гравитационной энергии	77
7.1.1	Обнаружение гравитационного напряжения с использованием диэлектриков	77
7.1.2	Ничего не делающая катушка	80
7.1.3	Физика детекторов эфирного напряжения (т.е., гравитационного потока)	81
7.2	Джо Парр - открытие энергетического пузыря пирамиды	81
7.2.1	Форма как датчик энергии	81
7.2.2	ES генерация динамической пирамиды	82
7.2.3	Джо Парр – эксперименты с гравитационным колесом	84
7.2.4	Силовые поля эксперимента с гравитационным колесом	86
7.3	Повторение экспериментов с гравитационным колесом	87
7.3.1	Гравитационное колесо – экспериментальная установка и результаты	87
7.4	Астрономические корреляции с Великой пирамидой	90
7.4.1	Взаимосвязь Тельца и Плеяд	90
7.4.2	Связь с Орионом	91
7.5	Исследование эксперимента Джо Парра с помощью ясновидящих и лозоходцев	93
7.6	Алюминиевые пирамиды и наблюдение JP энергии	94
7.7	Критические параметры гравитационных экспериментов с пирамидой	94
7.8	Краткое изложение экспериментальных эффектов силы формы	95
7.9	Список литературы	96
8.	ЯДЕРНАЯ СТРУКТУРА - ОСНОВА СИЛЫ ФОРМЫ	97
8.1	Введение	97
8.2	Тороидальный электрон	98
8.2.1	Физика тороидального электрона	101
8.3	Атомная структура	105
8.4	Магнетизм	107
8.4.1	Гравитация	108
8.5	Краткое изложение ядерной структуры	109

8.6	Список литературы	109
9.	ЕГИПЕТ - ИССЛЕДОВАТЕЛЬСКАЯ ЭКСПЕДИЦИЯ	111
9.1	Исследовательская экспедиция силы формы 1997 года в Египет	111
9.2	Обзор египетской экспедиции	111
9.3	Акустическое создание силовых полей пирамиды	111
9.3.1	Акустический анализ камеры царя	111
9.3.2	Обнаружение частоты силового поля пирамиды	112
9.3.3	Межзвездный маяк	112
9.4	Измерения магнитного поля Великой пирамиды	113
9.5	Свидетельства существования передовых технологий в древнем Египте	114
Appendix A. ДВИЖЕНИЯ САКРАЛЬНОЙ ЭНЕРГИИ		115
Appendix B. СОКРАЩЕННАЯ ТАБЛИЦА ДАННЫХ ПО НУКЛИДАМ.....		119

ПРЕДИСЛОВИЕ

Автор Jerry W. Decker
PO Box 111786
Carrollton, TX 75011

www.keelynet.com

Существуют области исследований, которые относительно неизвестны широкой публике. Хотя "Энергия пирамиды" хорошо известна, мало кто применял ее к другим геометрическим формам и явлениям, которые могут быть произведены пониманием того, что происходит. Некоторые из ключевых ранних исследователей силы формы и более конкретной силы пирамиды включают Pavlita, Belizal, Turenne, Drbal и Flanagan.

Практическая эфирная инженерия достигается в природе с помощью различных геометрических форм и паттернов, о чем свидетельствуют ряды Фибоначчи, фракталы, плитки, конусы и тетраэдрические фигуры. Энтомолог Phil Callahan показал, как насекомые и некоторые растения используют геометрические формы для сбора и передачи электромагнитных и акустических волн.

Когда кто-то понимает, что эфир, будучи основным субстратом Вселенной, может подвергаться вмешательству до такой степени, чтобы создавать всевозможные скопления энергии и материи, из этого следует, что все является результатом эфирной инженерии в различной степени.

Большую часть своей взрослой жизни Дэн Дэвидсон (Dan Davidson) был на переднем крае поля эфирной инженерии. В ходе наших многочисленных дискуссий и обмена информацией на протяжении многих лет я обнаружил, что Дэн является одним из самых надежных, последовательных и серьезных исследователей, которых я имел честь знать. Мало у кого есть природная способность Дэна переходить к делу и искать то, что практически в областях альтернативной науки, в отличие от тех, кто предпочитает продвигать явления как непознаваемые тайны или недоказанные утверждения.

Чтобы что-то изменить, требуется не только огромная самоотверженность и настойчивость, но и значительные вложения личного времени и денег. Я обнаружил, что Дэн вкладывает свои деньги и время туда, где находится его вход, и фактически проводит эксперименты, чтобы опровергнуть или подтвердить утверждения.

Еще один ключевой дар, которым, как я обнаружил, обладает Дэн, - это его открытость к использованию не механистических подходов в изучении альтернативной науки.

Например, в некоторых случаях метафизика является столь же действенным инструментом, как и использование аппаратных средств, и это действительно редкий дар - иметь возможность и желание заполнить эти недостающие пробелы, используя информацию, полученную из таких источников.

Насколько я понимаю, это не имеет отношения к источникам информации, которые приводят к новой технологии, только то, что они работают так, как утверждается, и могут быть воспроизведены другими и использованы на практике всеми.

Когда вы читаете "Силу формы", вы должны иметь в виду, что Дэн описывает форму эфирной инженерии на ее ранних стадиях. Недавние и текущие события придают все большее доверие идее о том, что давно умершие цивилизации понимали эти эфирные принципы и использовали их в своей повседневной жизни. Я верю, что то, что вы прочтете в книге "Сила формы", - это описание того, что в конечном итоге приведет к радикально новым технологиям.

Суть того, как геометрические паттерны могут влиять на потоки энергии, точно такая же, как и то, как работают антенны и другие резонирующие структуры. Поскольку все резонирует и устанавливает передачу информации и энергии между двумя или более резонансными телами, то двумерный паттерн может точно резонировать с трехмерной структурой.

Точно так же, как микроволновый рупор или антенна собирает, или передает волновую энергию, геометрические паттерны также могут использоваться для сбора, передачи или модуляции окружающих энергетических полей, включая эфир.

Исследователь киматики 17 века Ernst Chaldni обнаружил, что вибрирующие волновые пластины позволят вам на самом деле видеть звуковые волны в виде двумерного изображения. Hans Jenny обнаружил, как расширить эти двумерные изображения в трехмерные формы, которые четко показывают форму как простых, так и сложных волн.

John W. Keely использовал такие вибрирующие волновые пластины в качестве ранней, но более совершенной формы осциллографа, позволяющей ему видеть не только волны, но и то, как они взаимодействуют друг с другом. Волновые пластины легли в основу его ультрафиолетового проекционного микроскопа, позволяющего ему видеть вибрирующие атомы на экране.

Современные эксперименты с феррофлюидами, приводимыми в движение магнитом динамика, показывают удивительно сложное и красивое отображение статических или динамических трехмерных волновых структур, в зависимости от того, фиксированы или изменяются тона.

В метафизике мы находим использование геометрических мандал в качестве инструментов фокусировки сознания. Они служат в качестве двумерной формы. Когда эта двумерная форма расширяется до трех измерений, мандала тогда становится вокализированным пространственным паттерном, называемым мантра (янтра). Однажды преобразованная в три измерения, она теперь имеет энергетическую структуру.

Геометрические принципы силы формы, описанные в этой книге, представляют собой эти двумерные формы, функционирующие как эфирные или тонкие энергетические волноводы.

Геометрия силы формы обычно используется в защитных кольцах церемониальной магии, при изготовлении амулетов и талисманов, а также в знаках (сигнатурах) различных демонических или ангельских сущностей. Эти паттерны создают соответствия (резонансы) для установления контакта с желаемой сущностью или влиянием. Стимулируя такую геометрию силы формы, вы буквально пробуждаете или вызываете влияние, точно так же, как делаете телефонный звонок.

Есть история о группе экспериментаторов, которые выгравировали сигил стихийного духа ветра на печатной плате. Плата подвергалась воздействию флуктуирующего магнитного поля высокой плотности (с использованием различных частот до тех пор, пока не был отмечен эффект). После нескольких минут возбуждения ветер за пределами здания усилился, и здание рухнуло, когда сущность ветра попыталась сфазироваться с резонатором.

В более практическом смысле силу формы можно понимать как средство смещения потоков энергии в предпочтительном направлении. Это направление представляет собой геометрию, которая отражает как трехмерную структуру, резонирующую и обменивающуюся энергией с другими подобными резонансными структурами, потому что они теперь настроены.

Дэн описывает интересное открытие, в котором поток в двумерном паттерне может быть смещен, чтобы следовать заданному направлению. Он обнаружил, что паттерн должен быть нарисован одним непрерывным росчерком пера, а не нарисован по частям. Насколько я понимаю, когда ручка или карандаш двигаются, чтобы нарисовать паттерн, осаждаются кристаллы, которые указывают в направлении пути, подобно упавшим костяшкам домино, служащим своего рода волноводом для тонкой или эфирной энергии.

Возможно, что-то в этом роде могло бы послужить для создания канала для смещения потока энергии в коллектор. Как только коллектор заряжен, он может быть извлечен путем его дренажа или в виде внезапного разряда.

Другое утверждение, иллюстрирующее, как можно использовать силу формы, содержится в файлах инкунабул. Исходя из предположения, что существует бесконечное

множество других миров, сосуществующих с нами, но немного не в фазе, было создано устройство, в котором использовался резервуар для сенсорной депривации, телевизионный экран для проецирования двумерного паттерна и соленоидный шлем для отправки трехмерного электромагнитного паттерна, резонирующего с двумерным изображением.

Файлы инкунабул указывают, что мандала/мантра для 5 альтернативных Земель была найдена, и что субъект может быть физически перенесен в другую реальность просто путем одновременного просмотра 2D- и 3D-карты для этой локации. Опять же, сила формы.

Еще одна концепция, использующая силу формы, - это "тулпоиды" Tom Bearden's, которые являются сущностями из альтернативных реальностей. При правильных условиях эти сущности могут перейти из своей реальности в нашу, даже оставив физические следы, находясь здесь. Техника включает в себя зарядку сущности до энергетического уровня, соответствующего целевой реальности, а затем представление образов мандалы/мантры для включения сдвига. Как только энергетический уровень инопланетной сущности вернется в свое естественное энергетическое состояние, она вернется в свою домашнюю реальность. Bearden подчеркивает, что все возможные миры и творения существуют даже на ментальном уровне, поэтому, создавая устойчивый паттерн, вы фактически создаете эту реальность где-то во вселенной. Используя силу формы, возможно, удастся превратить эту желаемую микрореальность в нашу собственную.

Писатель-фантаст John Campbell написал рассказ о радиоэлектронном приборе Иеронимуса, в котором пустая пластиковая кредитная карта нагревалась для размягчения пластика. Радиоэлектронный прибор был настроен на заданный паттерн (сигнатуру), который электростатически проецировался между двумя металлическими пластинами. Когда нагретый пластик помещали между пластинами и давали остыть, формировался электрет, который продолжал транслировать паттерн без какого-либо внешнего источника питания. Паттерн представляет собой сигнатуру, которая имеет трехмерную форму, резонирующую с настроенной реальностью, так как определяется волей оператора радиоэлектронного прибора.

Доктор Thelma Moss из Калифорнийского университета в Лос-Анджелесе (UCLA) определила паттерны мозговых волн для различных эмоциональных и физических состояний. Эти паттерны, записанные на самописец в двух измерениях, могут быть спроецированы на субъект для получения желаемого эффекта. Проецируемый паттерн снова становится трехмерным и, таким образом, структурирует форму. Доктор Michael Persinger обнаружил, что мысли возникают в мозге в виде трехмерных форм, которые с помощью оборудования сводятся к двумерным паттернам.

Египетский бог Thoth был хранителем слов силы, используемых для создания контролируемых явлений, когда они произносились с правильной интонацией и произношением. В случае, когда Isis исцелила своего ребенка от смертельного укуса скорпиона, использование определенного слова силы привело к тому, что яд был удален из тела и жизненная сила вернулась. Другие легенды и мифы также относятся к использованию таких слов силы. Слова силы создавали трехмерный паттерн, который резонировал с эфиром, чтобы произвести желаемый эффект или реальность в материи или энергии.

Эдвард Лидскалнин (Edward Leedskalnin), строитель знаменитого Кораллового замка в Хоумстеде (Homestead), Флорида утверждал, что он заново открыл, как египтяне строили пирамиды. Мы должны отнестись к нему серьезно, потому что он оставил весь замок в качестве физического доказательства своей способности перемещать большие камни без использования оборудования. Соседи сказали, что он "пел" камням, но никогда не было очевидца, который мог бы засвидетельствовать эту технику. Возможно, он открыл слова силы, которые можно было бы использовать для создания схемы отклонения эфира и гравитации, ведущей к левитации.

Одной из самых больших проблем с силой формы на ее нынешнем этапе является отсутствие приборов, которые могли бы непосредственно определять количественные

изменения в эфире. Вторичные и третичные эффекты эфира, проявляющиеся в формах флуктуаций магнетизма, электричества и гравитации, а также в использовании чувствительных элементов, являются поистине вдохновляющим подходом.

Наряду с использованием вольтметра, гауссметра, амперметра, радиоэлектронных приборов и датчика гравитационных волн, живые организмы, такие как растения, также могут использоваться в качестве инструментов для демонстрации полезных или вредных эффектов тестируемого паттерна. Мышечное тестирование с использованием кинезиологии является еще одним средством определения того, является ли паттерн в целом вредным или полезным для живой системы.

Каковы будут некоторые практические применения силы формы, как только процесс будет понят?

1. Разработка настроенных паттернов, которые можно носить на теле, чтобы перенаправлять окружающую энергию таким образом, чтобы защитить человека от вредных энергий или привлечь полезные энергии. Изучающие оккультизм называют их амулетами или талисманами.

2. На протяжении своей жизни я часто сталкивался с людьми, которые неосознанно приводят к сбоям в работе машин своим присутствием. Можно было бы создать паттерн, который отфильтровывал бы такие пагубные или негармоничные поля и устранял бы их с помощью сдвига фазы на 180 градусов. Такой метод может продлить срок службы и время безотказной работы любого типа оборудования.

3. Совершенно новая отрасль энергетической медицины, использующая специальные 2D и 3D проецируемые паттерны для получения очень реального эффекта от таких виртуальных стимуляций. Не было бы никаких лекарств или физических загрязняющих веществ, которые часто приводят к побочным эффектам.

4. Обнаружение геометрий или паттернов, которые могли бы помочь направить дополнительную энергию внутрь или вокруг машины, близкую к единице, или чтобы привести ее в состояние, выходящее за рамки единицы.

5. Взаимодействие с эфиром для управления его потоком внутри вещества, тем самым изменяя его вес, характеристики или само существование.

Очевидно, что сила формы имеет множество возможных применений, и возможности для открытий широко открыты для тех, кто хочет заняться этой темой. Дэн поделился своими знаниями, чтобы другие вдохновились и увидели возможности того, как сила формы может быть использована для улучшения нашей жизни.

ВВЕДЕНИЕ

"Сила формы" - это способность многомерных форм манипулировать локальной космической энергией. В этом трактате я буду использовать термин "эфир" для обозначения локального энергетического поля пространства, которое пронизывает все пространство и время. Эфир как термин и концепция в настоящее время не принят в академических кругах, потому что эфир предположительно был опровергнут еще в начале этого столетия экспериментом Майкельсона-Морли (Michaelson-Morley). Недостатки в эксперименте вызвали новые эксперименты, которые указали на существование эфира; однако ортодоксальное сообщество физиков не приняло эти результаты. Кроме того, исследования, проведенные за последние 20 лет, вернули эфир в новом облике под названием "энергия нулевой точки" (ZPE). Я предпочитаю термин эфир, потому что он подразумевает гораздо более широкое понятие, чем ZPE.

Мы окружены естественными и искусственными формами. От замечательной геометрии атомной и субатомной области до симметричной красоты цветов и морских раковин, до формы планет и галактик, мы находим калейдоскоп форм, который бесконечным числом способов определяет нашу чудесную Вселенную. Все естественные формы являются результатом действия природных сил и, как таковые, настроены на эти природные силы, потому что они являются частью этих сил.

Я впервые использовал термин "сила формы" в своей первой книге о свободной энергии, "Энергия: Прорывы к новым устройствам свободной энергии" ("Energy: Breakthroughs to New Free Energy Devices"). В то время я посвятил целую главу эффектам геометрических форм, манипулирующих эфирным полем вокруг них. Ярким примером этого является способность формы пирамиды собирать и фокусировать эфирную энергию. Было написано множество книг об "энергии пирамид", и пирамиды прошли и все еще проходят различные стадии увлечения в нью-эйдж кругах. Способность энергии пирамиды вызывать различные эффекты хорошо документирована.

Каждая форма каким-то образом манипулирует эфиром. Конус является примером бесконечной многогранной пирамиды и, как таковой, будет выполнять многие из тех же действий, что и простая пирамида. Вигвам американских индейцев - пример почти конической формы, которая обладает многими из тех же энергетических эффектов, что и пирамида.

В этой книге будет рассмотрено, как различные формы манипулируют эфиром и как сила формы может быть использована вами для улучшения вашей жизни, вашего дома, офиса и вашего общего благополучия.

Сила формы использовалась на протяжении всей известной истории и вплоть до глубокой древности. Его наиболее распространенным проявлением было использование амулетов, церемониальной магии и оккультных практик. Такие символы, как квадрат, крест и треугольник, регулярно встречаются в оккультных символах. Крест имеет бесчисленное количество перестановок, и его связь с христианством является недавним явлением в известной истории.

В наши дни большинство людей не ассоциируют символы как очаги энергии и силы. Для них символ - это не более чем художественная или обычная фигура, которая может иметь или не иметь никакого значения, и если у них действительно есть какая-либо ассоциация силы в отношении символа, то это просто идея возможной силы, связанной с деятельностью или организацией, которая использует символ. Например, логотип компании сам по себе не будет обладать внутренней силой; однако компания может быть мощной организацией. Использование пентаграммы (т.е. пятиконечной звезды) как в белой (т.е. конструктивной с центральной точкой вверху), так и в черной (т.е. разрушительной с центральной точкой внизу) церемониальной магии хорошо известно тем, кто увлекался оккультными науками. Христианский крест и еврейская звезда Давида являются общими религиозными символами, с которыми связана определенная мистическая сила.

Когда я впервые изучал силу формы и символы, я задавался вопросом, как символ может использоваться как в конструктивных, так и в разрушительных целях, даже до такой степени, что задался вопросом, действительно ли символ имеет какое-либо отношение к магическим процессам. Я уже давно научился другому, и я приглашаю вас узнать некоторые из этих захватывающих вещей о простых формах, которые, если вы их примените, могут улучшить вашу жизнь и понимание Вселенной, в которой мы живем.

Для изучения любого типа энергетического явления необходимы приборы, позволяющие узнать, что происходит с энергиями. В физике и электронике у нас есть приборы обнаружения, такие как вольтметры, гауссметры, осциллографы, камеры Вильсона, амперметры, измерители электромагнитного поля, сканирующие микроскопы, телескопы и т.д., для обнаружения и измерения физических сил и эффектов, связанных с ними. В случае с эфиром было относительно мало реальных инструментов, пока я не изобрел приборы, которые могут обнаруживать эфирные силы и измерять их воздействие. Эти инструменты позволили понять некоторые открытия, изложенные в этом трактате.

В дополнение к физическим инструментам я также использовал ясновидящих в качестве человеческих инструментов, когда мне удавалось убедительно доказать, что у них открыто внутреннее зрение. Истинные ясновидящие способны видеть энергетические поля эфирного плана, такие как сияние вокруг человека (т.е. аура), вокруг различных проявлений света в природе (например, вокруг и внутри деревьев и живых организмов), вокруг геометрических фигур, вокруг магнитов, могут видеть внутри материи, обладают как микроскопическим, так и телескопическим зрением и многими другими замечательными способностями. Они могут видеть направление потока тонких энергетических полей, его цвет и общую форму. Мой опыт в психических исследованиях и психологическом тестировании позволил мне выявить некоторых первоклассных ясновидящих, которые предоставили дополнительное, очень ценное представление о науке силы формы.

В этой книге я смешал всех ясновидящих для простоты. Это было сделано для защиты различных личностей, поскольку все они хотят оставаться анонимными. Я использовал ясновидящих как мужчин, так и женщин для различных тестов.

Удивительно, что мы смогли доказать до сих пор. Это лучше, чем использовать осциллограф на электронных схемах. Использование ясновидящих в качестве тестового инструмента - это полная обратная связь в реальном времени о том, что именно происходит с энергией. В качестве примера я провел несколько тестов на различных материалах, чтобы выяснить, что происходит с передачей эфирной энергии через материалы. Когда использовались ясновидящие, они объясняли, что они могли видеть, когда эфирная энергия взаимодействовала с различными материалами; затем мы использовали электронные приборы для проверки того, что наблюдал ясновидящий.

По большей части, человек строит и создает, мало заботясь о форме, кроме как в качестве функционального механизма для содержания пространства и иногда добавления эстетической красоты. Есть надежда, что, обнаружив правила того, как формы манипулируют энергией, каждый, от изобретателей, артистов и архитекторов, до каждого из нас как творческих существ, сможет использовать эти научные правила для создания лучшего мира, наполненного конструктивными формами и дизайнами, которые возвышают и облагораживают всех нас.

Май 1997 года
Sierra Vista, Arizona

Dan A. Davidson

ГЛАВА 1

ЭФИРНАЯ ФИЗИКА СИЛЫ ФОРМЫ

В этой главе обсуждается мое основное открытие того, как работает сила формы, и энергии (т.е. эфирные силы), которые управляют ядерными силами.

1.1 Эфир

Фундаментальным для понимания силы формы является то, как светоносный эфир взаимодействует с материей. Основная предпосылка состоит в том, что вся материя - это просто частный случай всепроникающей универсальной энергии, заполняющей все пространство, а именно эфира. На протяжении многих лет существование и понимание эфира развивались как основа для эффектов гравитации и свободной энергии на микро- и макроуровне. Лабораторные эксперименты показали, что сверхсветовая передача энергии и информации эффективно осуществляется с помощью эфирной инженерии, которая эффективно устраняет теорию специальной теории относительности и ее предположения о постоянстве скорости света.

Эфир может быть смоделирован как сверхтекучий флюид, который имеет небольшую или вообще не поддающуюся измерению вязкость. Эта модель эфира разработана в следующей главе, где разработаны многие из основных универсальных констант, описывающих физические явления с помощью магнитных, электрических и гравитационных формул.

Мои исследования за 35 лет доказывают существование эфира как реальности. Современная физика сосредоточилась на первых экспериментах, которые Майкельсон (Michelson) и Морли (Morley) провели в начале этого столетия, не показав дрейфа эфира; однако эксперименты были ошибочными по замыслу, и более поздние эксперименты подразумевали обоснованность теории эфира. Более поздние эксперименты Траутона (Trouton) и Нобла (Noble), Саньяка (Sagnac), Михельсона (Michaelson) и Гейла (Gale), Тирринга (Thirring) и Лензе (Lenze), а также Физо (Fizeau) - все они подразумевают, что эфир существует. Джон Кили выполнил обширные эксперименты в инженерии эфира, включая создание различных гравитационных явлений, контролируемое разрушение материи на чистую эфирную силу, а затем использование эфира в экспериментах и т.д.

1.1.1 Исторические термины для эфира

Существует множество терминов, которые при анализе приводят к характеристике общей космической энергии. Такие термины, как прана из индуистской/йогической литературы, эфир (ether) или эфир (aether) из физики и метафизики до конца 20-го века, оргонная энергия из прорывных исследований доктора Вильгельма Райха (Wilhelm Reich), ци от древней до современной китайской медицины и боевых искусств в целом, все имеют очень похожие характерные черты.

Одним из терминов, который используется во многих новых научных кругах, является "энергия нулевой точки" (ZPE). Из классической физики мы узнаем, что атомы можно рассматривать как миниатюрные солнечные системы с электронами планетами, вращающимися вокруг ядерного солнца. Электроны, согласно классической физике, должны излучать свою энергию и по спирали устремляться к ядру. Очевидно, что этого не происходит. Поэтому физики изобрели квантовую механику, чтобы объяснить фактические наблюдения.

Одним из открытий квантовой теории было то, что простой осциллятор, такой как маятник, на самом деле не будет полностью останавливаться, а будет продолжать

беспорядочно "колебаться" вокруг своей "нулевой точки" с небольшим количеством энергии, всегда присутствующей, так называемой "энергии нулевой точки".

Из-за множества возможных режимов распространения (частот, направлений) в открытом пространстве энергия нулевой точки, интегрированная по всем возможным режимам, представляет собой чрезвычайно большую плотность энергии. На самом деле она намного больше, чем плотность ядерной энергии, которую можно приравнять к знаменитому уравнению Эйнштейна $E = MC^2$.

Анализ свойств ZPE приводит к выводу, что вещество поддерживается ZPE и фактически может быть смоделировано математически в качестве основы для вещества. Основные силы, такие как гравитация, ядерная связующая сила, электромагнитные силы, заряд электрона, и инерция, все выводятся из ZPE. Итак, мы приходим к выводу, что ZPE есть реально другое название эфира. Единственная полезная особенность, на мой взгляд, заключается в том, что она позволяет физикам сохранить лицо, изобретя новый незапятнанный термин для эфира, который имеет дурную славу в физическом сообществе из-за того, что он был "опровергнут" ранним экспериментом Майкельсона Морли. "Роза с любым другим именем...."

Искажение термина эфира с буквой "а" спереди широко использовалось в древней литературе. Я предпочитаю термин "эфир" ("aether"), чтобы отличать его от слова эфир (ether), которое является анестетиком.

1.1.2 Эфир и его преобразования

Я утверждаю, что эфир проявляется несчетным числом способов. Эфир взаимодействует с трехмерным веществом, и вещество является связанной формой эфира. Все различные силы, такие как гравитация, магнетизм, электричество и ядерные силы, обусловлены активностью в эфире.

1.1.3 Характеристика эфира

Мои исследования и открытия привели меня к тому, что я охарактеризовал самое основное уточнение эфира следующим образом:

1. Сверхтекучая дисперсная среда, которая пронизывает все пространство.
2. Среда, которая в своих различных режимах является строительным блоком физической вселенной.
3. Среда, которая в одном из своих режимов отвечает за все известные более грубые физические силы, такие как магнетизм, электричество, электрический заряд, гравитация, инерция, а также сильные и слабые атомные силы.
4. Среда, которая управляется нашим разумом и может быть преобразована нашими мыслями.
5. Среда, которая может быть усилена и преобразована в любую силу или проявление с помощью материалов, форм и более грубых сил.

В этой книге мы рассмотрим эфир как многие из этих характеристик, но в первую очередь с точки зрения силы формы, которая заключается в способности геометрической и атомной структуры изменять, усиливать, фокусировать и в целом "квалифицировать" или придавать определенные качества эфиру и его различным характеристикам.

1.2 Ядерная физика

Вполне возможно вывести ядерную структуру вещества, а также основные атомные, ядерные и электромагнитные константы путем анализа эфира. Рассматривая эфир как

гидродинамический флюид^{1,2}, а ядерные частицы как тороидальные (т.е. кольцевые или пончиковые) формы, можно получить всю известную физику атома, что приведет к новой, удовлетворяющей атомной морфологии. Имейте в виду, что тороид является частным случаем самоподдерживающегося вихря. Эта математическая модель более подробно разработана в главе 8 этой книги.

1.2.1 Заряд, электроны и ядерные частицы

Заряд вещества обусловлен ее взаимодействием с эфиром. Электрон, как и некоторые другие субатомные частицы, являются самоподдерживающимися вихрями в флюидном частичном эфире. Электрон, чтобы быть стабильной частицей, представляет собой вихревое кольцо или тороидальную структуру, состоящую из эфира.

Заряд представляет собой разницу в концентрации эфира между двумя точками (т.е. градиент в эфире). Масса (т.е. атомные частицы) состоит из эфира, эфир непрерывно втекает в частицы и вытекает из них в виде вихрей, а заряд обусловлен тем, что в какой-то момент времени и пространства концентрация эфира отличается от локальной концентрации эфира. Заряд электрона обусловлен эфиром, входящим в вихрь и выходящим из него, и тем фактом, что электронное кольцо представляет собой концентрацию эфира.

Анализ протона приводит к выводу, что он также является эфирным тороидальным вихрем с другим радиусом и кольцевым сечением^{3,4}. Протонный тороид, когда он распадается, превращается в нестабильную субструктуру, состоящую из трех кварков, также тороидов, которые вращаются как единое целое, образуя протон. Экспериментальные данные в камерах Вильсона показывают, что кварки являются нестабильными частицами и поэтому быстро рассеиваются.

Нейтрон состоит из протона и электрона, связанных в ядре, которое распадается при удалении от ядерных связывающих сил.

1.2.2 Атомная структура

Атомная структура строится в соответствии с правилами геометрии и полярностью атомных частиц. Полярности являются результатом эфирных потоков внутри и снаружи ядерных частиц, где направления потоков создают магнитные полюса.

Джон Эрнст Уоррел Кили (John Ernst Worrel Keely) был первым субатомным физиком, который охарактеризовал ядерную структуру. Его объяснение атомной структуры было выведено из его развития науки физики колебаний. Одним из его открытий было открытие субструктуры протона⁵. Он обнаружил, что это был вихрь, состоящий из трех субъядерных частиц, также вихрей. Дальнейшие исследования привели его к идее, что эта трехчастичная субструктура продолжалась до все меньших и меньших уровней частиц внутри каждой частицы. Кили утверждал, что научился контролировать субструктуру на 27 уровней ниже базового протона.

Атом Кили изображен в стилизованном формате на рисунке 1.2.2-1.

Первый уровень субструктуры был окончательно теоретизирован в ортодоксальном сообществе Фейнманом в 1958 году. Открытие Кили опередило Фейнмана более чем на 60 лет! Фейнман назвал три частицы, составляющие протон, "кварками".

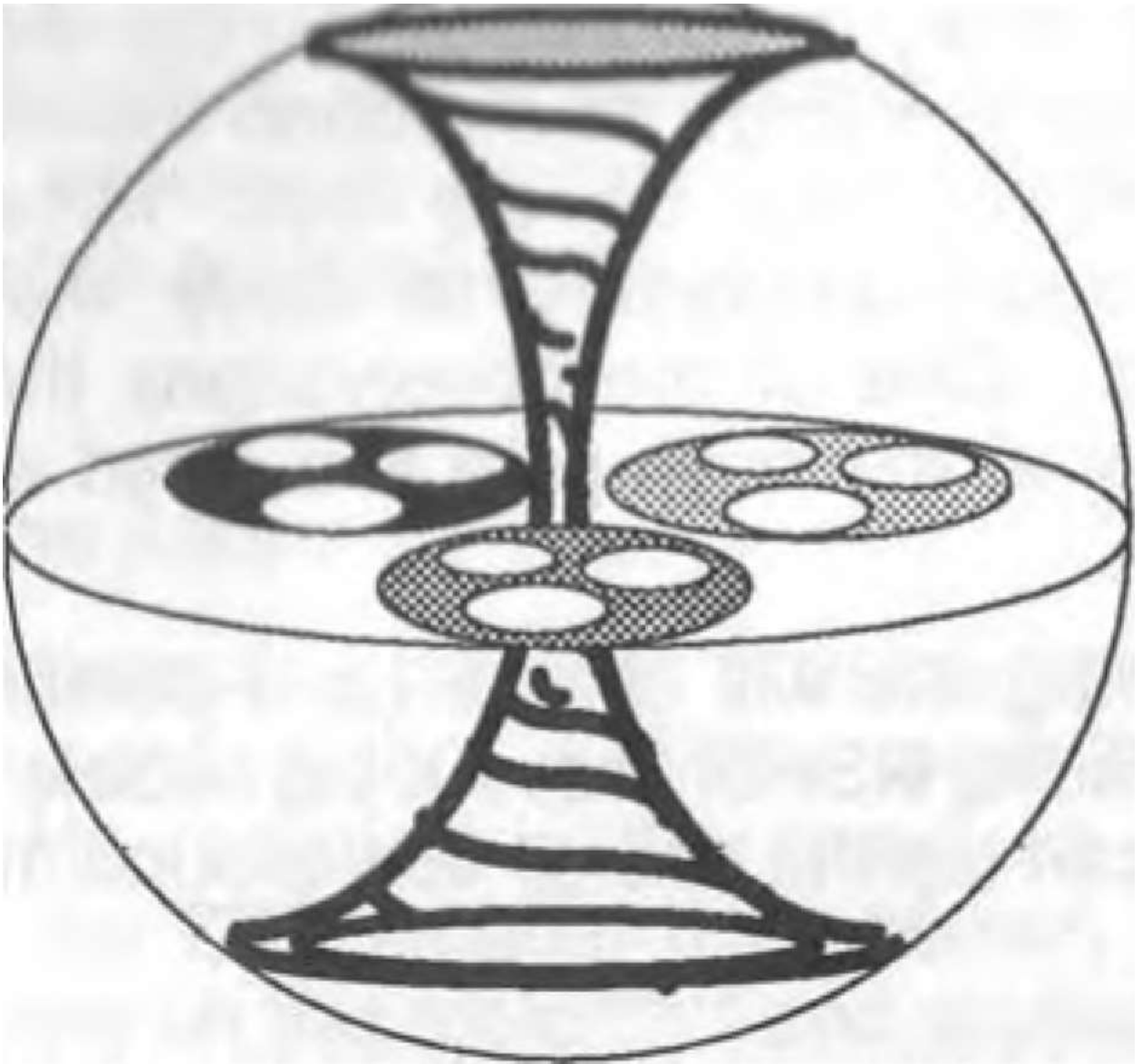


Рисунок 1.2.2-1. "Атом" Кили (т.е. протон), имеющий тороидальную структуру.

1.2.3 Магнетизм

Магнетизм существует как:

1. Естественное магнитное поле Земли, которое теоретически создается потоком жидкого ядра Земли.
2. Постоянное магнитное поле вокруг намагниченных материалов.
3. Статическое или переменное магнитное поле вокруг токоведущих проводов, где ток является либо постоянным током (DC), либо переменным током (AC) соответственно, а магнитное поле является либо статическим, либо динамическим соответственно.
4. Магнитное поле тороидального кольца электрона и обусловлено локальным эфирным полем, протекающим через него, и разностью зарядов, которую оно представляет.

В случаях 2 и 3 выше поле создается достаточным количеством электронов в выравниваемом материале, так что все их эфирные потоки являются аддитивными и создают большой поток эфира в области вокруг магнита. Итак, мы видим, что все магнитные поля являются результатом вихревых потоков эфира.

Сильная полярность магнитов обусловлена концентрацией эфира, текущего через полюса. Я провел тесты с ясновидящими, которые способны видеть эфирные потоки, и они подтвердили, что магнит по сути является эфирным насосом.

Магниты имеют энергию, текущую вокруг них, как я и многие другие исследователи новой науки постулировали. Мои лабораторные эксперименты, а также эксперименты с ясновидящими, доказали, что магнитное поле вокруг постоянного магнита на самом деле является вихревым (низкий уровень эфирной силы). Атомы действуют как эфирные насосы для перемещения эфира, и когда многие атомы выстраиваются в линию, как в постоянном магните, эфирные потоки атомов складываются вместе, создавая большой поток вокруг магнита. Новое исследование, проведенное в прошлом веке бароном фон Райхенбахом¹³ (Reichenbach), посвященное одической силе, использовало ясновидящих для изучения энергий вокруг магнитов, людей и т.д. Одно из наблюдений, которое они сделали, состояло в том, что на северном полюсе была голубая энергия, а на южном красная.

Удержание постоянных магнитов заряжает энергетическое поле человека или ауру. Два магнита, обращенные NS-SN, имеют большой энергетический пузырь между ними. Сила формы может перехватывать поток энергии вокруг магнитов.

1.2.4 Гравитация

Гравитация также является силой, связанной с эфиром. Поскольку электрический заряд E представляет собой градиент в эфире, гравитационная сила является градиентом электрического заряда (т.е. *grad E*). Таким образом, если эфирный градиент вокруг атома изменится, гравитационная сила также изменится. Это было продемонстрировано в эффекте Таунсенда Брауна (Townsend Brown), где высокий электрический градиент на конденсаторе влияет на его вес. Эффект может быть усилен перемещением всей массы, что синхронизирует поток эфира через массу.

Синхронизация эфирного потока в ядрах данной массы была достигнута двумя основными методами, а именно вращением или движением и акустически. Анализ различных, по-видимому, несвязанных событий, в которых наблюдалась левитация, дает некоторые важные ключи к средствам осуществления синхронизации ядер. Это было подробно объяснено в статье Дэвидсона и Декера (Decker)⁶. Кроме того, Т. Таунсенд Браун был достаточно открыт в публикации своих экспериментальных результатов, хотя они частично финансировались Управлением военно-морских исследований из Сан-Диего. Однако, когда он начал вращать свои гравиторы вокруг своей оси, результаты внезапно стали секретными, и вся информация о его экспериментах прекратилась. Есть подозрение, что в результате произошла крупная левитация, и этот прорыв был засекречен для защиты открытия, чтобы его можно было использовать для национальной обороны.

Анализ явления инерции дает основной ключ к пониманию того, как вращение может действовать для синхронизации потока эфира внутри ядерной подструктуры гравиторов. Ключевая статья в *Physical Review*, 1994, стр. 678-694, Хайша, Руэды (Haisch, Rueda) и Пухоффа (Puthoff)⁷ теоретизирует, что инерция является результатом сопротивления массы движению через поле энергии нулевой точки (ZPE) (т.е. эфир), потому что масса на ядерном уровне напрямую связана с эфиром. Пухофф и его друзья сделали хорошее математическое доказательство того, что Кили установил в 1896 году, что инерция является результатом сопротивления массы локальному эфирному полю. Следовательно, легко видеть, что движение/вращение приведет к переориентации эфирных потоков массы относительно направления движения.

Звуковая стимуляция выполняет то же самое, заставляя все атомы массы резонировать вместе, что синхронизирует эфирные потоки в ядрах. Было замечено несколько интересных эффектов левитации, когда звуковая стимуляция способствовала левитации.

1.3 Инжиниринг эфира

Некоторые из наиболее интересных исследований ортодоксальной физики связаны с ранней работой Уилера (Wheeler) и Бома (Bohm). Они постулировали идею, что электромагнитное (EM) излучение есть результат взаимодействия охватываемых энергетических напряжений в страте ZPE (т.е. эфире). Том Бирден подробно изложил эту тему^{8,9,10} и применил слово "скалярный" к этим охватываемым энергетическим напряжениям в эфире. Математически скаляр имеет величину, но не имеет направления. Применительно к эфирному инжинирингу напряженная волна в эфире мгновенно распространилась бы на все время и пространство. Она также была бы скалярной по сравнению с электромагнитным излучением, которое имеет и величину, и направление. Связь эфирной напряженной волны с электромагнитной волной является предпосылкой того, что когда две электромагнитные волны, которые на 180 градусов не совпадают по фазе, объединяются, энергия двух волн не коллапсирует до нуля, как сегодня утверждает общепринятая математика электромагнитного явления; но вместо этого создает эфирную напряженную волну, которая содержит комбинированную энергию двух электромагнитных волн. Математически выражено $E + (-E) = S$, где $S \neq 0$, где символ " \neq " читается "не равно".

Эта математика преобразования электромагнитного излучения в эфирную волну сродни исследованию сил, когда стальной блок сжимается в мощных тисках. Полная внешняя сила, действующая на сталь, равна нулю; однако внутри атомно-кристаллическая решетчатая структура стали испытывает напряжение.

Наиболее интересным аспектом этого объединения энергии является тот факт, что верно и обратное. То есть, когда две эфирные напряженные волны (S и $-S$), которые на 180 градусов не совпадают по фазе, объединяются, энергия двух волн объединяется для создания электромагнитной волны (E). Математически выражено $S + (-S) = E$, где $E \neq 0$.

Иллюстрация этих двух симметрично обратимых процессов показана на рис. 1.3-1.

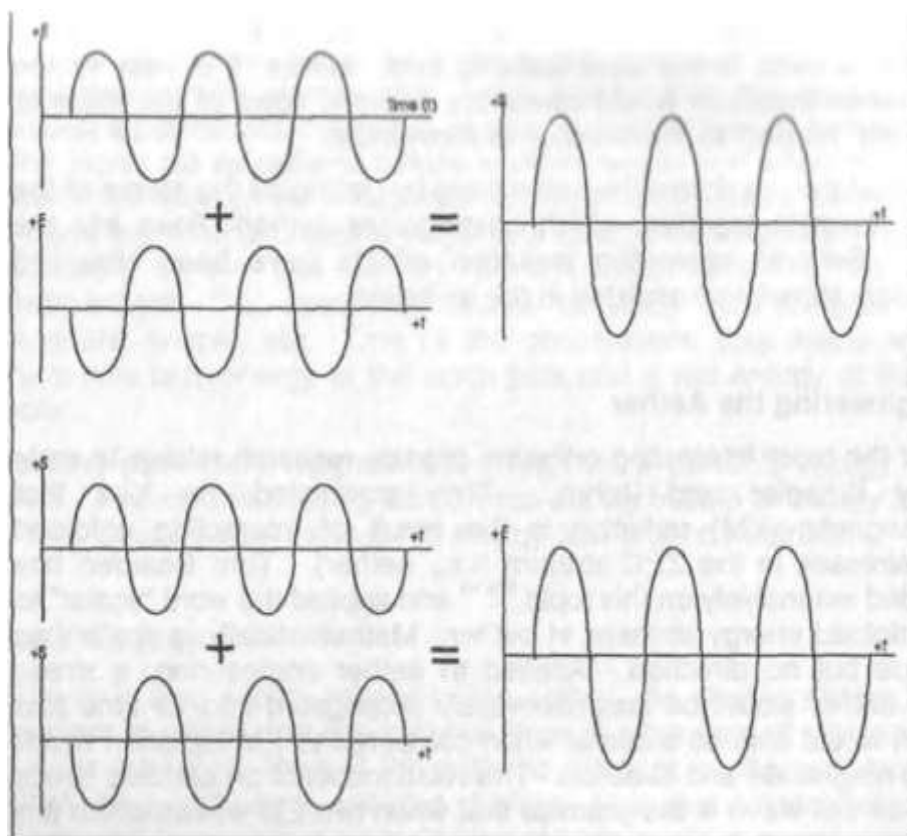


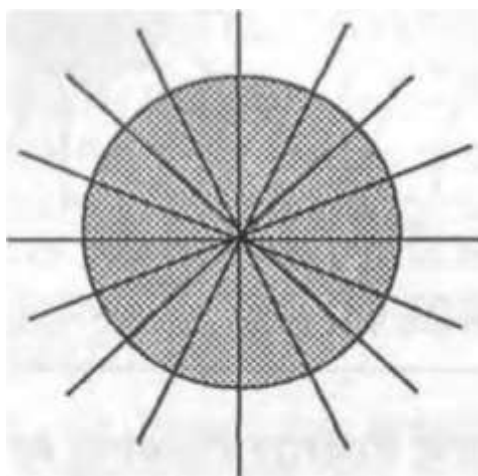
Рисунок 1.3-1 Преобразование электрической волны (E) в эфирную напряженную волну (волны) и наоборот.

1.4 Сила формы и эфирные напряженные волны

Теперь мы подошли к тому месту, где мы можем обсудить, как геометрические фигуры изменяют эфир, и получим некоторые основные правила, которые соответствуют наблюдаемым явлениям.

1.4.1 Сила формы точки

Простейшая геометрическая фигура - это простая точка, но точка является ментальным построением, потому что у неё нет размеров длины, ширины или высоты. Чтобы иметь полезный геометрический элемент, с которым мы могли бы работать, мы будем говорить о единичной эфирной частице (т.е. вихре в эфире). Это уже частично обсуждалось. Чего мы не нарисовали на рисунке 1.2.2-1, так это поток эфира, входящего в атом и выходящего из него. Это просто вихревой поток энергии внутри атома. Чем сложнее атом (т.е. с множеством субатомных частиц), тем сложнее потоки внутри ядерной структуры атома. На макроуровне для сложного атома поток будет ориентирован в обычно сферический паттерн. В простом атоме, таком как водород, поток будет больше похож на силовые линии вокруг небольшого стержневого магнита. Большинство материалов состоят из гораздо более сложных атомов, чем водород, поэтому мы можем обобщить и рассматривать эфирный поток вокруг атома как обычно радиальный с потоком либо к центру, либо от центра атома. Если мы внимательно посмотрим на потоки, то обнаружим, что эти потоки завихряются или вкручиваются в ядро и выкручиваются из него. (См. рисунок 1.4.1-1)



Сложный атом со многими порядками эфирных напряженных вихревых потоков (линий).
Простой атом, такой как водород, имел бы только одну вихревую линию входа и выхода.

Рисунок 1.4.1-1. Поперечное сечение вихревых напряженных потоков сложного атома.

1.4.2 Сила формы линии

Следующий уровень геометрической сложности - это линия. В данном случае у нас есть совокупное скопление атомов, образующих линию (т.е. из 2 или более атомов, соединенных вместе в форме линии).

Во-первых, давайте рассмотрим эфирные потоки вокруг двух атомов рядом друг с другом, которые были бы простейшей возможной линией. Эфирные потоки между двумя атомами либо соединяются, и эфир будет течь от одного атома к другому, либо потоки будут отталкиваться, и потоки будут разбрызгиваться перпендикулярно радиальной линии

между двумя атомами. Остальные эфирные потоки будут формировать излучение в виде лепешки вокруг комбинации двух атомов.

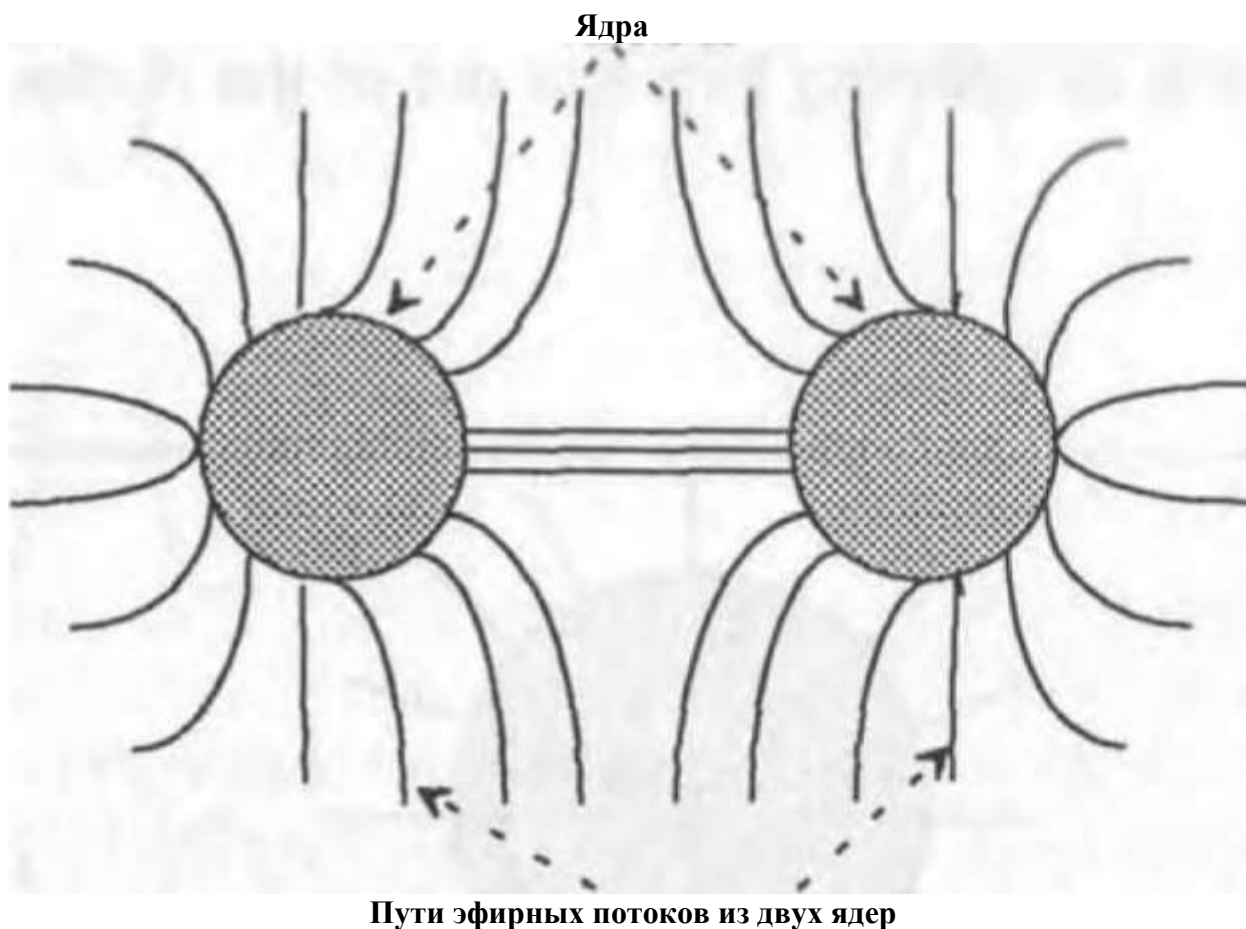


Рисунок 1.4.2-1. Эфирная энергия, текущая вокруг двух атомов, создающих простую линию.

Добавляя больше атомов к линии, мы просто удлиняем лепешку излучения вокруг линии. Конечным результатом являются эфирные потоки, перпендикулярные линии. Это проиллюстрировано на рисунке 1.4.2-1. Когда они распространяются на более длинную линию атомов, это показано на рисунке 1.4.2-2.

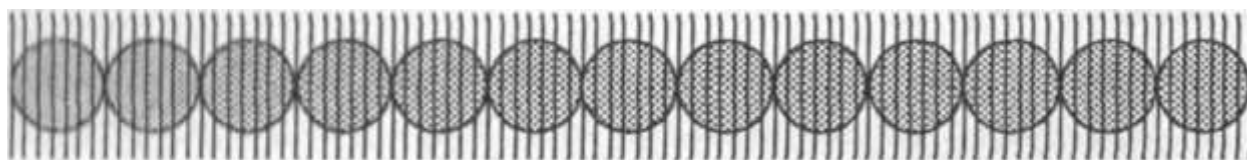


Рисунок 1.4.2-2. Вид сбоку линии атомов с эфирной энергией, излучаемой из линии.

1.4.3 Сила формы двух параллельных линий

Пара линий, параллельных друг другу, аналогична двум атомам, рядом друг с другом; однако в этом случае эфирные потоки между двумя линиями либо соединятся, и эфир будет течь из атомов в одной линии к атомам в следующей линии, либо потоки будут отталкиваться, и потоки будут отбрасываться перпендикулярно к плоскости между двумя линиями. Конечным результатом этой конфигурации является простая плоскость эфирных потоков вокруг двух линий. Близость линий определяет степень взаимодействия. И снова мы получаем в конечном итоге энергетическую конфигурацию типа лепешки.

1.4.4 Сила формы двух пересекающихся линий

Теперь начинается самое интересное. Когда две линии пересекаются, между двумя сходящимися линиями возникает градиент эфирной напряженности. Вы это поняли?

Две пересекающиеся или сходящиеся линии создают энергетический градиент в эфире.

Чем ближе к пересечению двух линий, тем интенсивнее взаимодействие. И наоборот, чем дальше от пересечения, тем меньше взаимодействие эфирных потоков двух линий.

Поскольку ядерные эфирные потоки являются вихревыми (т.е. небольшие вращающиеся потоки в эфирном поле), эти потоки будут стремиться ориентироваться к наименьшему сопротивлению между ними. Это означает, что эфирные потоки будут образовывать более крупные вихри вблизи пересечения двух линий. Конечным результатом эфирных потоков является эффект завихрения между двумя пересекающимися линиями с наиболее интенсивным вихрем на пересечении.

С помощью этой конфигурации мы теперь создали макроуровень, трехмерный вихрь в пространстве с полярностью из простой плоской фигуры. Интенсивность наибольшая на пересечении двух линий и наименьшая в самой широком месте двух пересекающихся линий, как явствует из рисунка 1.4.4-1. Поскольку это полностью сбалансированный поток эфирной силы между двумя линиями, должно быть создано небольшое количество электронного заряда и магнитного поля, но большая их часть будет сосредоточена вблизи пересечения линий. Помните, что магнитное поле, как обсуждалось ранее, представляет собой эфирный вихрь вокруг магнита, поэтому завихрение в эфире создает магнитное поле.

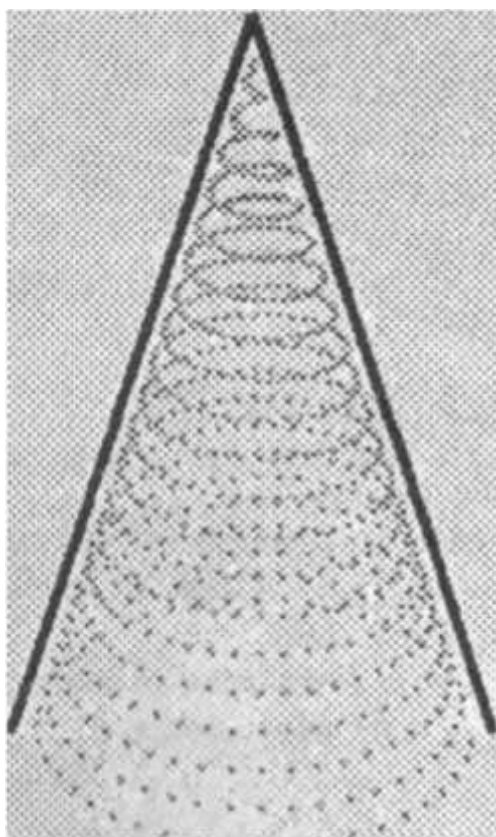


Рисунок 1.4.4-1. Эфирное вихревое явление между двумя пересекающимися линиями.

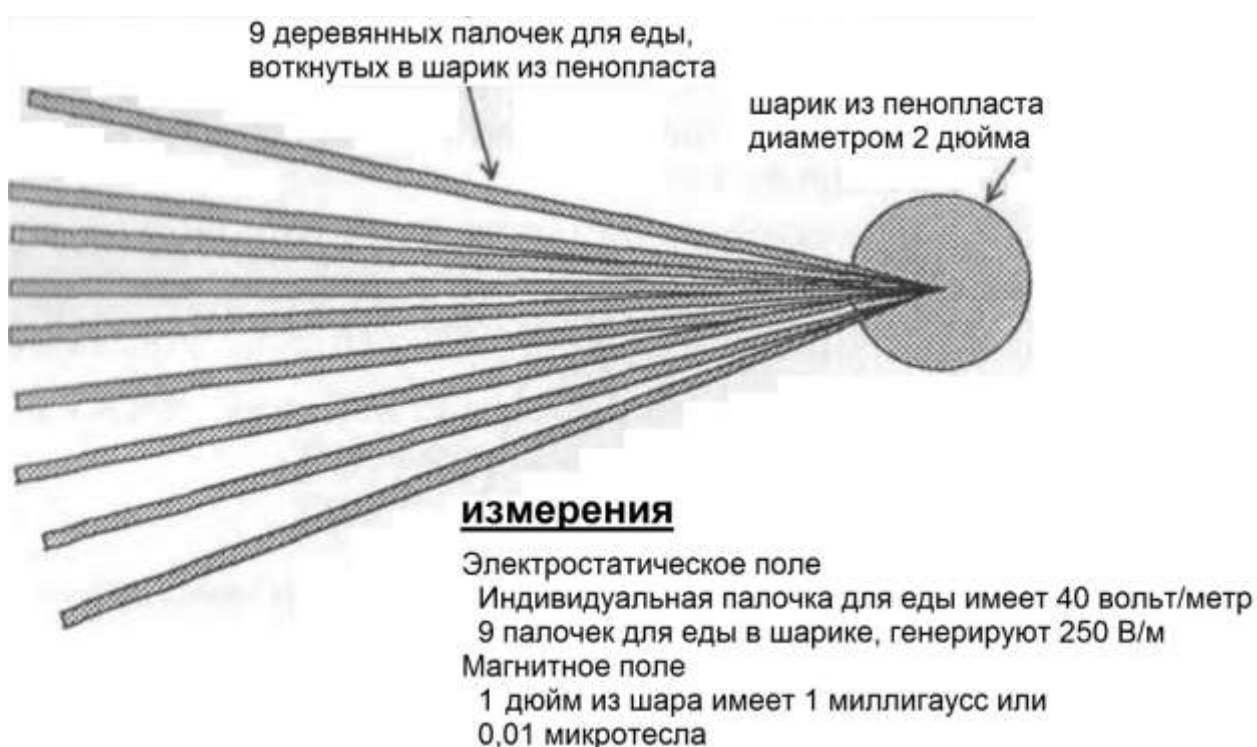
Ясновидение и ясночувствование было использовано для изучения того, какие типы энергетических паттернов сформировались вокруг пересекающихся линий, что привело к проверке моего теоретического анализа и доказательству того, что наблюдается

интенсификация потоков паттернов, предсказанных теорией. Вихрь четко видимый взору ясновидящего, и поток и концентрация упорядоченной турбулентности в эфире на пересечении линий также хорошо видны.

1.4.5 Сила формы нескольких пересекающихся линий

Большое количество линий, пересекающихся в общей вершине, приведет к созданию вблизи вершины магнитного поля и электростатического поля.

Пересекающиеся линии генерируют потоковый вихрь эфирной энергии. Магнитное поле постоянного магнита также является потоковым вихрем эфирной энергии, как обсуждалось ранее. Q.E.D – Следовательно - Эврика! Таким образом, совокупность пересекающихся стержней будет генерировать магнитное поле, потому что эфирные вихревые потоки на пересечении линий на самом деле являются магнитным полем. Это означает, что пересекающиеся линии или стержни также должны генерировать магнитные поля.



Измерения, проведенные с помощью трехпольного измерителя модель 3
Альфа лаборатории.

Рисунок 1.4.5-1 Генерация магнитных и электростатических полей с пересекающимися стержнями

Для проверки гипотезы о том, что пересекающиеся стержни будут генерировать магнитное и электростатическое поле, был проведен простой эксперимент. Эти результаты показаны на рисунке 1.4.5-1. Первоначальные измерения были проведены с помощью чувствительного измерителя и магнитометра Fluxgate. Эксперимент имел оглушительный успех. Пересекающиеся линии создают магнитное и электростатическое поле. Это крупное прорывное открытие, в котором эфирная физика силы формы предсказывает ранее неизвестное явление.

Для проверки этого эффекта были проведены дальнейшие эксперименты. Были протестированы два типа пирамид. Бумажная пирамида и пирамида из стекловолокна были

построены с 4-дюймовыми основаниями и другими пропорциями, такими же, как у великой пирамиды. На каждой стороне были линии, которые шли от одной стороны пирамиды и сходились у основания пирамиды в нижнем углу. На рисунке 1.4.5-2 изображен треугольник с линиями, образующими каждую сторону.

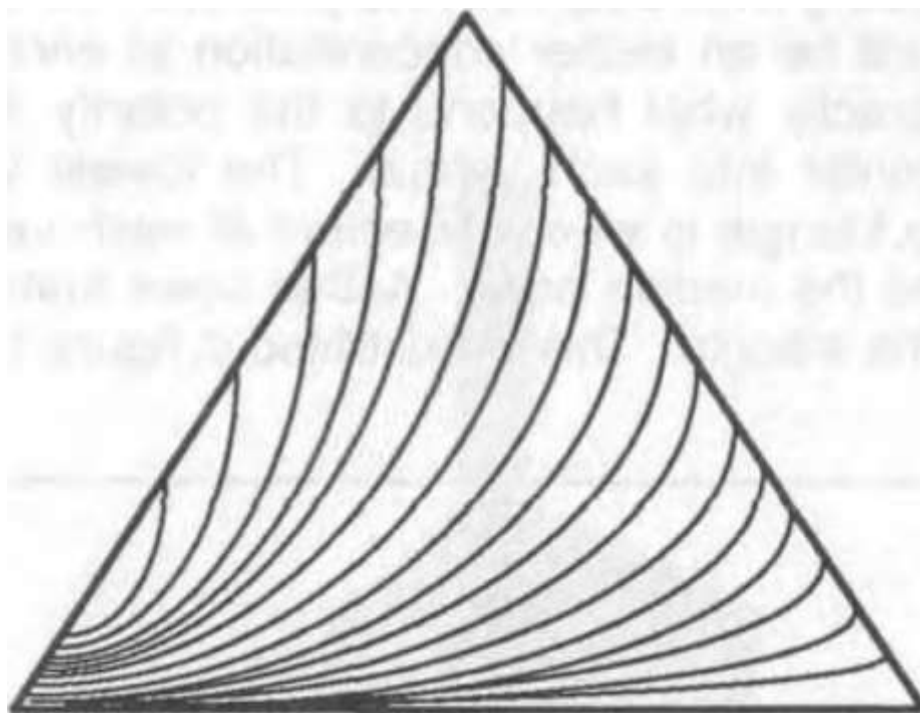


Рисунок 1.4.5-2 Стороны пирамид, используемых в сравнительных тестах измерения магнитного поля.

Магнитные измерения проводились с помощью магнитометра магнитного поля Fluxgate в основании каждой пирамиды. В таблице 1.4.5-1 приведены результаты измерений.

Табл. 1.4.5-1 Измерения магнитного поля пирамиды

	Пирамида из стекловолокна с линиями	Стек из 19 бумажных пирамид с линиями	Одиночная бумажная пирамида
Гамма	310	323	0

Из таблицы 1.4.5-1 видно, что одиночная бумажная пирамида не имела измеримого магнитного поля, а пирамида из стекловолокна со сходящимися линиями имела магнитное поле 310 гамм. Чтобы дать читателю представление об относительной интенсивности этого поля, создаваемого силой формы, в магнитном поле Земли от 20 000 до 50 000 гамм, поэтому пирамида генерирует очень небольшое, но измеримое магнитное поле. Точность магнитометра составляет +20 гамм, поэтому измерение 323 гамм стека бумажной пирамиды показывает аддитивный эффект нескольких пересекающихся линий.

Следует отметить, что эти измерения изменяются в течение дня из-за небольших флуктуаций магнитного поля Земли плюс изменения напряжения в эфирном поле, вызванные вращением Земли, что приводит к различному давлению от солнца в течение дня.

1.4.6 Сила формы треугольника

Треугольник - это соединение трех линий в их конечных точках. Это приводит нас к трем пересекающимся линиям, и из предыдущего раздела легко сделать вывод, что в

каждой вершине треугольника будет концентрация эфира. Это именно то, что происходит с потоком полярности внутри треугольника из центра в каждую вершину. Самый низкий уровень концентрации эфира в треугольнике находится там, где биссектрисы каждой вершины сходятся в общей точке, называемой средней точкой. Эфир течет из этой точки в три точки треугольника. Это проиллюстрировано на рисунке 1.4.6-1.

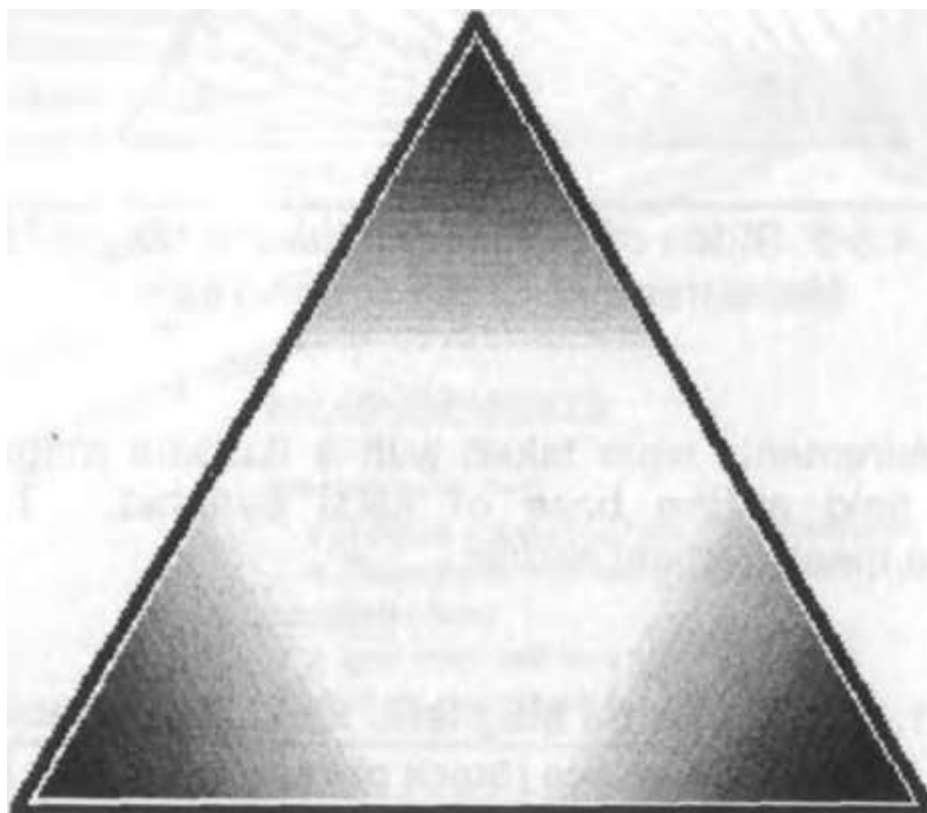


Рисунок 1.4.6-1. Эфирные вихревые явления внутри треугольника.

Если треугольник разбит на три треугольника, почти вся энергия сосредоточена в центре с небольшим количеством во внешних вершинах. Если круг окружает треугольники тетраэдра, энергия полностью фокусируется в центре круга/треугольника, поэтому круг переопределяет эффекты пересекающихся линий. В фигуре, где по периферии круга расположены треугольники, вся энергия фигуры сосредоточена в треугольниках. Как будто треугольники собирают и фокусируют энергию в круге.

1.4.7 Сила формы тетраэдра

Тетраэдр, простейшее из платоновых тел, состоит из трех соединенных треугольников, образующих трехмерную фигуру с четырьмя вершинами. Пересекающиеся линии тетраэдра имеют концентрацию эфира в вихревом паттерне на вершинах, плюс существует большая концентрация напряжений отрицательной (полярности) эфира в геоцентрическом центре тетраэдра (т.е. на $1/3$ высоты). Это проиллюстрировано на рисунке 1.4.7-1. Отрицательная полярность в центре является результатом эфирного напряжения, вытягивающего эфир из четырех углов.

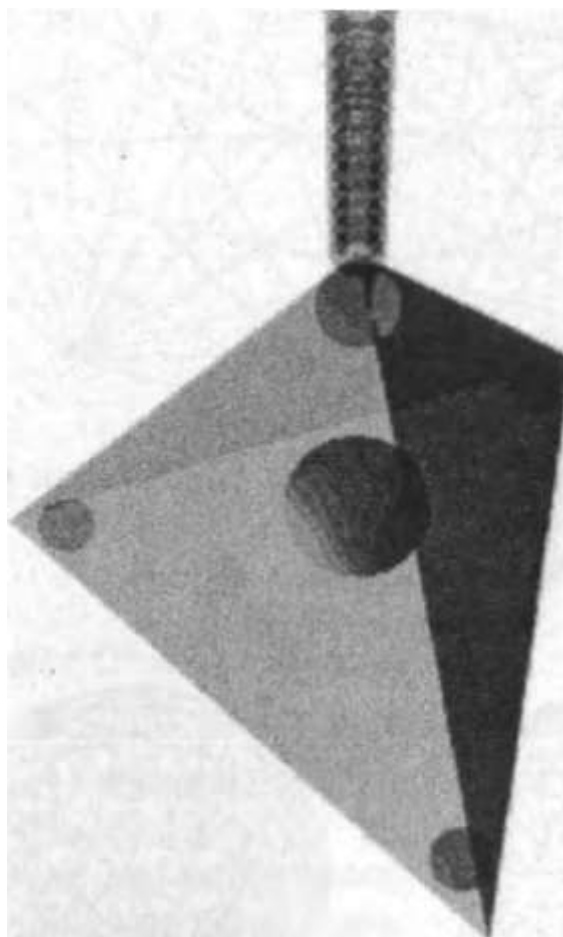


Рисунок 1.4.7-1. Эфирная концентрация внутри тетраэдра.

1.4.8 Сила формы 12-точечного тессеракта

Тессеракт - это правильная плоская фигура, состоящая из точек, равномерно расположенных по окружности, с линиями, соединяющими каждую точку с каждой другой точкой.

Пересекающиеся линии 12-точечного тессеракта (12-тессеракт) образуют множество треугольников и четырехгранных неправильных многоугольников. Эти геометрические фигуры оказывают взаимодействующее концентрирующее воздействие на эфир, которое создает трехмерный многочастотный паттерн, излучающий из 12-тессеракта, который затем действует как агент для удаления плохих/темных отрицательных энергий, где бы ни находилась фигура. 12-тессеракт показан на рисунке 1.4.8-1. Частота эфира определяет цвет, который мы видим.

Ясновидящий видит энергию 12-тессеракта в виде красивой разноцветной радуги, исходящей от него на 20-50 футов. Что еще более важно, эта фигура иллюстрирует, что на самом деле можно изменять частотные соотношения эфира с помощью относительно простых форм. До этого момента мы обсуждали только концентрацию и фокусирование эфира. 12-тессеракт фактически создает целый спектр цветов из бесцветного эфира. Это имеет огромные последствия, потому что показывает, что мы можем использовать форму для изменения колебательных паттернов эфира вокруг формы.

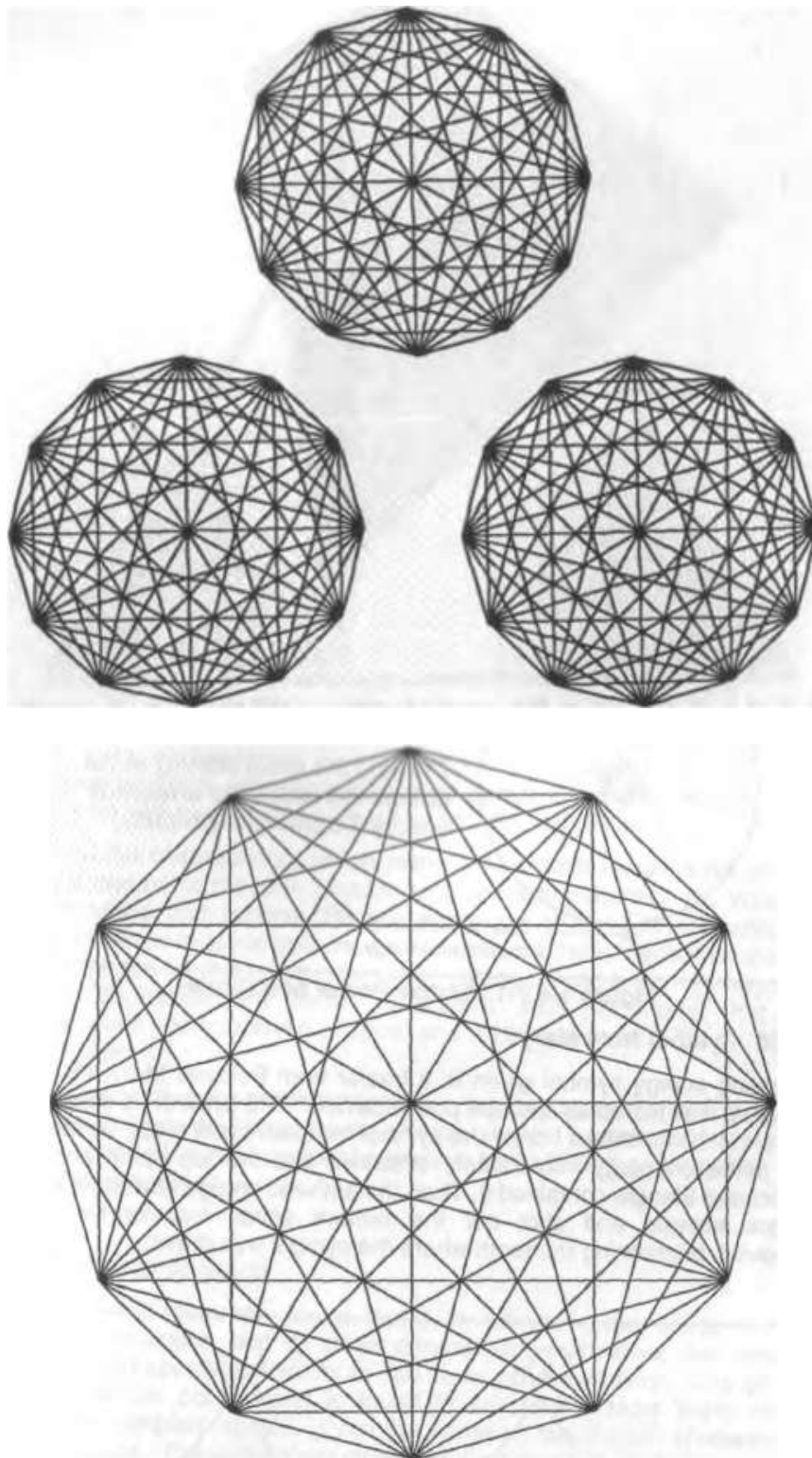


Рисунок 1.4.8-1. Сила формы 12-точечного тессеракта.

1.4.9 Сила формы круга

Круг с его концентрацией эфирной энергии показан на рисунке 1.4.9 - 1. Круг может быть представлен в виде бесконечной серии пересекающихся касательных линий. Точка фокусировки - это центр круга. Пересекающиеся линии фактически пересекают энергетические поля в центре круга. Поэтому эфир будет сосредоточен в центре круга. Это означает, что круг действует как эфирный насос, чтобы втягивать энергию и концентрировать ее в центре.

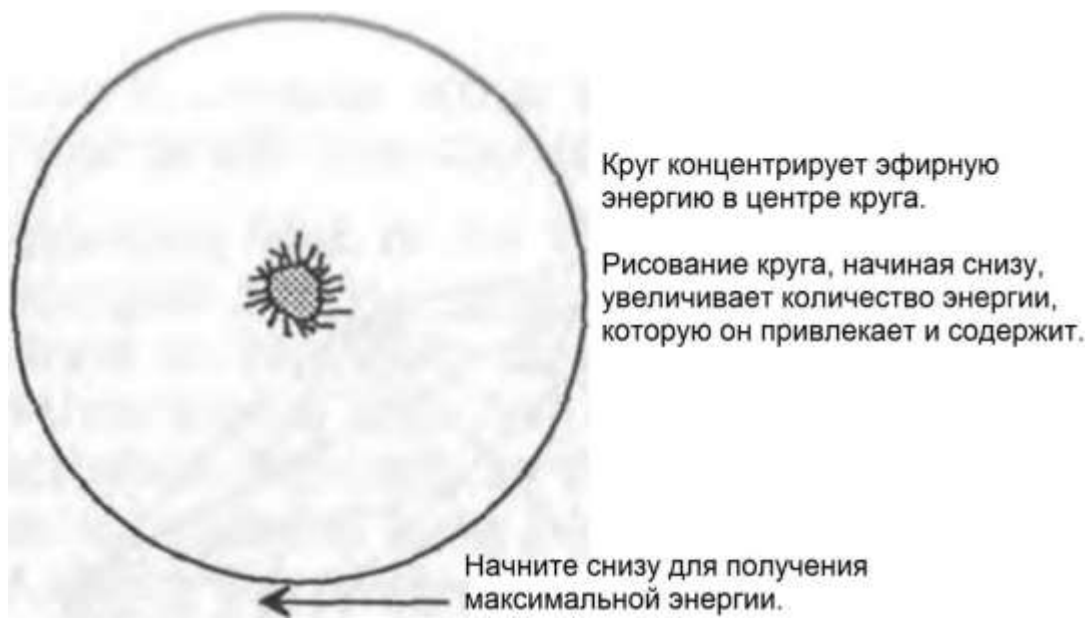
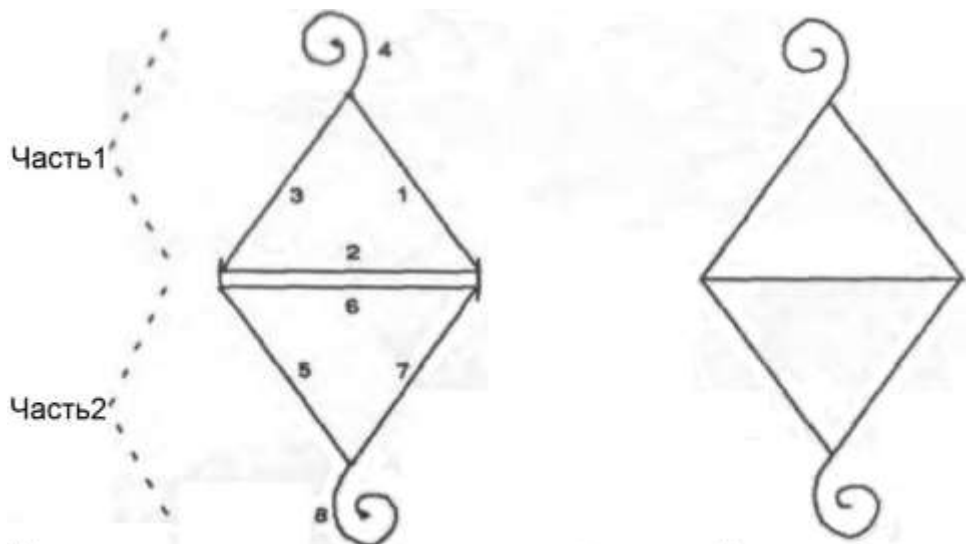


Рисунок 1.4.9-1 Сила формы круга

1.4.10 Символ Марии

Символ исцеляющей энергии, переданный целителю возлюбленной Марией, матерью Иисуса, был протестирован как устройство силы формы. Символ показан на рисунке 1.4.10-1. Когда я нарисовал символ для тестирования ясновидящим, мы обнаружили, что эфирная энергия немедленно устремилась в верхнюю спираль, и связанный с ней треугольник удерживал ее. Затем эфирная энергия потекла в нижний треугольник и выстрелила из нижней спирали, трансформировалась и улучшилась, осветив комнату, где был нарисован символ.



Показывает, как устроен символ Марии.
Нарисуйте линии по номерам последовательно в виде непрерывной фигуры, следуя направлению стрелок для части 1, а затем части 2

Финальный символ. Символ притягивает местную энергию внутрь символа и преобразует ее в более высокую, более чистую энергетическую форму.

Рисунок 1.4.10-1 Сила формы символа исцеления

1.5 Природные потоки энергии

В разделе 1.4 было рассмотрено несколько простых геометрических фигур, чтобы показать, как простые паттерны образуют форму, усиливают и направляют эфир; вплоть до изменения эфирных частотных соотношений в 12-тессеракте для изменения цвета в эфирном поле вокруг тессеракта. Однако в эфире есть еще один уровень сложности. Это связано с тем фактом, что эфир имеет естественные схемы течения.

Одно из наблюдений, которое обнаружили многие исследователи, состоит в том, что эфир предпочитает двигаться по дугам окружности или спиральным паттернам. Доктор Вильгельм Райх (Wilhelm Reich) обнаружил, что оргон (название Райха для высокой концентрации эфира) движется по спиральным паттернам, и его постоянное движение - это спирали. Шаубергер (Schauberger) в своей новаторской исследовательской работе по диамагнитной энергии (название Шаубергера для эфира) также обнаружил, что диамагнитная энергия движется по спиральным и вихревым паттернам. (См. главу 2 этой книги.)

Если мы применим это наблюдение эфира, движущегося естественно по спиральным и вихревым паттернам для эффектов силы формы, тогда разумно сделать вывод, что использование изогнутых или спиральных путей для формирования и направления эфира усилит эффекты.

1.5.1 Энергия спирали

Одной из наиболее распространенных форм, встречающихся в природе, является спираль, двумерная фигура, и ее трехмерный коррелят - вихрь. Примеры спиралей и вихрей можно найти повсюду. Один из наиболее распространенных случаев встречается в морских раковинах. Большинство раковин имеют частичные или полные спирали. Даже обычные веерообразные раковины имеют вихревую форму. Хорошо известный камерный наутилус с его очень правильной логарифмической спиралью часто используется для иллюстрации спирали. Другой хорошо известный вихревой формат обнаруживается в паттернах, создаваемых деревьями и растениями по мере формирования их листьев. Листья обычно следуют вихревой схеме, которая связана с числами Фибоначчи (т.е. 1,2,3,5,8,13.....[n]+[n-1]). Изучение этого природного явления называется филотаксис.

Когда спираль рисуется, начиная от центра и вокруг против часовой стрелки (CCW) наружу, локальная эфирная энергия втягивается в центр спирали и выстреливает наружу. Когда спираль рисуется снаружи к центру, энергия втягивается извне в центр и преобразуется в радугу цветов и заряжает энергией местность. Энергетическое поле, как его видят ясновидящие, излучается примерно на 4 фута от центра спирали и представляет собой поистине радугу прекрасных, живых цветов.

Если спирали соединяются, рисуя спираль снаружи к центру, а затем продолжая линию от центра к внешней стороне другой спирали, и делая это для еще нескольких спиралей, которые соединены от центра одной к внешней стороне следующей, то энергия чрезвычайно усиливается. Как будто каждая спираль собирает больше энергии, а также усиливает энергии предыдущих спиралей. Тестирование с чувствительными людьми также подтвердило этот самый захватывающий эффект спирали как силу формы фигуры. Если человек вообще чувствителен к энергиям, он может легко почувствовать увеличение интенсивности энергии.

Интересно отметить, что спиральная структура коррелирует с некоторыми паттернами неврологических спиральных вихревых структур в мозге, где спирали соединены друг с другом. Из этого мы можем сделать вывод, что паттерны нервной системы в мозге действуют как параметрический усилитель силы формы получаемых энергий; таким образом, собирая и усиливая количество эфирной энергии в мозге. Этот

интересный факт обсуждался в моей первой книге о свободной энергии¹². Рисунок 1.5.1-1 иллюстрирует простой вихрь.

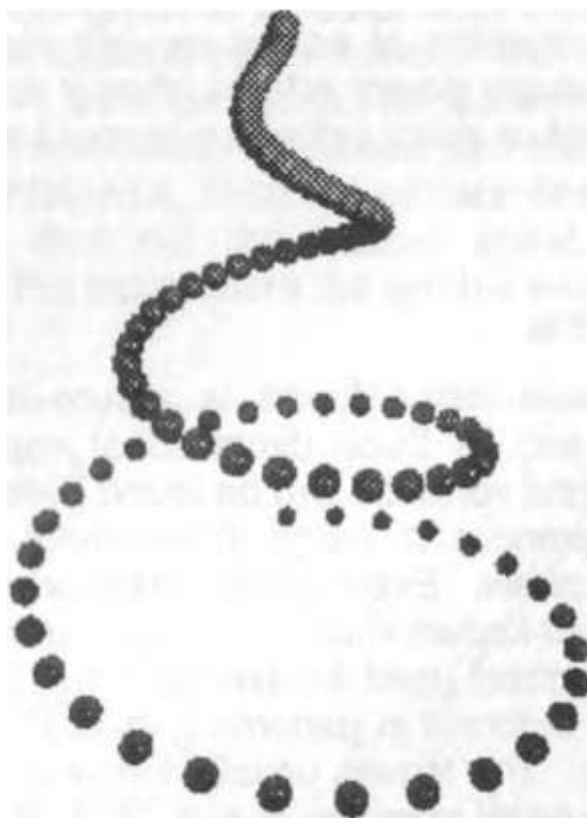


Рисунок 1.5.1-1 Паттерн вихря

Одним из ранних устройств силы формы, продававшихся в качестве изделия еще в 1970-х годах, была спираль, вытравленная на куске печатной платы с медным покрытием (РСВ). Изобретатель утверждал, что спиральная пластина заряжает энергией и улучшает вкус кофе, воды, безалкогольных напитков, вина и продуктов питания. Очевидно, что при этом использовались преимущественные черты силы формы спирали. Было бы интересно узнать, была ли оригинальная спираль нарисована снаружи к центру. Этот эффект был бы значительно усилен, если бы на подложке печатной платы было вытравлено множество взаимосвязанных спиралей. Мои экспериментальные исследования показали, что материал печатной платы, изготовленный из эпоксидного стекловолокна, не проводит эфирную энергию и является очень плохим носителем силы формы.

1.5.2 Модифицированный поток энергии треугольника

Чтобы проверить гипотезу о том, что управление эфирной энергией с помощью изогнутых линий более эффективно, был сделан треугольник со множеством изогнутых линий, где все изогнутые линии сходились на одной из вершин треугольника, как показано на рисунке 1.5.2-1. Идентичный треугольник также был построен с прямыми линиями. Результаты этого теста были впечатляющими. Треугольник с изогнутыми линиями имел во много раз больший поток и концентрацию эфира, чем треугольник с прямыми линиями. Очевидно, что если вы позволите эфиру следовать своими естественными схемами течения, поток будет намного свободнее и быстрее, чем при использовании прямых линий.

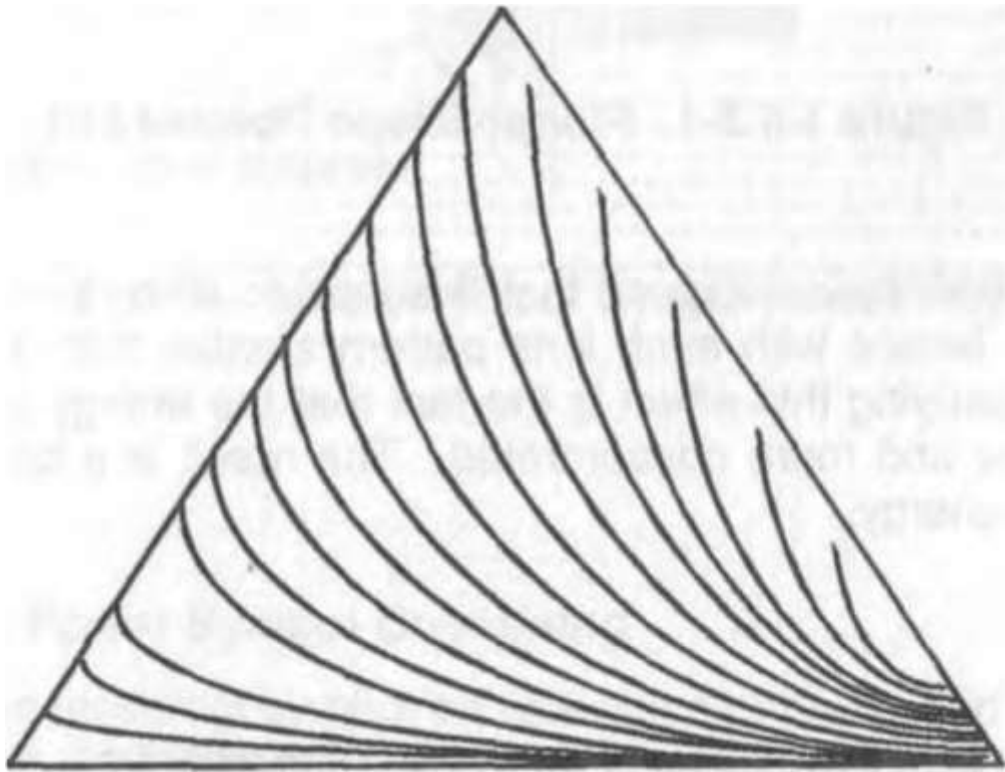


Рисунок 1.5.2-1. Изогнутые линии в треугольнике для управления силой формы

1.5.3 Сила формы плоской линзы

Другой пример силы формы паттерна изогнутой линии показан на рисунке 1.5.3-1. Было обнаружено, что эта сила формы паттерна генерирует трехмерное энергетическое поле. В данном случае энергетическое поле представляло собой энергетический луч, выходящий с обратной стороны паттерна примерно на пять-шесть футов. Энергетический луч закручивался в пучок по ширине плоского паттерна. Экспериментально мы обнаружили, что этот паттерн обладает максимальной энергией, когда изогнутые линии никогда не касаются окружающего круга. Если кривые касались круга, то круг как будто блокировал изогнутую спираль от сбора большего количества эфирной энергии и направления ее в центр круга. Из рисунка 1.4.9-1 мы знаем, что круг фокусирует энергию в центре круга. С помощью изогнутых линий сбор энергии ускоряется и выбрасывается из центра спирального паттерна.

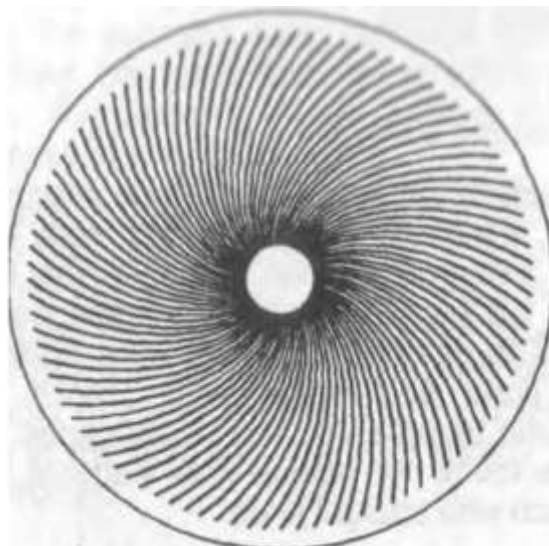


Рисунок 1.5.3-1 Сила формы плоской линзы

Дальнейшие эксперименты показали, что эти линзы могут быть уложены в серию каскадных линз, каждая из которых имеет меньший размер, чем предыдущая линза. Этот эффект сопровождается тем фактом, что энергетический паттерн становится все меньше и концентрированнее. В результате получается луч высококонцентрированной энергии.

1.5.4 Почему нарисованные линии вызывают эфирное возмущение

Есть три явления, связанные с тем почему простой акт рисования пары линий на листе бумаги, создает паттерны в эфире.

1. Две сходящиеся линии на бумаге создают напряжение в эфирном поле и вызывают завихрение эфира.
2. Линия на бумаге представляет собой другое вещество, чем бумага, и обычно будет иметь другую проводимость, чем бумага, для потока эфира вокруг него. Если в этот момент в эфире возникнет напряжение, то различные проводимости создадут вихревые токи в эфире. См. рисунок 1.5.4-1
3. Физический акт рисования любого паттерна в эфире создает эфирную запись и смещает потоки эфира в направлении, в котором был нарисован паттерн. См. рисунок 1.4.10-1 и раздел 1.5.1 об эффектах рисования спиралей в разных направлениях.

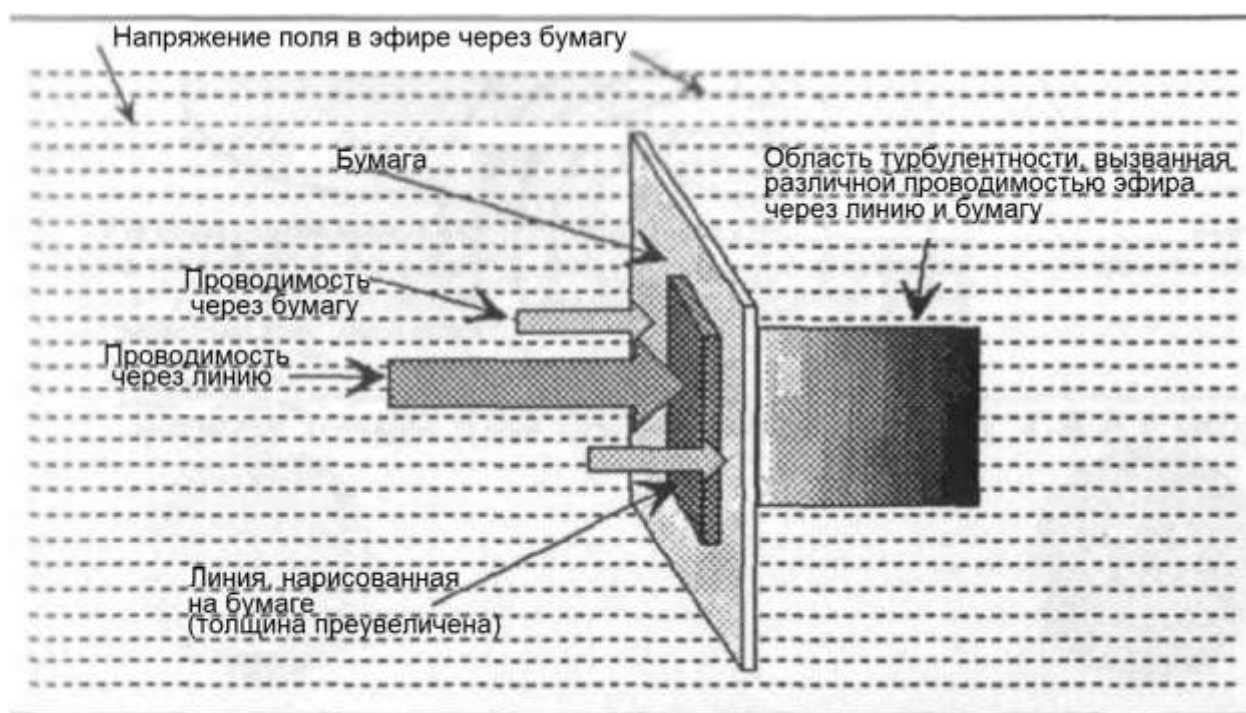


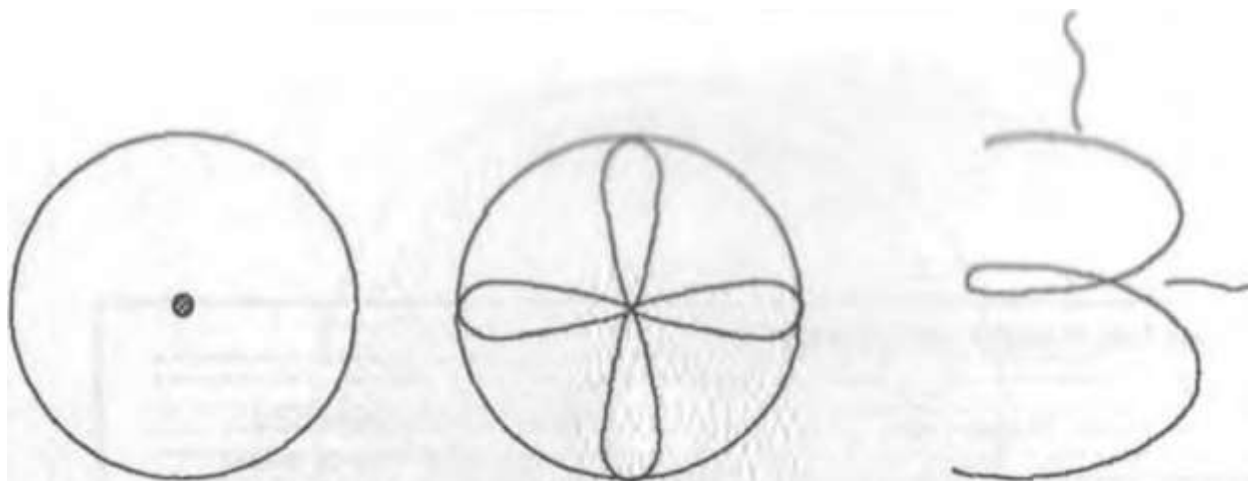
Рисунок 1.5.4-1. Линия на бумаге, физика силы формы

1.5.5 Комбинирование символов силы формы

Комбинирование символа тессеракта на одном листе бумаги и спирали на другом листе бумаги, причем листы бумаги расположены под прямым углом, показало, что энергии двух символов взаимодействуют и усиливаются. Под этим я подразумеваю интенсификацию энергий в комнате. Это показывает, что мы можем интерактивно использовать символы для интенсификации эфирной энергии и преобразования ее в любую силу, которую мы хотим, поскольку все силы являются формами эфирной энергии.

1.5.6 Дополнительные наблюдения за энергией плоского паттерна

Была проведена еще одна серия экспериментов для проверки энергетических полей трех простых энергетических паттернов. Символами были санскритский символ Ом, круг с точкой в центре и круг с лепестками внутри. Они показаны на рисунке 1.5.6-1.



Круг концентрирует энергию в центре окружности

Каждый лепесток собирает энергию и концентрирует её в центре. Добавление большего количества лепестков увеличивает собранную энергию

Символ Ом втягивает энергию в верхнюю и боковую загогулину и закручивает энергию в спираль. Паттерн имеет «очень хорошие вибрации!»

Рисунок 1.5.6-1 Манипулирование энергией с помощью плоских фигур

1.6 Блокирование энергии с использованием правила четырех

В книге "Гадание, Первичный смысл" Герберта Уивера (Herbert Weaver)¹¹, он рассказывает об открытии лозоходца Лоуренса Вейла (Lawerence Veale), в котором простое пересечение четырех линий блокировало сигнал от "свидетеля" к человеку, на которого он был настроен. Свидетель - это термин, используемый в магии и лозоходстве для обозначения любого объекта или вещества, которое либо принадлежит человеку, либо обслуживается и используется только одним человеком. Примерами свидетелей являются волосы, слюна, обрезки ногтей, личная расческа и т.д. Свидетель эфирно настроен на одного человека и ни на кого другого.

Чтобы проверить правило четырех, я попросил ясновидящих и яснослышащих "посмотреть" энергетический паттерн вокруг капельки моей слюны на листе бумаги. Они смогли увидеть слабую энергетическую связь между мной и слюной со слабым энергетическим свечением вокруг слюны. Когда я приблизился к образцу слюны, энергетическая связь стала сильнее. Затем я нарисовал четыре линии на бумаге рядом со слюной. Четыре линии или крест погасили связь со мной, когда символ был между мной и слюной. Все еще существовала слабая связь со мной, когда четыре линии не были между мной и образцом. Чтобы полностью заблокировать связь, образец должен быть описан четырьмя точками, квадратом или четырьмя символами. См. рисунок 1.6-1 для наглядного представления того, как работает правило четырех, блокирующее энергию лабиринта.



Четыре тессеракта действуют как блокирующий агент энергии для центральной фигуры лабиринта.

Рисунок 1.6-1 Правило четырех, использующее тессеракт для блокирования энергии лабиринта

1.7 Краткое изложение физики силы формы

Мой акцент на том факте, что две пересекающиеся линии создают градиент в эфире и, следовательно, создают магнитное поле, является фундаментальным открытием огромной важности. Учитывая этот факт плюс тот факт, что эфир лучше всего течет в изогнутых или вихревых паттернах, мы теперь можем разгадать тайны энергии пирамиды, сил мандалы, магических символов, энергетических эффектов кристаллов, кристалла силы Алтантов и прямого преобразования статической эфирной энергии в динамическую эфирную силу. Преобразование эфирной энергии непосредственно в полезную электрическую энергию теперь станет реальностью благодаря силе формы.

Ниже приведены эвристические наблюдения по управлению эфирной энергией и манипулированию ею.

1. Эфирная энергия существует повсюду.
2. Эфирная энергия легко перемещается движением массы; однако инерция массы - это сопротивление массы ее связи с эфиром. В основном эфирная энергия действует как суперфлюид с небольшим или практически не ощутимым сопротивлением или вязкостью.
3. Эфирную энергию можно черпать, направлять, фокусировать, лить, интенсифицировать и в целом управлять ею геометрическими формами и паттернами, а также умом или мыслью (визуализацией).
4. Эфирная энергия движется и фокусируется вокруг постоянного магнита.
5. Эфирная энергия в ее бесчисленных формах является основной жизненной силой Вселенной и как таковая является основой всей уникальной Вселенной.

1.8 Список литературы

1. "A Definition of Electric Charge", Paul Stowe, 243 Bentley Court, American Canyon, California, 94589, May 2, 1993.
2. "The Cause of Gravity", Paul Stowe and Barry Mingst, 243 Bentley Court, American Canyon, California, 94589, April 28, 1991.
3. "Spinning Charged Ring Model of Electron Yielding Anomalous Magnetic Moment", David L. Bergman and J. Paul Wesley, Ph.D., *Galilean Electrodynamics*, Sept/Oct 1990.
4. "The Stable Elementary Particles", David L. Bergman, Twin-Cities Creation Conference, July 29-August 1, 1992.
5. Dashed Against the Rock. William J. Colville, Boston: Colby and Rich, 1894. Колвилл (Colville) был близким другом Джона Кили, и эта книга представляет собой публикацию секретов Кили, встроенных в метафизический роман.
6. "Mass Resonance: Another Secret of Anti-Gravity", Dan A. Davidson and Jerry Decker, *Extraordinary Science*, April-May-June, 1995.
7. Haisch, Rueda, and Puthoff, *Physical Review*, 1994, pages 678-694.
8. Excalibur Briefing. Thomas E. Bearden. Strawberry Hill Press/A Walnut Hill Book, 1980, 1988.
9. Fer-De-Lance: A briefing on Soviet Scalar Electromagnetic Weapons. Thomas E. Bearden. Tesla Book Company, 1986.
10. AIDS: Biological Warfare. Thomas E. Bearden. Tesla Book Company, California, 1988.
11. Divining, the Primary Sense. Herbert Weaver, Routledge & Kegan Paul Ltd., 39 Store Street, London WC1E7DD, 1978.
12. Energy: Breakthroughs To New Free Energy Devices. Dan A. Davidson, RIVAS, P.O. Box 1090, Sierra Vista, Arizona, 85636, 1977.
13. Reichenbach's Letters on Od and Magnetism. F. D. O'Byrne, B.A. (London), 1852, republished by Mokelumne Hill, California, 1964.

ГЛАВА 2

ПРЕДЫСТОРИЯ СИЛЫ ФОРМЫ

В этой главе кратко излагаются некоторые исторические исследования эффектов силы формы и то, как они использовали форму для управления эфирной энергией.

2.1 ИСТОРИЯ СИЛЫ ФОРМЫ

Моя жена Джанин (Jeanin) и я провели много экспериментов с силой формы и различными формами энергии в течение многих лет. Большая часть того, что мы делали, никогда не была публично задокументирована до сих пор, поскольку в моих предыдущих работах были лишь небольшие упоминания. Сила формы была повторяющейся темой в наших дискуссиях и экспериментах с универсальной энергией, и, похоже, эту повторяющуюся тему мы находим в различных источниках.

Один из наших фаворитов является знаменитый изобретатель 19 века Джон Эрнст Уоррел Кили (John Ernst Worrel Keely), который разработал силу формы в тонкую науку. Одним из демонстрационных трюков Кили было нарисовать серию символов на доске, и одно из его вибрационных устройств или моторов начинало работать. Я предполагаю, что Кили использовал символы для управления эфирными энергиями в своей лаборатории и, возможно, фокусировал их для осуществления механической операции¹. Магия в её лучшем проявлении!

В книге "Обитатель Двух Планет" (A Dweller On Two Planets)², во время одной из инкарнаций Филоса (Phylos), китайский мастер Куонг (Quong) отвез его в тайное убежище в горе Шаста (Shasta). Во время поездки мастер продемонстрировал Филосу два оккультных символа. Куонг нарисовал на земле символ, который он назвал *Vis Mortuus*, что вызвало пламя "огня жизни", вспыхнувшее на много футов внутри символа. Символ представлял собой круг диаметром в пару футов (~0.6м) с крестом внутри круга и со скрещенными руками, направленными с востока на запад и с севера на юг соответственно. Мастер Куонг бросил палку в пламя, и она исчезла. Затем Куонг нарисовал еще один символ, который он назвал, *Vis Naturae*, и вошел в пламя, которое оказалось заряжающим энергией и омолаживающим средством. *Vis Naturae* представлял собой круг с линией посередине, проходящей с севера на юг. Последующая информация показала, что Мастер был очень стар, но у него не было никаких признаков старения.

Древнекитайское искусство Фэн-шуй (Feng Shui)^{3,4} использует размещение домов, предметов домашней обстановки, строительных площадок, планировки офисов и т.д., чтобы максимизировать природную энергию и поместить обитателей домов и офисов в гармоничную, упорядоченную, энергетическую среду. Очевидно, что оно основано на эффектах силы формы.

С Фэн-шуй связана древняя система гадания И-цзин (I Ching), основанная на порядке и расположении символов И-цзин для предсказания будущего. Символы И-цзин сами по себе являются устройствами силы формы.

Око бога, мексиканская мандала, как говорят, фокусирует духовные энергии внутри дома. Они имеют основную форму двух или более скрещенных палочек и связанных в центре. Цветная нить или пряжа сплетается вокруг палочек, создавая серию концентрических паттернов, которые, как правило, привлекают внимание к центру мандалы. Говорят, что мандала отгоняет злых духов и вредные негативные силы.

У тибетских йогов и буддистов имеется бесконечное множество мандал, которые как утверждается, являются средоточиями различных божеств и духовных качеств. Кроме того, мандалы также используются в медитации для привлечения высших духовных энергий и настройки практикующего на эти духовные силы. Мандалы предназначены для настройки

энергетических центров человека (т.е. чакр), поскольку для каждой из семи основных чакр существуют конкретные мандалы.

Форма пирамиды имеет богатую историю эффектов силы формы^{5,6,7}. Было открыто, что форма пирамиды собирает, интенсифицирует и фокусирует эфирную или космическую энергию вокруг пирамиды. Было отмечено много интересных эффектов, связанных с формой пирамиды, таких как способность мумифицировать мертвых животных, фрукты, овощи и цветы. Пирамида также использовалась для заточки бритвенных лезвий. Пирамида как устройство силы формы будет подробно рассмотрена в главе 4.

Другое устройство, оргонный аккумулятор⁸, изобретенный доктором Вильгельмом Райхом (Wilhelm Reich), использует специальные материалы для интенсификации эфирных энергий и делает их полезными в физических и биологических экспериментах и лечении.

Легко видеть, что существует нечто большее, чем кажется на первый взгляд, в отношении эффектов формы и того, что она делает в пространственно-временном континууме нашей Вселенной.

2.2 ДЖОН ЭРНСТ УОРРЕЛ КИЛИ (JOHN ERNST WORRELL KEELY)

Джон Кили, вероятно, был одной из величайших загадок науки 19 века. Многие его современники и после его смерти называли его самозванцем и Калиостро. За свою жизнь он продемонстрировал множество передовых технологий, которые не были воспроизведены сегодня и которые снискали Кили репутацию одного из величайших изобретателей того времени. Кили изобрел науку симпатической вибрационной физики. Его открытия только в области звуковых колебаний могли бы заполнить тома, если бы они были когда-либо обнародованы. Подробный отчет о Кили и его научных достижениях можно найти в моей первой книге⁹, далее следует краткий отчет.



Рисунок 2.2-1 Джон Кили с мотором Globe.

2.2.1 Краткая история Кили

Джон Эрнст Уоррел Кили родился в 1827 году и умер 3 сентября 1898 года. Родители Кили умерли во время эпидемии, когда он был маленьким мальчиком, и его воспитывал дедушка Эрнст. Эрнст был опытным музыкантом, композитором и дирижером симфонического оркестра. Эрнст рано заметил, что его внук Джон был музыкальным вундеркиндом, поэтому музыкальное обучение стало частью жизни Джона и легло в основу его открытий в области симпатической вибрационной физики. Музыкальная карьера не привлекала авантюрного Кили. Вместо этого он был впечатлен знаменитым заявлением Паганини, всемирно известного скрипача, о том, что, учитывая отзвук массы моста, Паганини может разрушить мост, сыграв эту ноту на скрипке.

Кили бросил школу, когда был подростком, и на несколько лет ушел в цирк; однако его музыкальное образование и интенсивный интерес к науке заставили Кили остепениться и жениться. Кили использовал свое образование плотника, чтобы зарабатывать на жизнь. Большая часть его доходов уходила на эксперименты со звуковыми колебаниями.

Примерно в 1866 году, подвергая воду различным звуковым колебаниям, в лаборатории Кили произошел взрыв, который разрушил аппарат. Это событие стало поворотным пунктом в его научных изысканиях, и в течение шести лет интенсивных экспериментов Кили работал над тем, чтобы повторить эффект преобразования воды в энергию с помощью звуковых колебаний. Он обнаружил, что при определенных условиях частота 42800 колебаний в секунду преобразует воду в чистую энергию. Не в пар, не в водород и кислород, а в гораздо более мощную энергию, которая, по мнению Кили, была светоносным эфиром, той самой энергией, из которой образовалась Вселенная.

В 1874 году сформировалась группа инвесторов вокруг Кили, создавшая Keely Motor Company, с явным намерением использовать эту новообретенную эфирную силу. Компания стала лишь обузой для Кили и не оказала никакой практической помощи в его исследованиях. Кили не был бизнесменом, и дела компании его не интересовали. В результате компания Keely Motor Company в конечном итоге была распущена, но только после того, как ее основатели использовали ее акции для всего, что они могли выжать из компании, оставив Кили держать пакет.

Во время эпизода с Keely Motor Company Кили поддерживали несколько близких друзей, которые понимали и верили в ценность его исследований. Позже Клара Джессап Блумфилд Мур (Clara Jessup Bloomfield Moore), богатая вдова, пришла на помощь Кили и поддерживала его исследования до конца его жизни. Миссис Мур написала единственную современную биографию о Кили и его открытиях².

2.2.2 Открытия Кили

Открытие Кили диссоциации или эфиризации воды с помощью ультразвуковой частоты 42800 было фантастическим открытием само по себе; однако Кили намеревался открыть всю физику, стоящую за этим явлением. Во время своей карьеры Кили использовал базовое открытие преобразования воды в чистую энергию для создания множества демонстраций, использующих эту силу для поднятия огромных тяжестей, управления силой гравитации, делая объекты легче или тяжелее, приводя в движение снаряды и многое другое.

Эффект эфиризации воды был усовершенствован Кили до такой степени, что он смог разрушить атомное ядро на 27 уровней или градаций все более и более тонких энергий. Это сродни современной физике, которая обнаружила множество субатомных частиц, которые являются строительными блоками ядерных частиц, таких как протоны, электроны и нейтроны. Кили утверждал, что с каждым из этих энергетических уровней внутри ядра связано бесчисленное множество явлений. Некоторые из них включают энергии, которые

регулируют как работает мозг и мышление, как создается гравитация и какие силы создают электричество и магнетизм.

Возможно, одной из самых поразительных демонстраций была способность Кили управлять силой гравитации. Он мог делать вещества либо более легкими до уровня левитации, либо сделать их тяжелее, чем их обычный вес. В рамках своего контроля над гравитационными силами Кили продемонстрировал рабочую модель нашей солнечной системы в комплекте с имитацией солнца и планет, которая была настроена на реальные силы, управляющие каждой планетой и солнцем. В этой модели даже симитированное солнце и планеты вращаются вокруг своей оси, а планеты вращаются вокруг симитированного солнца. Кили управлял этой действующей солнечной системой с помощью звуковой силы в сочетании с эфирным "паром", выделяющимся при распаде воды. Это было продемонстрировано майору Ричарду Северу (Richard Sever), английскому ученому, в лаборатории Кили во время мирового празднования столетия в конце 1890-х годов.

Кили показал, что все симпатические потоки энергии состоят из тройных токов колебательных потоков. Это относится к магнитным, электрическим, гравитационным потокам и потокам мозга/мышления. Эти законы управляют всей массой от самого внутреннего подразделения атома до галактик и самой Вселенной. Эти потоки излучаются от солнц и звезд к планетам и далее по шкале до самого ядра атомов. Поскольку эти потоки имеют колебательную природу и настроены на соответствующие сферы, Кили полагал, что это послужило основой для термина "музыка сфер", используемого в эзотерических писаниях.

2.2.3 Проверка открытий Кили

В настоящее время мало что было сделано для проверки общего тезиса Кили о физике симпатических колебаний; однако диссоциация воды с использованием звуковых колебаний была достигнута, хотя и в результате несчастного случая в лаборатории. Это было очень подробно объяснено в моей первой книге⁹.

Основной эксперимент включал воздействие на воду в кварцевой трубке ультразвуковыми частотами в качестве проверки методов звуковой фильтрации. Экспериментатор ничего не знал о работе Кили.

Джон Эрнст Уоррел Кили (1827-1898) был одним из первых в ряду ученых-исследователей за последние 100 лет, которые открыли механизм высвобождения большого количества энергии с помощью спускового механизма с низкой энергией. Открытия Кили основывались на расщеплении воды (а позже и других веществ) для создания того, что Кили назвал "эфирным паром", используя специфические, настроенные акустические силы. Это, очевидно, соответствует определению свободной энергии небольшой силы (в данном случае звука), высвобождающей огромное количество эфирной силы, источником энергии которой является материя. Это было сделано в воде с базовой частотой, которая, по утверждению Кили, составляла 42800 Гц (циклов в секунду). Вопрос, является ли эта частота точной, остается открытым для обсуждения, поскольку небольшая ошибка при измерении более низкой частоты приведет к большим ошибкам в высших гармониках, и кто знает, что Кили использовал в качестве стандарта частоты.

Кили генерировал эту ультразвуковую частоту, используя более низкие частоты в октавах слышимого звука. Ультразвуковые и более высокие частоты могут быть получены принимая во внимание тот факт, что любой вибрирующий объект также производит гармоники основного тона. Разумно комбинируя различные основные тона на более низких звуковых частотах, Кили мог увеличить количество энергии, закачиваемой в высшие гармоники, поскольку энергия гармоник будет складываться векторно.

2.2.3.1 Воспроизведение эфиризации воды

В 1965 году мой знакомый, химик-ядерщик, проводил эксперименты с ультразвуком. Установка показана на рисунке 2.2.3.1-1. Цель эксперимента состояла в том, чтобы создать стоячую волну в столбе воды и заставить взвеси твердых частиц в воде собираться в узловых точках. Начальная частота для эксперимента составляла 40000 Гц. Усилитель мощности выдавал примерно 600 Вт в специально изготовленный преобразователь титаната бария, установленный на дне 2-дюймовой кварцевой трубки. Когда система была запущена, вода нагревалась и начинала выкипать, снижая уровень водяного столба в трубке и изменяя условия стоячей волны. Чтобы компенсировать это, был установлен контур обратной связи, который регулировал частоту таким образом, чтобы поддерживать стоячую волну в столбе. Таким образом, частота медленно повышалась по мере снижения уровня воды.

На некоторой частоте, чуть выше 41 300 Гц, вода исчезла в трубке. Воду из трубки нигде не нашли, она полностью исчезла. В потолке прямо над трубкой было обнаружено чистое отверстие. Дальнейшее обследование показало, что отверстие также продолжалось через крышу одноэтажного здания. Вывод химика заключался в том, что вода была преобразована в чистую ядерную энергию. Он решил, что это определенно не то, чем он хотел заниматься, поскольку превращение воды в чистую энергию было сродни созданию ядерной бомбы, поэтому все усилия были брошены.

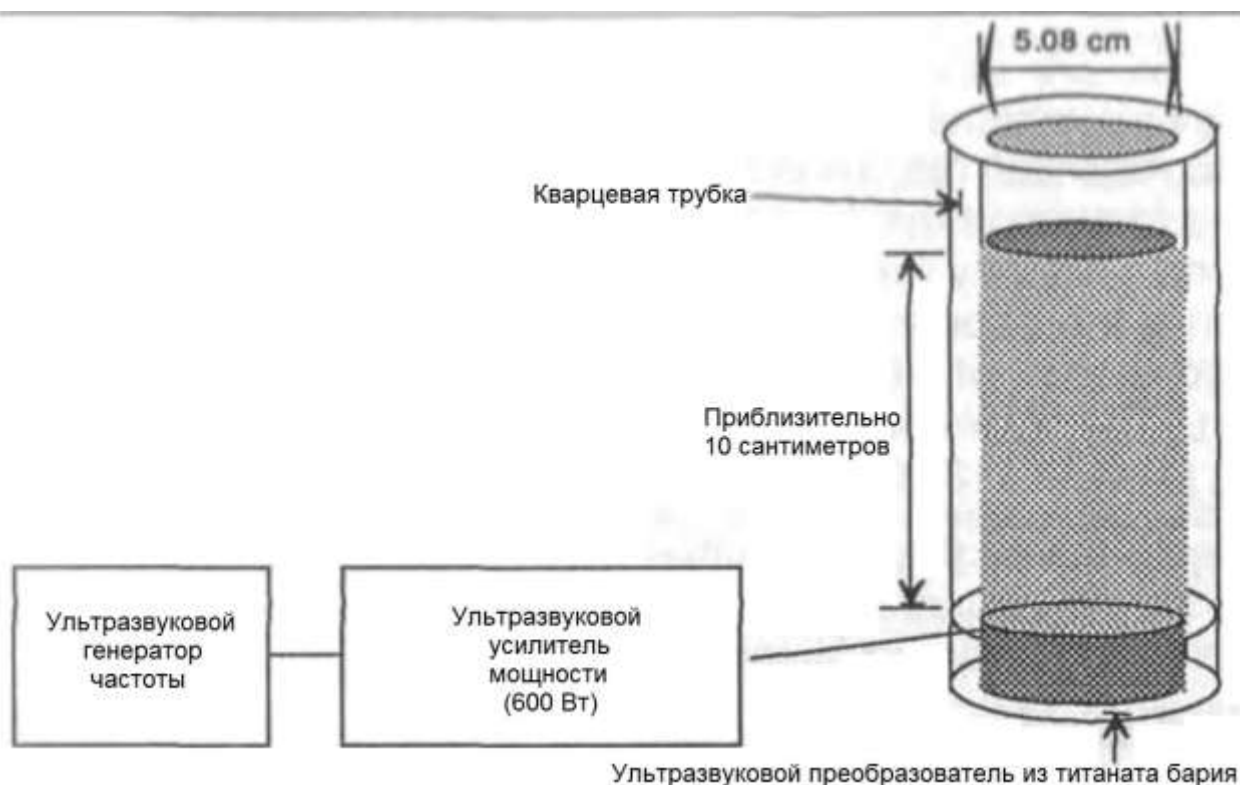


Рисунок 2.2.3.1-1 Современное воспроизведение эфиризации воды

2.2.3.2 Физика эфиризации

Анализ эксперимента приводит к некоторым интересным выводам. Используемый столб воды составлял в высоту ровно 3 длины волны¹⁰. Это основано на скорости звука в воде 56760 дюймов в секунду и, следовательно, длине волны 1,3 дюйма, если мы примем частоту диссоциации Кили. Таким образом, водяной столб в 10 сантиметров (3,84 дюйма), деленный на 1,3, дает 3 длины волны. В результате этого образуется стоячая волна, создаваемая в трубе. Поскольку число длин волн нечетное, отраженная волна в конечном

итоге аннулирует первичную волну. Это приводит к тому, что на молекулы воды накладывается напряженная волна, и эфирная энергия поступает в ядро. В результате создается вибрационное состояние, которое гасит энергию ядра настолько, что атомы растворяются обратно в первичном эфире.

Одна интересная анекдотичная история, связанная с этим экспериментом, произошла на конференции, где меня попросили рассказать о несчастном случае в эксперименте эфиризации воды. После моего выступления толпа заинтересованных участников из аудитории, поднявшихся на трибуну, задавала мне различные вопросы. Мое внимание привлек молодой исследователь из задней части толпы и сказал, что он повторил эксперимент с использованием пьезоэлектрика, как это сделал химик, получив аналогичные результаты и заявил, что эксперимент не требует так много энергии, сколько использовал химик. В последовавших вопросах из толпы я потерял след молодого исследователя и так и не смог узнать подробности его попытки повторения эксперимента.

2.2.3.3 Левитация 4-тонной железной сферы

После безвременной кончины Кили в 1898 году несколько исследователей из редакции журнала *Scientific American* отправились в лабораторию Кили в поисках доказательств, подтверждающих идею о том, что Кили была мошенником. Они думали, что нашли то, что искали, когда вскрыли половицы в одной из секций лаборатории и обнаружили большую чугунную сферу, из которой торчали куски железных труб, но трубы ни к чему не были подсоединены. Вес сферы оценивался в 6625 фунтов и имела прочность на разрыв 28000 фунтов.

Это событие возродило обвинение в том, что Кили использовал сжатый воздух для совершения своих чудесных трюков; которое, если бы это было правдой, принесло бы Кили целое состояние благодаря изобретениям в области сжатого воздуха.

Мой друг обнаружил газетную статью, написанную еще при жизни Кили, в которой рассказывается о том, как железная сфера попала под половицы. Похоже, что журналист, написавший статью, отправился к Кили за возможной информацией, достойной освещения в печати. Он нашел изобретателя в своей лаборатории, проделывающего большую дыру в полу. Кили поздоровался с репортером, но, похоже, не был настроен на разговор, так как он выглядел очень занятым. Увеличив отверстие, Кили прикрепил к своей талии странный пояс с несколькими встроенными в него механизмами. Затем он прикрепил тонкий провод, идущий от пояса, к большой сфере, лежащей в углу лаборатории.

После нескольких минут интенсивной концентрации Кили, тяжеловесный шар медленно приподнялся на несколько дюймов над полом. Затем железная сфера "проплыла" над отверстием в половицах и Кили позволил огромной массе опуститься на землю ниже уровня пола. После нескольких регулировок ременного механизма Кили снова, казалось, погрузился в глубокую концентрацию. На этот раз шар медленно, но неумолимо погружался в землю, погребенный противоположностью левитации, а именно супергравитацией. Кили, очевидно, заставил видимую массу сферы увеличиться до такой степени, что она погрузилась в твердую землю подобно тому, как тяжелый камень погружается в грязь. Изобретатель сказал репортеру, что освобождает место в своей лаборатории, убирая устаревшее оборудование. Именно эту сферу позже обнаружила разоблачительная группа *Scientific American*.

Предполагается, что поясной механизм, который Кили носил во время левитации, настроил атомную структуру железной сферы так, что все атомы были синхронизированы, и эфирная сила, направленная через сферу, вызывала её левитацию или гравитацию.

2.2.4 Краткое изложение исследований Кили

Изучение трудов Кили и попытка найти в них смысл - мучительный процесс. Кили изобрел свой собственный словарь, и мне потребовалось много лет, чтобы хоть в малой степени понять, чего он достиг. Используя звуковые колебания, Кили буквально раскрыл тайны гравитации, электричества, магнетизма, субатомной физики, физики мозга и мышления и т.д. Вероятно, мы никогда не узнаем всего, что сделал Кили. Мы можем только надеяться, что более современные исследователи, которые заново откроют эти секреты, поделятся ими с миром для нашего просвещения.

2.3 ОРГОННАЯ ЭНЕРГИЯ

Органная энергия была открыта доктором Вильгельмом Райхом (Wilhelm Reich). Это открытие было в действительности еще одним аспектом универсального эфира плюс изобретение Райхом механизмов, позволяющих усиливать и делать доступными энергии для различных применений. Его фундаментальные открытия основаны на том, как интенсивные проявления эфира взаимодействуют с различными типами материи и с живыми организмами, животными и человеком.

2.3.1 Краткая история Вильгельма Райха

Вильгельм Райх родился 24 марта 1897 года в Австрии. Его среднее образование было немецким, а обучение в колледже проходило в Венском университете с 1918 по 1922 год, где он закончил 6-летний медицинский факультет всего за 4 года. Его аспирантская работа была посвящена нейропсихиатрии и внутренним болезням. Райх был одним из лучших учеников Зигмунда Фрейда и в течение 6 лет работал первым клиническим ассистентом в психоаналитической поликлинике Фрейда с 1924 по 1930 год. С 1930 по 1933 год Райх основал различные центры психической гигиены в Австрии и Германии. Райх уехал из Австрии и Германии в Норвегию, спасаясь от преследований нацистов.

Райх открыл оргонную энергию, когда искал энергию, которая была частью невротического поведения. Его прорывные исследования в области оргонной физики были начаты в Осло, Норвегия, в психологическом институте университета Осло. В 1939 году Райх перевез свою норвежскую лабораторию в Форест-Хиллз (Forest Hills), штат Нью-Йорк, где в конце концов получил гражданство Соединенных Штатов. Райх был адъюнкт-профессором медицинской психологии в Нью-Йорке и в своей новой школе социальных исследований, где он читал лекции о своих открытиях в области оргонной энергии. В 1942 году Райх основал свой исследовательский центр, оргонный институт, в Рейнджли (Rangely), штат Мэн (Maine). Он назвал свою новую науку Оргономикой.

Открытия Райха привели к тому, что он стал испытывать оргонные аккумуляторы на людях в надежде, что это облегчит их болезни. Он добился некоторого успеха в лечении рака, а также обнаружил, что оргон является хорошим общим лечебным дополнением. За это Управление по контролю за продуктами и лекарствами США (FDA) преследовало Райха. Они посадили его в тюрьму, наложили на него судебные запреты за использование фиктивных (т. е. неортодоксальных) медицинских методов лечения, сожгли книги Райха по всей стране и, наконец, уничтожили Райха. FDA утверждало, что оргона просто не существует, несмотря на гору доказательств, которые Райх накопил, чтобы доказать существование оргона.

В конце концов доктор Вильгельм Райх умер от давления, оказанного на него безжалостным FDA, вскоре после того, как его выпустили из тюрьмы по сфабрикованным обвинениям в медицинской халатности.

2.3.2 Введение в оргонную энергию

Сначала Райх думал, что оргонная энергия имеет электрическую природу; однако дальнейшие исследования и эксперименты показали, что эта энергия была совершенно нового типа. Из-за ассоциации этой новой энергии с оргазмом Райх ввел термин "оргон" и считал его основой самой жизни. Райх продемонстрировал, что атмосфера содержит оргон, и он доказал, что оргон - это доатомная энергия, из которой состоит наша Вселенная.

Одним из наиболее заметных достижений Райха было устройство свободной энергии, основанное на том факте, что высокие концентрации оргона возбуждали ионную эмиссию в вакуумных трубках.

В таблице 2.3.2-1 обобщены некоторые очень интересные факты об оргонной энергии. Для тех, кто знаком с исследованиями энергии пирамид и других эфирных аккумуляторов, очевидно, что оргон является еще одним проявлением или модификацией универсального эфира.

2.3.3 Оракку (оргассу)

Органый аккумулятор, или оракку, как его называли, - это изобретение Райха, которое накапливает и усиливает оргонную энергию. Эксперименты показали, что оргон способен проникать во все, что угодно, однако скорость проникновения различна для разных материалов. Райх обнаружил, что органические материалы, такие как хлопок, шерсть, дерево и шелк, легко пропускают оргонную энергию. С другой стороны, металлы, такие как железо и алюминий, сначала поглощают оргон, а затем отталкивают его. В каждой категории (т.е. органической и металлической) существуют различные степени проводимости и поглощения. Материалы этих двух эффектов составляют основу оракку или органного аккумулятора.

Характеристика оргона	Описание
Органическое вещество притягивает оргон	Натуральные материалы, такие как дерево, хлопок, шерсть и др., легко поглощают и проводят оргон.
Металлы отталкивают оргон	Металлы, такие как золото, железо, олово и т.д., сначала поглощают оргон, а затем отталкивают его.
Притягивается к воде	Оргон очень сильно притягивается к воде, и вода с готовностью поглощает оргон.
Органые потоки	Наложение натурального материала, например, хлопка, затем металла, позволит установить направленный поток оргона от хлопка через металл. Оргон течет от слабого потенциала к более сильному, противоположно электричеству.
Оргон светится	Оргон можно увидеть визуально. Когда человек становится насыщенным оргоном, он обычно может видеть оргон вокруг тела в затемненной комнате.
Нейтрализует радиоактивность	Когда радиоактивный материал помещается в органый аккумулятор, материал становится безвредным (т.е. нерадиоактивным) в течение определенного периода времени.

Обнаруживается с помощью электроскопа	Это показало ионный аспект оргона, поскольку он стимулирует лепестки электроскопа.
Воздействует на счетчик Гейгера	Это связано со способностью оргона нейтрализовать радиоактивность, стимулируя радиоактивные материалы к более высокой скорости распада, в результате чего материал очень быстро становится безвредным.
Может влиять на температуру	Райх утверждал, что многослойный оргонный аккумулятор будет иметь более высокую температуру, чем температура окружающего воздуха. Мои эксперименты доказать это не увенчались успехом.

Орачку состоит из простого контейнера, похожего на коробку с 6 сторонами любого размера, стенки которой выполнены из чередующихся слоев органического материала и металла, причем внешний слой - органический, а последний внутренний слой - металлический. Чаще всего использовался листовая металл. Некоторые металлы, такие как алюминий, Райх считал вредными. Более мощные орачку имели много слоев органических и металлических материалов. Использовались и другие формы, кроме коробки, например, трубки, но все они использовали натуральные органические и металлические слои.

Наслоение органического и металлического материала создавало направление потока оргона. Оргон притягивался к органике, поглощался ею; затем поглощался металлом, а затем отталкивался металлом. Эти два процесса, протекающие непрерывно, втягивали оргон в органическую сторону и выводили из металлической. Таким образом, мы можем видеть, что при такой геометрии материалов оргон течет от более слабых потенциалов к более высоким потенциалам. Это противоположно электрической энергии, которая течет от более высоких потенциалов к более низким. Райхианцы делают большую проблему из этого, считая это отличительной характеристикой, благодаря которой оргон будет течь от более низких потенциалов к более высоким. Однако они игнорируют тот факт, что это условие возникает только в орачку с его особой формой и конструкцией материала или, когда рядом находятся материалы с различным поглощением оргона.

Условия окружающей среды также влияют на орачку. Лучше всего он работает в сухих засушливых помещениях или климате. Влага, будучи очень привлекательной для оргона, ослабляет (образно говоря) способность орачку функционировать с максимальной эффективностью.

Комбинированный слой органики и металла образовал одну "складку" орачку, как назвал ее Райх. Чем больше слоев, тем мощнее будет орачку; большое количество слоев создает интенсивную концентрацию оргона. Из-за этого Райх предупреждал, что с орачку, имеющими более трех складок должен работать только квалифицированный врач-практик.

2.3.4 Конструктивные биологические эффекты оргонной энергии

Райх и его соратники, а также многие последователи и экспериментаторы идей Райха свели в таблицу множество биологических эффектов оргонной энергии. Сидя в орачку в течение часа или около того в день, человек постепенно насыщается оргоном и может начать видеть и чувствовать его воздействие. Люди описывают ощущение колкого свечения, когда находятся в орачку. Тепло и расслабление являются обычными эффектами. Находясь в орачку и в полной темноте, чувствительный человек может видеть световую активность оргона. Некоторые экспериментировали и обнаружили, что оргон управляет мыслями и чувствами.

Люди утверждали, что ораку поддерживает здоровье и жизненные силы человека в большей степени, чем в противном случае. Утверждается, что простудные заболевания или другие болезни значительно уменьшаются. Райх утверждал, что ораку избавляет от рака и других серьезных заболеваний. Экспериментаторы и медицинский персонал с большим успехом использовали ораку, который позволял вводить оргон пациентам для лечения ран, порезов, ссадин, обморожений и ожогов.

Ораку также успешно использовался на домашних животных. Кроме того, ораку хорошо работает в качестве инкубатора для проращивания рассады.

2.3.5 Сила формы и оргонная энергия

Эффекты от ораку в качестве устройства для получения энергии из специальных материалов хорошо документированы. Наслоение материалов, которые поглощают и проводят оргонную или эфирную энергию, чрезвычайно хорошо задокументировано. Но что, если мы объединим эффекты силы формы специальных форм для управления и направления эфира с материальными эффектами ораку. Металлическая пирамида гораздо более мощна в качестве устройства силы формы, чем пирамида, изготовленная из диэлектрического непроводящего материала.

2.3.6 Опасная оргонная (DOR) энергия

Райх придумал аббревиатуру DOR для описания отрицательных энергий, создаваемых при помещении в ораку радиоактивных материалов (например, часов с радиевым циферблатом), вредных химических веществ, таких как инсектициды, телевизоров и рентгеновского оборудования. Энергия, получаемая при размещении таких устройств в ораку, должна была генерировать энергию, настолько разрушительную для людей и животных, насколько ораку была конструктивной при использовании в среде, свободной от этих устройств.

Райх и другие утверждали, что DOR образовал в небе облака грязных темных пятен. DOR губителен для растений, животных и человека. Природе требуется много дней или месяцев, в зависимости от концентрации, чтобы рассеять DOR и омолодить местность.

2.3.7 Краткое изложение оргонной энергии

Основная тема заключается в том, что оргонная энергия - это конденсированная форма эфирной энергии. Оргонная коробка с её слоями природных диэлектрических и проводящих материалов собирает и усиливает оргонную энергию, чтобы ее можно было использовать.

Оргонная энергия стимулирует радиоактивные материалы к увеличению периода их полураспада и, следовательно, формирует возможный механизм избавления от радиоактивных отходов. Поскольку оргонная коробка может стимулировать радиоактивный распад, это может стать путем к очень простому методу генерации энергии с использованием силы формы за счет использования ионных продуктов распада. Большой проблемой во всем этом является тот факт, что создается опасный оргон (DOR), который может быть более вредным, чем сама радиоактивность.

Концентрированная оргонная энергия имеет потенциальное применение в медицинских науках для создания лучших, более естественных, неинвазивных форм лечения и терапии.

2.4 ФИЗИКА ИМПЛОЗИИ

Австрийский инженер-строитель Виктор Шаубергер (Viktor Schaubberger) является важным звеном в физике силы формы. Шаубергер сделал свои открытия в начале 20-го века.

Шаубергер заинтересовался эффектами эрозии во время своей работы в качестве инженера-строителя. Он заметил, что многие реки и ручьи, изобилующие в прекрасных австрийских Альпах, практически не подвержены эрозии, в то время как искусственные водные пути нуждаются в постоянном ремонте из-за сильного эрозионного воздействия. Будучи внимательным наблюдателем природы, он пришел к выводу, что извилистость естественных водных путей каким-то образом достигла такого состояния равновесия, что силы воды наносят наименьший ущерб земле, по которой она течет. Из этого простого наблюдения и того интересного факта, что форель может оставаться неподвижной в быстро движущемся потоке, Шаубергер пришел к выводу, что в природе существует естественная сила, которая следует естественными путями. Он посвятил большую часть своей жизни, открытию законов, управляющих этой природной энергией. Вероятно, мы никогда не узнаем в полной мере, до какой степени Шаубергер развил понимание физики имплозии, поскольку большинство деталей его открытий были утеряны.

2.4.1 Краткая история Виктора Шаубергера

Виктор Шаубергер^{11,9} родился 30 июня 1885 года в Хольцшлагге (Holzschlag), Вена Австрия, как хранитель земли. Он родился в семье "лесничих" или надзирателей лесов, в обязанности которых входил надзор за участком гор и лесов в Австрии. Их девизом было "*Fidus in Silvis Silentibus*" ("верный безмолвным лесам").

С детства Виктор был в лесу как дома. Он внимательно наблюдал за природой, животными, землей, деревьями и водами. Вода стала его страстью на всю жизнь, и он с ранних лет решил открыть законы и тайны воды. Шаубергер рассматривал воду как живую субстанцию, наполненную жизнью и жизненными энергиями.

Когда Виктор достиг совершеннолетия, он, естественно, поступил на государственную службу, работая лесничим у местного князя, крупного землевладельца. Ближе к концу Первой мировой войны он получил должность ответственного за большую область дикой местности. Князь, нуждаясь в деньгах, заключил контракт с лесозаготовительными компаниями на вырубку леса в дикой местности. Буквальный затор образовался, когда лесозаготовительные компании не смогли вывезти бревна с гор из-за недостаточного количества воды для доставки бревен на лесопилку. Виктор разработал специальные желоба на основе естественных водных путей (т.е. спиральных и извилистых путей), которые требовали минимального количества воды для доставки бревен на лесопилку. Это позволило вести лесозаготовки в районах, ранее недоступных для лесозаготовителей.

Опустошение лесов в результате чрезмерных вырубок и сопутствующие последствия экологического разрушения заставили Виктора уйти в отставку с отвращением к алчным, недалеким коммерческим интересам.

Шаубергер занялся частными исследованиями. Его первой разработкой была машина, которая обеспечивала бы хорошую питьевую воду, наполненную природной жизненной энергией. Это был контейнер в форме яйца, в нижней части которого находилась небольшая крыльчатка. Крыльчатка вращалась с высокой скоростью и заставляла воду формировать естественный паттерн вихря (т.е. трехмерную спираль). Виктор обнаружил, что когда вода или любая другая жидкость или газ закручиваются в вихре, они приобретают энергетический заряд.

Лабораторные эксперименты, проведенные мной и другими, показали, что вода, закрученная в вихре, приобретает электростатический заряд. Напряжение до 10000 вольт

было измерено в центре воды, которая была закручена в течение нескольких минут. Точно так же в торнадо генерируются огромные электростатические силы, достигающие многих миллионов вольт.

Одним из открытий Шаубергера, связанных с разработкой им специальных бревенчатых желобов, было создание естественных водоводов, которые предохраняли бы гавани и реки от скопления ила. Виктор обнаружил, что правильным конструированием водных каналов инженер может либо наращивать дно реки, либо углублять его и сохранять свободным от ила.

К 1930 году Шаубергер разработал антигравитационные машины, которые могли летать намного выше и быстрее, чем любое известное воздушное судно того времени, и разработал устройства свободной энергии, которые достигали значительно большей выходной мощности по сравнению с входной мощностью. Гравитационные машины напоминали летающие тарелки или неопознанные летающие объекты (UFO), замеченные и задокументированные тысячами наблюдателей за последние 60 лет. Пара таких судов показана на рисунке 2.4.1-1.

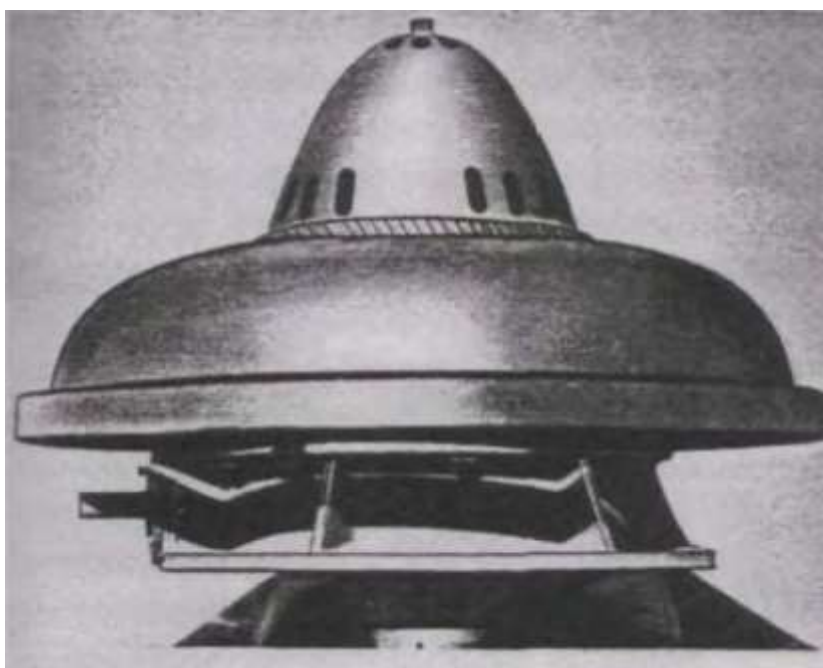


Рисунок 2.4.1-1 Два летательных аппарата, построенных Шаубергером для нацистов во время Второй мировой войны.

В 1934 году Виктора "попросил" встретиться с Гитлером¹³. Гитлер предложил Шаубергеру работу в качестве ученого, разрабатывающего самолеты на основе антигравитационных открытий. Когда Шаубергер отказался, Гитлер отправил семью Виктора в лагерь для заключенных, это вынудило Виктора работать над своими изобретениями для Гитлера. Виктор работал для третьего рейха над антигравитационными аппаратами с 1938 по 1945 год, до конца Второй мировой войны.

Когда союзные войска захватили Германию, армейская разведка обнаружила исследования Шаубергера, включая несколько незаконченных дисковых аппаратов. Это принесло Шаубергеру новую опасность в виде "корыстных интересов", которые не хотели, чтобы технология свободной энергии была опубликована для общественного использования.

Агенты группы заинтересованных лиц связались с Шаубергером и заключили с ним контракт на строительство одной из турбин свободной энергии, зоквендль (Zokwendle). Зоквендль был разработан для обеспечения 50000 Вт холодной диамагнитной мощности и 50000 Вт обычного электричества. Зоквендль был отправлен в Нью-Йорк, и американские ученые не могли понять эту машину и не могли заставить ее работать, так как они пытались заставить ее работать на основе современной физики, вместо того, чтобы следовать указаниям Виктора в ее работе. Зоквендль показан на рисунке 2.4.1-2.

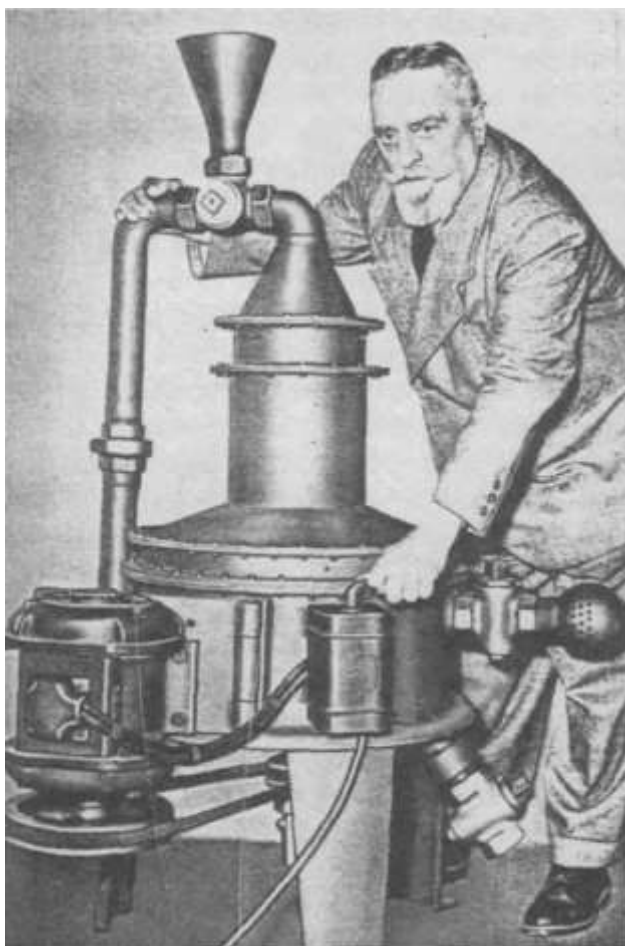


Рисунок 2.4.1 -2 Шаубергер рядом со своим зоквендлем

В результате Виктора привезли в Соединенные Штаты, чтобы заставить устройство работать; однако он обнаружил, что группа не собиралась позволять ему выпускать свободную энергию в мир, поэтому Виктор отказался помогать. Шаубергеру пригрозили тюрьмой и вынудили передать полное право собственности на его зоквендль корыстным интересам. Он вернулся в Германию сломленным человеком и умер несколько месяцев спустя.

2.5 Краткое изложение физики имплозии

Виктор Шаубергер открыл универсальную энергию, которая была противоположна обычному электричеству, она существовала повсюду и была основой жизни и вещества. По сути, Виктор заново переоткрыл эфир как диамагнетизм, так же, как Райх открыл эфир как оргонную энергию. Диамагнетизм проводился непроводниками; по этой причине он и назвал его диамагнетизмом в честь научного термина, обозначающего непроводник (т.е. диамагнетик).

Шаубергер также обнаружил, что диамагнетизм, или эфир, будет следовать спиральными и вихревыми путями и что эти типы путей будут действовать как концентраторы диамагнетизма. Заставляя флюиды двигаться в специальных вихревых направляющих, он мог бы заставить жидкость заряжаться диамагнетизмом, который, в свою очередь, заставлял атомы флюидов накапливать электростатический заряд.

Было также установлено, что гравитация связана с диамагнетизмом. При движении эфира в вихревом паттерне, материя внутри вихря теряла вес и левитировала. Этот эффект лег в основу его дисковых летательных машин. Шаубергер экспериментировал с различными гидродинамическими флюидами, такими как вода, воздух и песок, в качестве основы для материала, который он пропускал через свои левитационные двигатели.

Было также обнаружено, что полезные для жизни эффекты связаны с диамагнетизмом. Виктор обнаружил, что когда продукты питания и напитки заряжены диамагнетизмом, они улучшают здоровье человека.

2.6. Список литературы

1. Keely and His Discoveries. Clara Bloomfield Moore, London, Kegan Paul, Trench, Trubner & CO, Ltd., 1893.
2. A Dweller on Two Planets. Phyllos, Borden Publishing Company, Los Angeles, 1952.
3. Feng Shui the Science of Sacred Landscape in Old China. Ernest J. Eitel, Synergetic Press, Tucson, Arizona, 1984.
4. Interior Design With Feng Shui. Sarah Rossbach, E.P. Dutton a division of NAL Penguin Inc, 2 Park Avenue, New York, N.Y. 10016.
5. Great Pyramid Proof Of God. George R. Riffert, Destiny Publishers, Merrimac, Mass., 1932.
6. Pyramid Power. Max Toth and Greg Nielson, Freeway Press, 1974.
7. The Guide To Pyramid Energy. Bill Kerrel and Kathy Gorggin, Pyramid Power V, Inc, 1975.
8. New Light On Therapeutic Energies. Mark L. Gallert, James Clarke & Co. Ltd, 31 Queen Anne's Gate, London, S.W. 1, 1966.
9. Energy: Breakthroughs To New Free Energy Devices. Dan A. Davidson, RIVAS, P.O. Box 1090, Sierra Vista, Arizona 85636, 1977.
10. T-Field Energy Research. Dan A. Davidson, RIVAS, P.O. Box 1090, Sierra Vista, Arizona 85636, 1990.
11. Center Of The Vortex. Willian F. Hamilton, Telos Publishing Co., P.O. Box 1745, Sun Valley, CA., 91352, 1979, 1986.
12. "Investigations at the Keely Laboratory", Scientific American, February 4, 1899, 72-73,
13. Weltreich Spirale. Leopold Brandstatter, Linz/Donan, Austria, Morikeweg 3 Branstadart, 1961, 1962.

ГЛАВА 3

ЭНЕРГИИ ЗЕМЛИ

3.1. Энергии Земли

Новое понимание земных энергий появилось в 1920-х годах, когда немецкие лозоходцы обнаружили, что в некоторых домах люди болеют раком чаще, чем их соседи. Физический анализ и анализ лозоходцев обнаружили подземные жилы воды, пересекающиеся под домами раковых больных, а не под домами их соседей. Подземные водные пути, пересекающиеся один над другим, генерируют вихревую энергию в эфирном поле, которая, по-видимому, влияет на здоровье людей. Исследователи даже обнаружили, что деревья, растущие над одной из этих спиральных энергетических точек, будут подвержены влиянию вихревой энергии и будут расти по закрученной схеме.

Примерно в то же время Альфред Уоткинс (Alfred Watkins) из Херефордшира (Herefordshire), Англия, сделал интересное открытие, что многие древние святыни выстроены по прямым линиям. Он называл их "леи" ("leys") или лей-линии. Он предположил, что древние люди, начиная с неолита и до христианской эры, располагали свои святыне места на этих лей-линиях. Биолокация показала, что эти лей-линии являются частью энергетической системы Земли.

3.2 Лей-линии

Лей-линии - это еще одно проявление эфирной энергии. Лей-линии берут начало над поверхностью Земли; пронизывают и выходят из Земли вертикально в узловых точках или "центрах силы", как их называют лозоходцы. Лей-линии представляют собой потоки эфирной энергии над поверхностью Земли и являются каналами для питания Земли эфирной энергией.

Длина лей-линий варьируются от нескольких футов до многих тысяч миль¹. Леи, которые выходят из земли, называются "ян" ("yang") или положительными по полярности и действуют на человека, стимулируя его. И наоборот, леи, которые входят в землю, являются "инь" ("yin") или отрицательными по полярности и утомляют человека.

Было обнаружено, что большинство (т.е. около 70%) энергетических точек ян лей-линий имеют связанные с ними источники воды. Экспериментальные данные показывают, что вода притягивается эфирной энергией, поэтому естественно, что лей-линии часто ассоциируются с водой.

Реки, горы и другие природные и искусственные структуры влияют на лей-линии и вызывают усиление или ослабление интенсивности энергетического потока. Таким образом, мы можем видеть, что если лей-линии находятся под влиянием природных и искусственных структур, то леи могут быть контролируемыми и управляемыми энергией.

Те, кто обладает внутренним зрением, иногда могут видеть лей-линии при особых условиях. Лозоходцы (т.е. биооператоры) легко обнаруживают их с помощью инструментов для лозоходства, таких как лоза, измерители ауры и т.д.

3.3 Энергетические сетки

По мнению лозоходцев, существует несколько типов сеток, которые различаются по размеру и расстоянию над землей. Это энергетические сети восток-запад/север-юг, которые образуют естественную энергетическую систему, охватывающую всю Землю.

Сетка Карри (Curry) и сетка Хартмана (Hartmann) являются двумя наиболее известными сетками Земли. Недавние исследования Брюса Кэти (Bruce Cathie),

новозеландца, также обнаружили энергетическую сетку, которая, по-видимому, связана с НЛО.

Доктор Манфред Карри (Manfred Curry)¹ открыл сетку, названную в его честь. Сетка Карри, изображенная на рис. 3.3-1, очень регулярная, стабильная и покрывает всю землю. Её линии проходят примерно в направлении северо-восток-юго-запад/северо-запад-юго-восток и, таким образом, проходят по диагонали к направлениям широты и долготы. Считается, что сетка Карри имеет земное происхождение. Она имеет чередующиеся узлы зарядки и разрядки. Линии находятся на расстоянии 10-12 футов друг от друга в северном и южном полушариях и на расстоянии 12-15 футов друг от друга по мере приближения к экватору.



Рисунок 3.3-1 Земная сетка Карри

Другой хорошо известной сеткой является сетка Хартмана (Hartmann)¹, показанная на рис. 3.3-2, которая проходит север-юг/восток-запад. Считается, что она имеет космическое происхождение и не так стабильна, как сетка Карри. По мнению лозоходцев, сетка Хартмана меняет фазу четыре раза в день: на восходе, в полдень, на закате и в полночь. Во время этих фазовых изменений сетка исчезает. По-видимому, на это влияет космическая или астрофизическая активность, такая как фазы Луны, активность солнечных пятен и погодные условия.

Линии сетки восток-запад пересекают линии сетки север-юг и образуют вихри. В зависимости от местоположения и размера линии сетки вихрь может быть либо восходящим, либо нисходящим потоком эфирной энергии. Лозоходцы считают, что эти вихревые точки сеток могут быть либо вредными, либо полезными для здоровья человека. Сетка Кэти (Cathie) предположительно похожа на сетку Хартмана, но сетка Кэти состоит из прямоугольников площадью 45 морских миль. Кэти считает, что расстояние между сетками связано с гравитацией, скоростью света, массой Земли и другими естественными земными константами. Исследования Брюса Кэти указывают на НЛО, путешествующие по этой сетке.

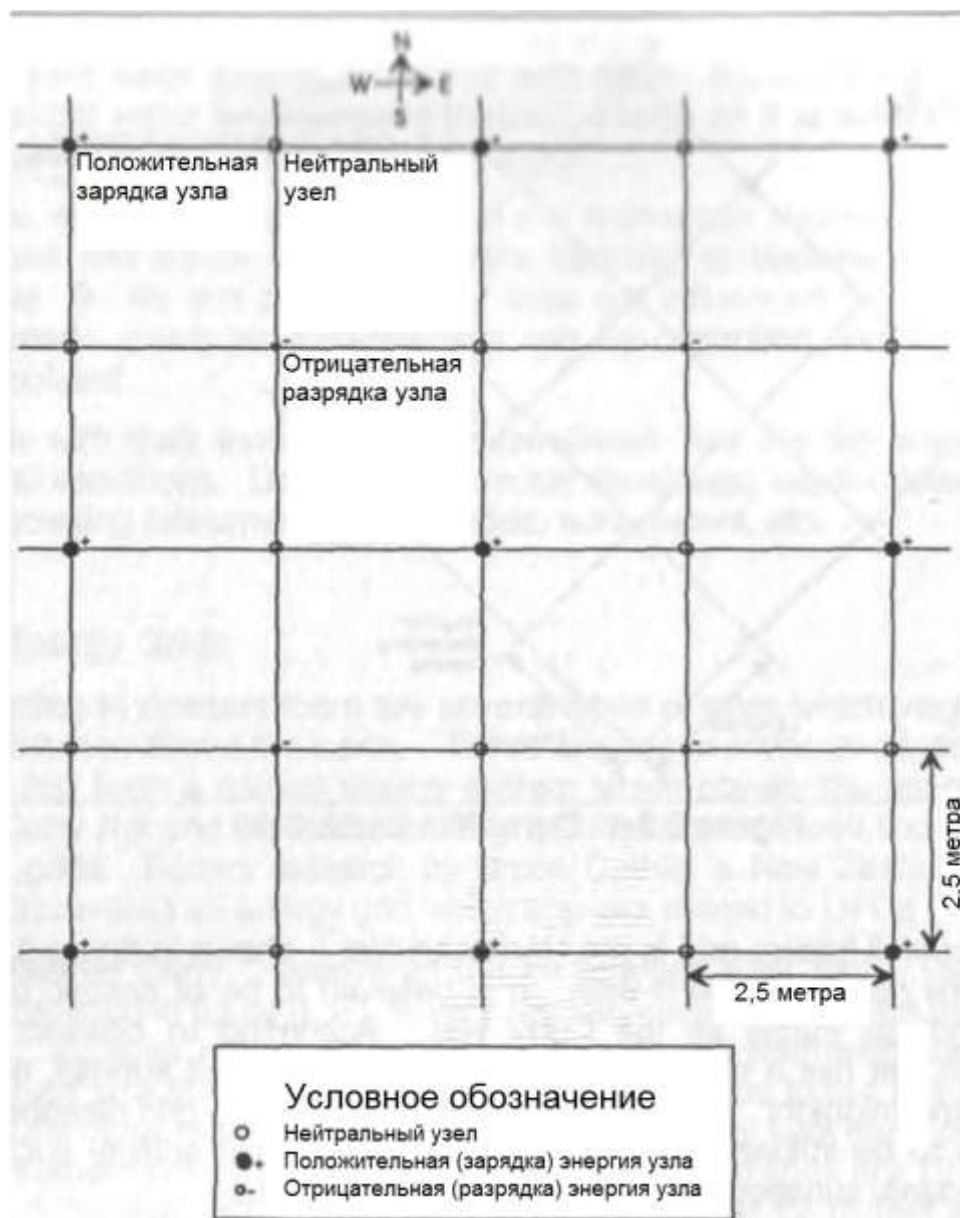


Рисунок 3.3-2 Земная сетка Хартмана

3.4 Древняя сила формы, использующая энергии Земли

Некоторые индейские племена на юго-западе Соединенных Штатов использовали силу формы в сочетании с энергией земли, чтобы собирать и фокусировать энергию земли в своих жилищах и вокруг них, а также в своих церемониальных зданиях, называемых кивами. Кивы (Kivas) действуют как магнитный центр, притягивающий энергию из окружающей области и перенаправляющий ее в верхний центр кивы.

Еще один древний образец силы формы - лабиринт. Лабиринт - это двухмерные дебри с одним путем. Существуют левосторонние и правосторонние лабиринты. Направление лабиринта определяет тип энергии, которую он фокусирует. Эзотерическая функция лабиринта заключается в том, чтобы провести человека через паттерн силы формы и настроить его на энергии, связанные с этим паттерном. Другая его очевидная функция - направлять энергию Земли. Большинство лабиринтов создают энергетические вихри по часовой стрелке и против часовой стрелки с тонкими различиями и эффектами.

Эти магические лабиринты с одним путем встречаются во многих местах, таких как Китай, Соединенные Штаты, Перу, Англия. Готический собор в Шартре имеет лабиринт, инкрустированный в пол нефа.

3.5 Опыт использования энергии Земли

Летом 1995 года я решил, что мне нужно больше узнать о том, как лично манипулировать эфирной энергией. Несколько дней спустя, в очень ярком духовном переживании, я оказался на открытой местности с тремя Существами. Это было красивое место, зеленая трава, несколько красивых деревьев, и спокойное, но с ощущением огромных энергий.

У Существ были очень интенсивные энергетические поля или ауры, которые я мог как видеть, так и чувствовать. Их ауры излучали огромную силу, мощь и контроль. Существа были Мастерами или Адептами эфирной энергии, которые изначально полностью овладели собой. Ответственный Мастер показал мне движение энергии, чтобы создать мое собственное энергетическое поле, как у них.

У меня было еще три таких опыта с момента первого в 1995 году, так что в общей сложности существует четыре движения, каждое из которых предназначено для определенной цели, но все они относятся к общей категории личного контроля и использования различных аспектов универсальной энергии. (Эти движения подробно описаны в Приложении А.)

Во время первого опыта руководитель группы сообщил мне, что вблизи земли существует интенсивное энергетическое поле. Я мог ощущать/чувствовать эту энергию над поверхностью земли во время опыта, и с тех пор доказал, что я также могу ощущать ее уровень в бодрствующем состоянии. Это энергетическое поле зеленого цвета, высотой 6-18 дюймов, и течет волнами с юга на север. Волны обладают огромным количеством энергии.

3.5.1 Первоначальные тесты с ясновидящими

В августе 1995 года я провел тесты с ясновидящими и ясночувствующими (сенситивами), чтобы получить больше информации, подтверждающей мой опыт; а именно, существует ли какой-то тип энергетического поля вблизи земли и каковы его характеристики? Эти первые тесты были проведены без сообщения сенситивам о моем опыте или об энергетическом поле. Их попросили исследовать более высокие/тонкие уровни энергии вблизи поверхности Земли и определить, что они могут чувствовать/видеть.

Результаты тестов с сенситивами следующие:

- На поверхности земли существует энергетическое поле яблочно-зеленого цвета, с волнами, проходящими через это энергетическое поле. Цвет энергии был близок к цвету яблока сорта Грэнни Смит. Ясновидящие говорили, что зеленую энергию трудно разглядеть при ярком свете, но легко почувствовать.

- Энергия варьируется на высоте от 6 до 36 дюймов над поверхностью земли.

- Волны движутся с юга на север.

- Гребни волн находятся на расстоянии 15-18 дюймов друг от друга, а пик волн составлял около 4-5 дюймов по амплитуде. Волны проходят небольшое расстояние в 3 или 4 фута, а затем распадаются на серию более коротких (т.е. более высокочастотных) волн с той же амплитудой. В потоке между большими и меньшими волнами могут быть разрывы, но это не было проверено.

- Визуальное обнаружение было наиболее легким рано утром на рассвете или незадолго перед закатом вечером.

- Ясночувствующие не испытывали никаких трудностей с ощущением уровня энергии.

- В волнах содержится огромное количество энергии, и энергия реально движется, как движется энергия в океанской волне.

- Погодные условия, такие как ветер, не влияют на поток зеленой энергии.

- Зеленое энергетическое поле - это не то же самое, что земные сетки.

После тестов с сенситивами на ощущение зеленого энергетического поля, я сообщил им о движении зачерпывания, которое мне показали. Визуальные (т.е. ясновидящие) тесты после демонстрации движения зачерпывания показали, что моя аура перешла от нормального энергетического уровня к яркому белому свету, излучаемому через все мое аурическое поле и образующему овал белого света вокруг меня толщиной около 4 футов вокруг моего физического тела.

Во всех моих исследованиях я никогда не сталкивался с каким-либо описанием текущего поля зеленой энергии у поверхности земли. Зеленая энергия распространяется на высоте от минимум 6 дюймов до максимум трех футов над поверхностью земли в зависимости от времени суток и местных условий окружающей среды. Тот факт, что поле идет с юга на север, указывает на возможную магнитную или полярную связь с зеленой энергией.

3.5.2 Тесты на проходимость зеленой энергии через вещества

Меня интересовала способность различных веществ пропускать эфирную зеленую энергию. Исследования оргонной энергии доктора Вильгельма Райха привели к тому, что металлы и природные материалы по-разному проводят оргон. Были проведены эксперименты с сенситивами, чтобы определить, как различные материалы проводят и взаимодействуют с зеленой энергией. Результаты анализа приведены в таблице 3.5.2-1.

Очень интересно отметить, что эксперименты с пирамидами показывают, что пирамиды не подвержены влиянию зеленой энергии и не взаимодействуют с ней. Это, вероятно, означает, что пирамиды работают с другим аспектом эфирной энергии, который имеет мало или не имеет ничего общего с зеленым энергетическим полем.

Материал	Прочимость зеленой энергии
Камень	Прочидит, как будто его нет
Стекло (свинцовый хрусталь)	Прочидит с небольшим сопротивлением, почти с трепетом
Труба из ПВХ	Не прочидит вообще
Пирамиды (картон и медь)	Циркулировали через пирамиды и не взаимодействовали с пирамидами
Человек	Энергия потревожена и движется вокруг ног и ступней и обнимает их почти с любовью
Дерево	Прочидит, как будто его нет

Таблица 3.5.2-1 Прохождение зеленой энергии через различные материалы

Одним из наиболее интересных аспектов прочимости является тот факт, что зеленое энергетическое поле не прочидит через пластик. По какой-то причине не только зеленая энергия не прочидит через пластик, но мы обнаружили, что аура человека не прочидит через пластик. С этим связан тот факт, что синтетические ткани блокируют поток ауры человека, в то время как натуральные ткани легко пропускают или проводят аурические энергии.

Натуральные материалы одежды, такие как хлопок, шелк, шерсть и кожа, легко проводят аурическую и другие эфирные энергии. Такие ткани, как полиэстер и акрил, блокируют эфирные потоки. По этой причине я рекомендую людям перестать носить одежду из этих синтетических материалов, так как они препятствуют естественным энергетическим потокам вокруг человека, носящего их. Также хорошо использовать постельное белье, одежду для сна и покрывала, изготовленные только из натуральных тканей, таких как хлопок, лен, шерсть и шелк.

3.5.3 Эфирная энергетическая сетка Земли

Беседы с Ниеной этим утром напомнили мне о некоторых ранних (т.е. примерно 1968 года) работах по свободной энергии. Ниена несколько раз видела энергетическую матрицу, окружающую ее. Это трехмерная кубическая матрица с небольшими точками света на расстоянии менее дюйма друг от друга в параллельных рядах и параллельных плоскостях, образующих трехмерную энергетическую сетку. Это указывает на энергетическую сетку, покрывающую землю, о которой писали лозоходцы и Брюс Кэти (Bruce Cathie). Вероятно, это вызвано стоячими волнами в эфирном поле с длиной волны, равной расстоянию между точками. Это может указывать на механизм для подключения поля с помощью устройства силы формы. Брюс Кэти утверждает, что обнаружил земную сетку, по которой путешествуют НЛО (т.е. НЛО путешествуют по линиям сетки). В главе 7 обсуждаются эксперименты Джо Парра (Joe Parr) с центрифугой, связанные с галактическими энергетическими сетками. Джо получил наилучшие результаты в определенных местах лаборатории, и он предположил возможность того, что линия земной сетки проходит через его лабораторию. Когда всемирно известный лозоходец Билл Кокс (Bill Cox) исследовал лабораторию Джо, он сказал, что эксперимент Джо был прямо на главной линии сетки.

3.6 Упражнения пранаямы, цигун и тай-чи

Йоги далекого Востока, а также те, кто изучили их техники в западном мире, разработали дыхание и позы (упражнения), которые позволяют человеку научиться полному контролю над всеми функциями организма и привести тело в состояние совершенного здоровья. Эти упражнения призваны зарядить тело энергией, которую индусы называют праной, их слово обозначает универсальную энергию. Дыхательные упражнения обычно называются "пранаямы", что означает малые упражнения праны. Фантастические подвиги продвинутых йогов хорошо документированы. Все эти подвиги являются результатом обучения контролю над праной.

Упражнения ци гун также предназначены для того, чтобы человек мог овладеть силами ци как для здоровья, так и для защиты (т.е. для боевых искусств). Мастера ци гун способны осуществлять поразительный контроль над своим телом, устранять очень серьезные заболевания и восстанавливать организм до полного динамического здоровья.

Китайцы разработали множество упражнений, которые позволяют человеку контролировать свою собственную ци (также ки) или жизненную энергию. Движения тай-чи направлены на увеличение энергии ци человека и предоставления ему контроля над этой энергией. Очень продвинутые мастера боевых искусств способны использовать свой контроль над силами ци для защиты себя от атакующих противников.

3.7 Фэн-шуй, китайский метод управления ци

Фэн-шуй - это одновременно и искусство, и метод понимания природы и Вселенной. Анализ китайского искусства фэн-шуй показывает, что он имеет механизмы управления ци или эфирной силой путем использования формы, местоположения, ландшафта и размещения объектов для максимизации или минимизации локальных ци или эфирных сил. Мастера фэн-шуй, владеющие этим искусством, способны использовать его правила, а также использовать предвидение для достижения максимального контроля над ситуациями, укрепления здоровья, увеличения продолжительности жизни, защиты домов и бизнеса от негативных сил и событий и т.д.

Фэн-шуй основан на 1) "Ли" (Li) примерно переводится как законы природы, 2) "Су" (Su) или числовые пропорции природы, 3) дыхание природы, инь и ян, дракон и тигр, или положительные и отрицательные энергии, и 4) внешний образ и формы природы. Именно в

этом последнем аспекте фэн-шуй мы видим, как образ и форма рассматриваются и используются в фэн-шуй для управления ци.

Если читатель заинтересовался этим кратким объяснением, я бы рекомендовал прочитать некоторые из книг, перечисленные в библиографии, для более полного понимания этого древнего искусства. Его многочисленные эвристические правила и механизмы слишком обширны, чтобы излагать их здесь.

3.8 Краткое изложение энергий Земли

Очевидно, что мы многого не знаем о нашей естественной среде обитания. Энергетические сетки, эфирные потоки, силовые центры, геопатогенные зоны и потоки зеленой энергии - все это различные проявления эфирных сил и их взаимодействия с окружающей средой и нами. Тема, как различные материалы взаимодействуют с этими природными силами, снова и снова возникает в исследованиях, проводимых учеными, изучающими нашу удивительную Вселенную. Также становится очевидным, что многие из разработанных нами материалов и технологий не согласуются с тем, как действуют эти природные силы. Многие синтетические материалы блокируют поток природных сил и изолируют нас от их полезных для здоровья аспектов.

Это приводит к другой области исследований, которые необходимо продолжить; а именно, тот факт, что эфирные силы по-разному взаимодействуют с различными материалами, приведет к изобретениям, которые используют комбинацию этих эффектов.

Очень важно, что мы можем выполнять упражнения, располагать свое жилье в правильных местах и корректировать свою одежду, домашнюю и рабочую обстановку для лучшего усвоения нами этих природных сил и энергий.

3.9 Список литературы

1. Crop Circles: Harbingers of World Change. Alick Bartholomeu, Gateway, Bathe, UK, 1991.
2. Feng-Shui the Science of Sacred Landscape in Old China. Ernest J. Eitel, Synergetic Press, Tucson, Arizona, 1984.
4. Interior Design With Feng-Shui. Sarah Rossbach, E.P. Dutton, a division of NAL Penguin Inc, 2 Park Avenue, New York, N.Y.
5. Dawn Behind the Dawn: A Search for Earthly Paradise Geoffrey Ashe, New York: A John Macrae book, Henry Holt and Company, 1992
6. A Quest For the Beginning and the End. Graham Hancock, Gerald Hawkins, New York: A Delta Book, 1965.
7. Divining, the Primary Sense. Herbert Weaver, Routledge & Kegan Paul Ltd., 39 Store Street, London WC1E 7DD, 1978.

ГЛАВА 4

ЭНЕРГИЯ ПИРАМИДЫ

4.1 Введение к пирамиде

Пирамиды в Египте - одно из семи чудес древнего мира и единственное уцелевшее. Существует множество пирамид в Египте, а также в других частях света. Большинство из них ступенчатые пирамиды, построенные из последовательных слоев какого-либо строительного материала, обычно камня. Наиболее известны три пирамиды на плато Гиза, недалеко от Каира. Из них Великая пирамида изучалась и анализировалась больше всего, и по ней было проведено впечатляющее количество исследований. Внешне Великая пирамида представляет собой еще одну ступенчатую пирамиду; однако в свое время она была покрыта белым известняком, образовавшим гладкую вогнутую поверхность на каждой из ее четырех сторон. Когда пирамида была впервые создана, основным материалом великой пирамиды был гранит с облицовкой из белого известняка.

В таблице 4.1-1 приведены некоторые очень интересные факты о Великой пирамиде. Великая пирамида представляет аномалию во времени и пространстве, поскольку в ней воплощены научные факты, открытые только через много тысяч лет после ее первого строительства.

Функция	Значение	Характеристика Великой пирамиды	Описание
Вес Земли	5.3×10^9 тонн	Вес Великой пирамиды 5300000000 тонн или 15 порядков от величины веса Земли.	Расчетный вес Земли в тоннах.
Сидерический год	365.2564 дней	Периметр основания пирамиды в пирамидальных дюймах.	Астрономическое время в днях между двумя наблюдениями одной и той же звезды до и после обращения Земли вокруг Солнца.
Аномальный год	365.2599 дней	Истинная конструкция плоского основания пирамиды.	Астрономическое время в днях обращения Земли вокруг Солнца.
Солнечный год	365.24 дней	Длина каждой истинной стороны основания базируется на священном древнееврейском кубите.	Последовательность дней от одного осеннего равноденствия до следующего.
Прецессионный цикл	Приблизительно 27000 лет	Великая пирамида дает все скорости прецессии за 6 000 лет, в то время как современная астрономия знает их только за 400 лет.	Время прецессии равноденствий.
Пи	3.1415...	Повторяется во многих местах по всей Великой пирамиде.	Отношение окружности круга к его диаметру.
Расстояние от Солнца до Земли (среднее)	92 900 000 миль	После некоторых вычислений, встроенных в Великую пирамиду, 92 996 085 миль.	Среднее расстояние от Земли до Солнца на начальной орбите.
Расположение	Плато Гиза в Египте	Геоцентрический центр земной суши.	Контрольное местоположение по отношению к остальной части земной суши.
Точность кладки	1/100 дюйма	Гигантские гранитные блоки весом 10-30 тонн, размещены с точностью до 0,01 дюйма.	Точность установки гигантских гранитных камней.
ϕ	$(1+\sqrt{5})/2$	Отношение основания к высоте Великой пирамиды.	ϕ - естественное число, встречающееся в геометрии и других отраслях математики.

Таблица 4.1-1 Некоторые интересные факты о Великой пирамиде

4.2 Великая пирамида не была гробницей

Великая пирамида никогда не строилась и не использовалась в качестве гробницы для каких-либо египетских царственных особ или кого-либо еще. В пирамиде никогда не было найдено ничего, напоминающего египетские гробницы. Пирамида была построена с воздушными каналами, ни одна гробница или другая пирамида не была построена с воздушными каналами для дыхания мертвых. Гранитная пробка, блок длиной 15 футов, который находился в начале восходящего прохода, был установлен там, когда строительство достигло этого уровня.

Существует множество предположений относительно истинного назначения Великой пирамиды. Ортодоксальные египтологи придерживаются мнения, что Великая пирамида использовалась в качестве гробницы для Хеопса, египетского царя, во время правления которого пирамида была предположительно построена. Общество розенкрейцеров считает, что пирамида использовалась в качестве камеры посвящения для испытания продвинутых адептов. Некоторые считают, что это межзвездный маяк, который направляет космические корабли пришельцев к планете Земля. Чем бы ни была Великая пирамида, она НЕ является гробницей и никогда ею не была. Как минимум, это свидетельство того, что более 6000 лет назад на земле существовали передовые технологии, соперничающие с нашими собственными. Недавний эксперимент японских ученых, повторить усилия с помощью современных строительных технологий и инженерии, потерпел неудачу.

4.3 Математические соотношения Великой пирамиды

Великая пирамида имеет отношение основания к высоте $2 \sqrt{\phi - \frac{1}{\phi}}$, где ϕ - золотое сечение и равно $(1 + \sqrt{5})/2$. ϕ - это трансцендентное число в том смысле, что оно является бесконечной десятичной дробью. Из-за этого ϕ , с точки зрения резонанса, будет иметь бесконечное число гармонических резонансных точек. Резонанс является ключевым фактором во всех областях физики, включая ядерную физику, квантовую механику, электротехнику, проектирование антенн и т.д. ϕ также связан с рядом Фибоначчи, где каждое последующее число формируется формулой $N_{i+1} = N_i + N_{i-1}$. Например, если первое начальное число равно 1, то ряд Фибоначчи равен:

1, 2, 3, 5, 8, 13, 21 и т.д.

Если мы возьмем математический предел соотношения $N_i + 1/N_i$, то это соотношение равно ϕ .

Филотаксис - это тенденция процессов роста в природе (например, растений и морских раковин) расти по спиральным паттернам. Было замечено, что листья и ветви растений растут по спирали, где соотношение количества оборотов от одной ветви к следующей образует ряд Фибоначчи и, следовательно, ϕ . Итак, мы видим, что Великая пирамида была построена так, чтобы быть в резонансе с естественными силами природы.

4.4 Энергия Пирамиды

Вероятно, одним из наиболее интересных аспектов пирамид является способность пирамиды концентрировать и фокусировать эфирные силы. В 1960-х и 1970-х годах наблюдался большой шквал исследований энергии пирамиды, и было опубликовано довольно большое количество информации об экспериментах с энергией пирамиды. В таблице 4.4-1 обобщены некоторые из этих очень интересных энергетических фактов о пирамидах.

Функции	Энергетические эффекты пирамиды
Пищевые консервы	Эксперименты показали, что продукты будут храниться дольше, если их поместить внутрь пирамиды.
Улучшает медитацию	Приверженцы медитации утверждают, что медитация в форме пирамиды усиливает процесс медитации и позволяет достичь повышенного психологического эффекта.
Способствует выздоровлению	Раны людей и животных заживают быстрее и с меньшим количеством проблем, когда субъект лечится в пирамидальной форме.
Требуется только форма пирамиды	Обширные эксперименты показали, что для получения энергетических эффектов пирамиды необходимы только контуры (т.е. ребра) пирамиды.
Генерирует статическое электричество	Эксперименты как в великой пирамиде, так и здесь, в США указывают на то, что пирамида может быть своего рода генератором статического электричества. Этот эффект кажется наиболее выраженным для очень больших пирамид, поэтому он может быть исключительно электростатическим эффектом высокого объекта, улавливающего некоторый электростатический эффект земли из-за высоты.

Таблица 4.4-1 Энергетические эффекты пирамиды

Из всех вышеперечисленных интересных эффектов наиболее глубоким является тот факт, что все энергетические эффекты пирамиды могут быть сгенерированы только с самыми простыми очертаниями самой формы пирамиды. На самом деле, исследования показали, что для усиления энергетического эффекта необходимо определенное количество открытого пространства по бокам и внизу пирамиды. Максимальные энергетические эффекты достигаются только при открытом каркасе. Книги в списке литературы в конце этой главы содержат огромное количество информации о различных аспектах пирамиды. Многие исследователи заинтересовались энергией пирамиды и углубили понимание эффектов, связанных с энергией пирамиды. Одним из наиболее известных из этих исследователей был Патрик Фланниган (Patrick Flannigan)^{5,6}, который разработал приборы для тестирования эффектов энергии пирамиды.

4.5 Краткое изложение энергетического исследования пирамиды

В некоторых из моих экспериментов в 1960-х годах я показал, что пирамидальные формы, по-видимому, генерируют электростатическую энергию или, по крайней мере, накапливают электростатический заряд. В более поздних экспериментах в 1990-х годах я доказал, что небольшая медная пирамида, сделанная из медного листа, накапливает незначительный заряд. Максимальная генерация заряда, по-видимому, достигается по линии север-юг/восток-запад. Я предполагаю, что форма пирамиды взаимодействует с потоком эфира с востока на запад и магнитным полем с севера на юг, что приводит к образованию вихрей на сторонах пирамиды, в результате чего образуются электроны, как в эксперименте Леса Брауна (Les Brown), описанном в следующем разделе. Необходимо провести дополнительные измерения для проверки скорости генерации и т.д. Измерение

электростатического поля (ES) производится с помощью моего измерителя ES поля. Он маломощный, примерно, как провести расческой по волосам, и построение пирамиды занимает около 30 секунд.

Эксперименты с некоторыми из моих двухдюймовых пирамид из пластика, а также с большой пирамидой из картона и меньшей из медного листа дали некоторую подтверждающую информацию. Большинство из следующих пунктов были разработаны много лет назад, и тесты с ясновидящими точно коррелируют именно со всеми исследованиями, которые я и другие провели по энергии пирамид. Однако здесь появляются некоторые новые эффекты силы формы.

1. Энергия течет вверх по сторонам пирамиды и слетает с вершины в виде спиралевидного столба света.

2. Максимальная энергия с вершины получается, когда противоположные грани пирамиды ориентированы в направлении север-юг.

3. Магнит на каждой стороне пирамиды значительно усиливает поле с вершины пирамиды. Магниты должны быть выстроены так, чтобы поле через пирамиду было притягивающим (т.е. NS - SN). В конструкцию пирамиды, которую я разработал много лет назад, встроены небольшие магниты, чтобы сделать энергетическое поле сильнее.

4. Медная пирамида работает намного лучше, чем пластиковые или картонные пирамиды. Мы знали, что материалы важны, но не знали, какие именно. Одна медная пирамида, выровненная по магнитному полю земли, эквивалентна пластиковой пирамиде с магнитами на каждой стороне для усиления поля. Максимальное накопление энергии происходит, когда пирамида и магниты выстраиваются в линию с магнитным полем земли. Это означает, что медная пирамида в несколько тысяч раз мощнее фокусирует эфирную силу, чем пирамида из диэлектрических материалов.

5. Пирамиды, нарисованные на бумаге или меловой доске (т.е. двумерные рисунки трехмерных пирамид), обладают той же энергией, что и трехмерная версия. Это может быть обманом зрения, поскольку зритель визуализирует трехмерный объект. Визуализация, как мы с Ниеной (Niema) выяснили много лет назад, фокусирует энергию пирамид, как будто пирамида физически существует. Визуализация формы пирамиды над какой-либо местностью фактически фокусирует энергии пирамиды в этой местности.

6. Покраска пары пластиковых пирамид алюминиевой краской никак не повлияла на количество энергии, исходящей от пирамид. Предполагалось, что металлизация поверхности будет способствовать выработке энергии, поскольку медная пирамида выглядела более энергичной, чем пластиковая. Возможно, цвет краски должен был быть медным с частицами меди в краске.

7. Форма пирамиды генерирует магнитное поле благодаря тому, что ее стороны сходятся в точках наверху и по углам. См. главу 1 этой книги.

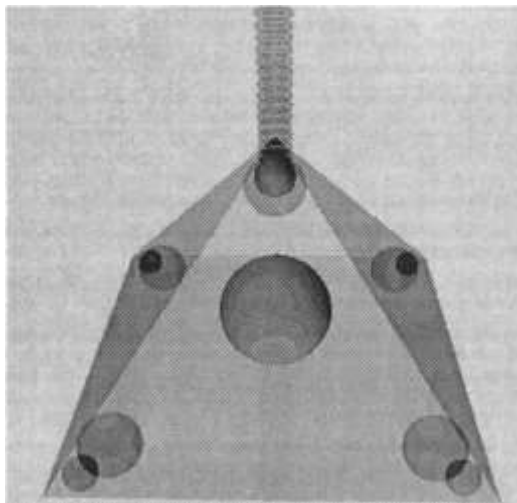


Рисунок 4.5-1 Концентрация энергии в пирамиде.

4.6 Эксперимент с медными пирамидами

Я построил четыре медные пирамиды из листовой меди. Пирамиды имеют два дюйма в основании, а стороны представляют собой равносторонние треугольники. Пирамиды расположены так, чтобы образовать квадратный массив из двух рядов и двух столбцов, который выровнен по магнитному полю Земли. Неодимовые магниты расположены на противоположных концах массива, и выровнены по магнитному полю Земли. Для сравнения я также выложил четыре пластиковые пирамиды в аналогичный массив. Оба массива пирамид были установлены на земле за пределами лаборатории, чтобы они находились в энергетическом поле, которое струится над поверхностью земли.

Были проведены тесты, чтобы выяснить, что происходит с энергетическими полями вокруг массивов пирамид. Результаты показали, что медный массив излучает гораздо больше энергии, чем пластиковый. Даже с магнитами на пластиковом массиве и без них на медном массиве, медные пирамиды обладали большей энергией.

В медном массиве энергия была сконцентрирована на вершинах пирамид и между пирамидами в направлении север-юг.

Из всего этого мы можем сделать вывод, что металлы (т.е. проводники), как правило, отклоняют и фокусируют энергию пирамиды, а непроводники, такие как пластик поглощают и проводят энергию. Подобные эффекты материалов обсуждаются в главе 3, посвященной оргонной энергии. Энергия пирамиды увеличивается, когда массив находится в магнитном поле, и чем сильнее поле, тем больше энергии преобразуется. Для этого необходимо, чтобы весь массив, включая магниты, был выровнен относительно направления север-юг/восток-запад и магнитного поля Земли.

4.7 Генерация электростатической энергии

На протяжении многих лет ряд экспериментов и наблюдений показал, что пирамида, по-видимому, является генератором электростатической энергии. Это, вероятно, означает, что пирамида является преобразователем эфирной энергии непосредственно в электрическую энергию; однако, если учесть, что электростатические поля являются результатом различных концентраций эфирной энергии, то это не так уж удивительно.

4.7.1 Шокирующий опыт Леса Брауна (Les Brown)

Видео, которое у меня есть, покойного канадского исследователя кристаллов Леса Брауна, рассказывает об огромном заряде энергии, который он получил от большой 30-футовой пирамиды, построенной им (см. рис. 4.7.1-1). Он поместил против часовой стрелки (CCW) в форме вихря медный провод (с обрезанным концом) на вершине, с внутренней стороны, своей большой 30-футовой пирамиды, чтобы действовать как антенна/коллектор. В нижней части пирамиды он прикрепил провод к куску фанеры в 1/4 дюйма, намотанный по часовой стрелке (CW) плоской спиралью, создавая наземную антенну. Центр проволочной спирали был пропущен через фанеру и заземлен. Внешний конец плоской спирали торчал в воздухе, чтобы его можно было прикрепить к шерстяной нити, идущей сверху. Двухдюймовые скобы прошли через катушку заземления и через фанеру, дополнительно заземляя катушку. К вершинной антенне он прикрепил нить из чистой овечьей шерсти и опустил ее в центр большой пирамиды. Когда он собрался соединить нить со спиралью у основания пирамиды, заряд высокого напряжения (или какой-либо другой вид энергии, с которым он соединился) отбросил его на двадцать футов по полу внутри пирамиды к стене. Это так сильно напугало его, что он разобрал все на части и больше ничего с этим не делал.

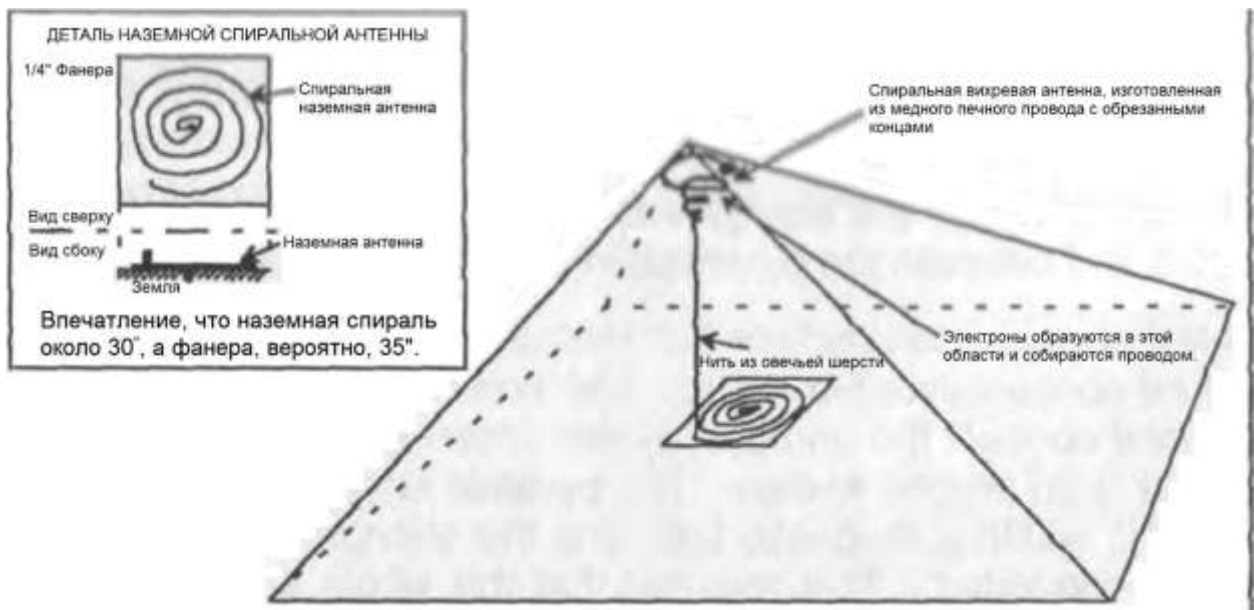


Рисунок 4.7.1-1 Эксперимент с энергией пирамиды Леса Брауна

4.7.2 Спиральная энергия от вершины пирамиды

Несколько лет назад Джерри Декер (Jerry Decker), выдающийся исследователь новых наук, посетил симпозиум по кристаллам в Ирвинге (Irving), штат Техас, организованный Присциллой Бойд (Priscilla Boyd), ныне живущий в Ханствилле (Hunstville). Мэри (Mary) и Дин Харди (Dean Hardy) из Аллегана (Allegan), штат Мичиган, представили материал об исследованиях, которые они проводили с энергией пирамиды. Они показали слайд с фотографией пирамиды, излучающей луч энергии двойной спирали при возбуждении катушкой Тесла.

Отсканированное изображение оригинальной фотографии, рис. 4.7.2-1, было сделано доктором Дж. Д. Нельсоном (J. D. Nelson) из Университета Вайоминга (Wyoming). Судя по имеющейся у нас ограниченной информации о том, как это было сделано, форма пирамиды выполнена из спаянного медного листа, возможно, с кристаллом, расположенным на вершине.

Катушка Теслы расположена таким образом, чтобы электрическое излучение происходило в точке силы около $2/3$ пирамиды. Мы не знаем напряжения, хотя думаем, что оно составляет примерно 200 000 вольт. Во время телефонного разговора с Дином Харди 21 мая 1996 года он сказал, что позже они провели эксперимент с гораздо меньшими катушками Теслы порядка 50 кВ и меньшими пирамидами, и результаты были такими же.

Дин вспоминает, что пирамида поддерживается акриловыми колоннами. Акриловая колонны помогают изолировать медную пирамиду от земли и еще больше усилить излучение энергии. Также обратите внимание, что эта фотография была сделана в совершенно темной комнате с выдержкой от 1 до 3 минут (наша информация в отношении технических деталей очень ограничена).

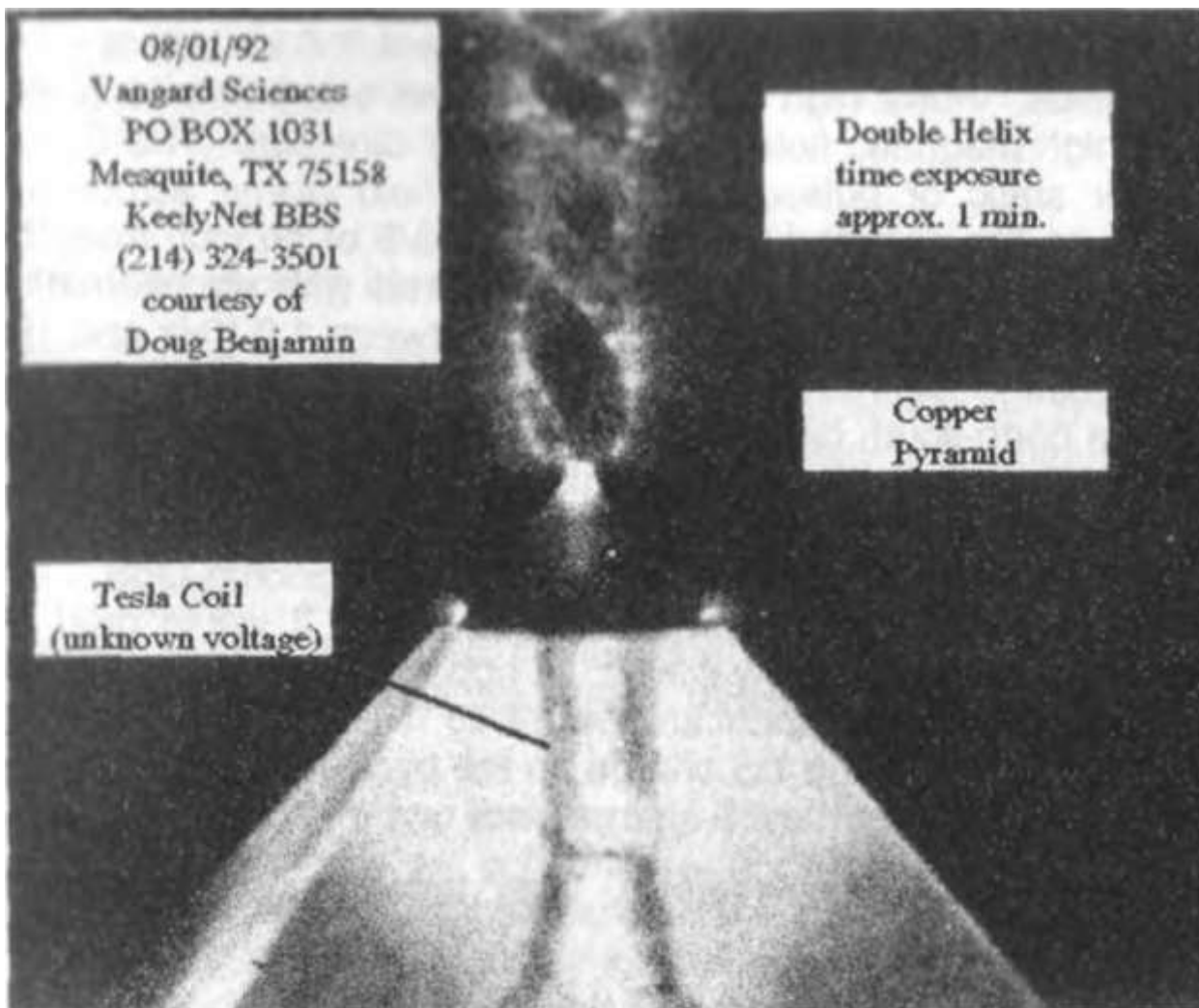


Рисунок 4.7.2-1 Спиральная энергия от пирамиды

4.7.3 Электростатическая энергия в Великой пирамиде

Когда сэр У. Сименс (W. Siemens), британский изобретатель, побывал на вершине Великой пирамиды, арабский гид заметил, что, когда Сименс поднял руку над головой, ему показалось, что раздался резкий звенящий звук, и он почувствовал покалывание в пальцах. Будучи изобретательным по натуре, Сименс соорудил грубую лейденскую банку из винной бутылки и газеты, которая была у него с собой. Он смочил газету вином и обернул ею бутылку. Самодельная лейденская банка мгновенно заряжалась электричеством, стоило только поднять ее над головой.

Во время поездки в Египет в 1980-х годах для проведения испытаний в Великой пирамиде Джо Парр (Joe Parr) провел измерения с помощью электростатического вольтметра, находясь на вершине пирамиды. Джо смог показать, что пирамида является огромным генератором электростатической энергии, генерирующим многие тысячи вольт. Когда измерительный зонд был высунут в поток воздуха, обдувающий сторону пирамиды, вольтметр быстро показал максимальное значение. Это позволяет предположить, что электростатическая энергия обусловлена трибоэлектрическим эффектом, при котором воздух, движущийся вверх по стороне пирамиды, собирает ионы из-за трения ветра о грани пирамиды.

4.7.4 Генерация электростатической энергии статической пирамидой

Эксперимент, который я провел, изображен на рисунке 4.7.4-1. Использовал статический массив пирамид. Поместил сильное электрическое поле на одну пару противоположных граней и сильное магнитное поле на другое направление. Е-поле может быть как статическим, так и импульсным. Электрические удерживаемые пластины напротив пирамиды находились на восточной и западной сторонах примерно в 3/8 дюйма от основания пирамиды. Пластины были запитаны сигналом переменного тока/напряжения с частотой от 1,0 кГц до 160 кГц и напряжением 165 вольт. Магниты были расположены напротив пирамиды в направлении север-юг, но они не имели никакого значения, поэтому я их удалил. Электростатический вольтметр касался южной грани пирамиды своим детекторным датчиком. Пирамида была сделана из тонких листов меди, края которых были соединены скотчем. Электростатический вольтметр зарегистрировал максимум около 15 кГц. Он быстро спадал выше 20 кГц и ниже 8 кГц. Похоже, что пирамида или электростатический измеритель имеют резонанс от 14 до 15 кГц. Выключение напряжения отключает заряд электростатического поля на пирамиде, а повторное включение напряжения снова включает электростатический заряд.

Мы все еще находимся на уровне блошиной силы!!! Оставайтесь с нами для более захватывающих открытий.

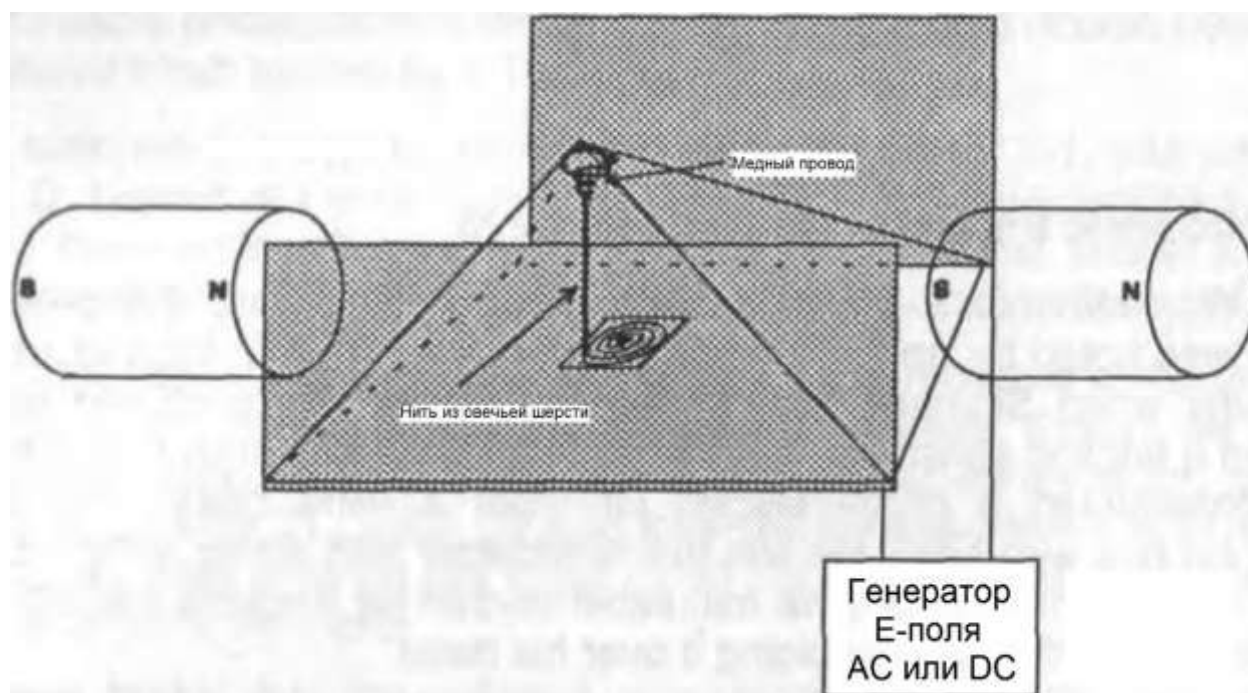


Рисунок 4.7.4-1 Электростатический генератор, использующий пирамиду в качестве силы формы

4.8 Теория как создается спиральная энергия пирамиды

Пересекающиеся линии и результирующие планарные силовые поля сторон создают энергетические эффекты пирамиды, которые приводят к концентрации эфирной энергии внутри пирамиды. Эффекты обезвоживания, наблюдаемые при использовании пирамид для сушки органических материалов, являются результатом энергетических эффектов, связанных с эфирной энергией. Естественные потоки эфирной энергии через Землю в направлении север-юг позволяют объяснить, почему магнитная ориентация усиливает энергетические эффекты пирамиды, поскольку магнитное поле представляет собой поток эфирной энергии.

4.8.1 Пересекающиеся линии

Из эксперимента в главе 1, показывающего, как эффекты силы формы создаются с помощью пересекающихся линий, мы можем видеть, как это можно очень хорошо применить для объяснения того, почему пирамида создает концентрированное эфирное энергетическое поле. Четыре угла основания и вершина все образованы пересекающимися линиями треугольных граней. В этих углах потоки эфира концентрируются от треугольных граней и формируют потоки эфирной энергии в этих фокусных точках. Магнитные эффекты, создаваемые в углах пирамиды, также были подтверждены моими лабораторными испытаниями.

Поскольку все, что нам нужно, - это пересекающиеся линии для создания градиентов эфирной энергии, которые действуют для концентрации и фокусировки эфирной энергии в эфирную силу, это ясно объясняет, почему форма пирамиды, состоящая только из внешних ребер и основания для определения пирамиды, функционирует так же хорошо, как и сплошная пирамида. На самом деле, исследования Джо Парра показали, что в сплошной пирамиде должно быть несколько отверстий, чтобы максимизировать энергетические эффекты. Это также является еще одним объяснением того, почему в Великой пирамиде есть "вентиляционные шахты".

4.8.2 Сконцентрированные силы

Треугольные грани, даже при наличии только линий, а не сплошной грани, формируют трехмерное силовое поле на каждой из граней пирамиды. Вихри в углах трехмерны и притягивают энергию со всех сторон и концентрируют ее в углах. Математический анализ сил внутри пирамиды показывает, что конечный геометрический результат симметричного притяжения силы от каждого угла к внутренней части пирамиды находится точно в геометрическом центре пирамиды. Этот центр расположен на $1/3$ высоты пирамиды. Любой, знакомый со школьной геометрией, может доказать этот простой факт.

4.8.3 Эффекты обезвоживания

Возможно, первым открытием, которое привело к экспериментам с пирамидами, было обнаружение в Великой пирамиде мертвых животных, которые естественным образом мумифицировались и не разлагались. Обширные эксперименты многих исследователей пирамид, доказали, что форма пирамиды действует как обезвоживающая форма (т.е. пирамида высушивает материал, помещенный в пирамиду), и, по-видимому, лучше всего работает на $1/3$ высоты.

Еще один факт об эфирной энергии заключается в том, что концентрированная эфирная сила гигроскопична. Это означает, что концентрированная эфирная энергия будет собирать влагу. Облака являются прекрасным примером этого, поскольку было доказано, что облака можно рассеять, вытягивая из них эфирную энергию. Возможно и обратное, то есть создание облаков путем концентрации эфирной силы. Райх разработал машину, обсуждаемую в главе 5, под названием "разрушитель облаков" (cloud buster), которая вытягивает оргон (т.е. эфир) из облаков, и они рассеиваются.

На первый взгляд кажется, что пирамида должна скорее увлажнять, чем высушивать вещи, поскольку пирамида концентрирует эфир. Однако углы пирамиды фактически вытягивают эфир из центра пирамиды и фокусируют его по углам. Таким образом, мы видим, что все, что содержит воду или водяной пар внутри пирамиды, будет терять влагу, и это легко объясняет эффекты высушивания, связанные с формой пирамиды.

4.8.4 Магнитная Ориентация

Следующее, что мы должны объяснить, это почему энергия пирамиды усиливается, когда пирамида ориентирована на север-юг и восток-запад по отношению к компасу. Эксперименты показали, что максимальный энергетический эффект пирамиды достигается, когда пирамида ориентирована таким образом. Хотя Великая пирамида в настоящее время ориентирована не точно по магнитному полю Земли, а скорее на северный полюс (т.е. истинный север, в отличие от магнитного севера, который обычно отличается), предполагается, что когда-то Великая пирамида была геомагнитно ориентирована, но магнитное поле Земли изменилось или Земля сместилась на своей оси, что явилось причиной отличия в настройке магнитного поля.

При ориентации компаса на север/юг эфирный поток проходил бы через пирамиду в трех направлениях. Магнитное поле представляет собой вихревой эфирный поток с юга на север. Земля вращается вокруг своей оси, поэтому наблюдается небольшой дрейф (поток) эфира с запада на восток. Когда эти два потока встречаются в пирамиде, это заставляет эфир обтекать пирамиду вокруг в направлении против часовой стрелки (глядя вниз на пирамиду) с восходящей тягой из-за наклона пирамиды. Третий поток - это поток/давление эфира сверху вниз в землю. Когда этот поток попадает во вращающийся поток против часовой стрелки, создается вихревое действие, которое может создавать тороидальные вихри в эфире. Они автоматически превращаются в простые частицы и, скорее всего, это будут электроны. На рисунке 4.8.4-1 показаны эфирные потоки, действующие через магнитно ориентированную пирамиду. Современная теория в новом видении научной сети состоит в том, что субатомные частицы представляют собой различные комбинации эфирных тороидальных вихрей, впервые обнаруженных и описанных Джоном Кили в конце 1890-х годов. Также, смотрите математику Пола Стоу (Paul Stowe) в главе 8 в качестве доказательства этого утверждения.

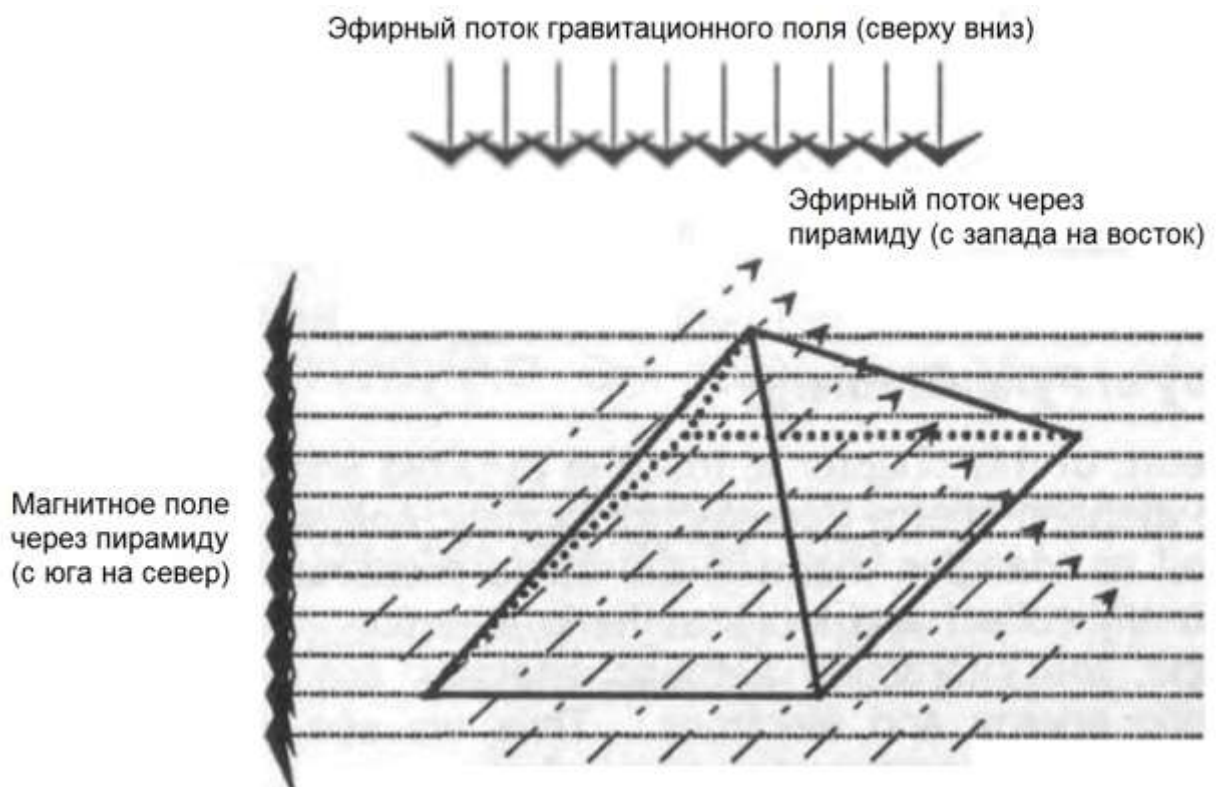


Рисунок 4.8.4-1 Эфирные потоки, действующие через магнитно ориентированную пирамиду

Итак, теперь у нас есть метод объяснения того, как образуются электроны и почему пирамида будет действовать как генератор заряда.

4.8.5 Магнитная генерация

Возможно, одной из наиболее таинственных загадок, связанных с формами пирамид, является способность пирамиды генерировать магнитное поле. В книге Билла Керрелла (Bill Kerrell) и Кэти Гроггин (Kathy Groggin) "Руководство по энергии пирамиды" (The Guide to Pyramid Energy)³ они рассказывают о некоторых уникальных экспериментах с формами пирамиды. Они попросили несколько инженеров с очень чувствительными гауссметрами измерить магнитные поля внутри и вокруг пирамид. Их основное открытие заключалось в том, что пирамида действительно генерирует слабое магнитное поле, которое увеличивается по мере ориентации пирамиды на магнитное поле Земли. Этот эффект магнитной генерации также не зависел от материала, из которого была сделана пирамида. Эффект можно было бы объяснить в случае металлических пирамид; однако с диэлектрическими материалами этот эффект не вписывается ни в какие объяснения стандартной физики.

Как описано в главе 1, был доказан простой эксперимент по проверке гипотезы о том, что пересекающиеся стержни будут генерировать магнитное и электростатическое поле. Эти результаты показаны на рисунке 1.4.5-1.

Этот эффект пирамиды, являющейся фактическим генератором магнитного поля, очень хорошо объясняется моим открытием, что пересекающиеся линии генерируют текущий вихрь эфирной энергии. Магнитное поле постоянного магнита также является текущим вихрем эфирной энергии, о чем говорилось в главе 1 этой книги.

Q.E.D – Следовательно - Эврика! Таким образом, пирамида из множества пересекающихся стержней будет генерировать магнитное поле, потому что эфирные вихревые потоки на пересечении линий на самом деле являются магнитными полями. Это означает, что пересекающиеся линии или стержни также должны генерировать магнитные поля, и это было доказано в лабораторных измерениях, как показано в главе 1.

4.9 Краткое изложение энергии пирамиды

Основная тема этой главы заключается в том, что форма пирамиды является естественным преобразователем эфирной энергии в электромагнитную энергию. Форма пирамиды, а также треугольники, выполненные в той же пропорции, что и Великая пирамида, естественным образом собирают и фокусируют эфирные энергии. Благодаря форме пирамиды взаимодействующие эфирные энергии преобразуются в электромагнитную энергию и электроны. Таким образом, мы видим путь к возможному способу выработки энергии, используя силу формы.

4.10 Список литературы

1. The Great Pyramid. Its Divine Message, D. Davidson and H. Aldersmith, London, William Rider and Son Ltd., 1924.
2. Pyramid Power. Max Toth and Greg Nielson, Freeway Press, 1974.
3. The Guide To Pyramid Energy. Bill Kerrel and Kathy Groggin, Pyramid Power V, Inc, 1975.
4. Energy: Breakthroughs To New Free Energy Devices. Dan A. Davidson, RIVAS, P.O. Box 1090, Sierra Vista, Arizona 85636, 1977.
5. Pyramid Power. G. Pat Flannigan, Ph.D, Pyramid Publishers, 438 Cypress St., Glendale Calif. 91204, 1973.
6. Beyond Pyramid Power. G. Pat Flannigan, Ph.D, DeVorss & Company, 1641 Lincoln Boulevard, Santa Monica, Calif. 90404, 1975.

7. Secrets of the Great Pyamid. Peter Thompkins, Harper & Row, Publishers, New York, 1971.
8. Great Pyramid Proof Of God. George R. Riffert, Destiny Publishers, Merrimac, Mass., 1932.
9. The Secret Power of Pyramids. Bill Schul and Ed Pettit, Fawcett Gold Medal Book, 1975.
10. The Psychic Power of Pyramids. Bill Schul and Ed Pettit, Fawcett Gold Medal Book, 1976.
11. Pyramid Energy and How It Works. James Wyckoff, Zebra Books, Kensington Publishing Corp., 1976.

ГЛАВА 5

СИЛА ФОРМЫ И "САКРАЛЬНАЯ ГЕОМЕТРИЯ"

В этой главе рассматривается концепция, ставшая популярной в современных метафизических кругах, сакральная геометрия, которая подразумевает существование геометрически паттернов, связанных с основой жизни и существования, творения, Бога. Будет рассмотрена значимость сакральной геометрии для силы формы.

5.1 Сакральная геометрия

Концепция силы формы как естественных генераторов, очагов энергий высшего порядка и преобразователей этой энергии в более узнаваемые энергии, такие как электричество и магнетизм, по сути, утверждает то же самое, что и приведенное выше определение "сакральной геометрии".

Приписываете ли вы какое-то мистическое значение геометрическим паттернам на основе веры, интуиции, символической магии или наблюдаемых результатов, или вы доказываете это в лаборатории с помощью экспериментов и строгой "научной" процедуры, вы ничего не изменяете, кроме семантики в отношении конечного результата. Оба преобразуют энергию, используя естественные геометрические принципы, которые существуют в естественном порядке Вселенной. Эти принципы открывают нам сакральную основу всего сотворенного.

Как математик и физик, я воздерживаюсь от описания геометрических фигур как "сакральных". Как человек, глубоко погруженный в метафизику, я понимаю, откуда берутся те, кто принимает термин "сакральная геометрия". Однако по мере углубления в понимание того, как функционирует Вселенная, и, в частности, как геометрические формы резонируют и генерируют энергию, загадочное представление того, что геометрические символы являются источниками непознаваемой или непостижимой силы, является детским взглядом. Истинный мистик верит, что он/она может знать причину и следствие вещей, поскольку каждый человек является частью Целого, искрой Святого Духа Божьего, и с помощью медитации и созерцания может достичь истинного понимания Вселенной и ее функции, и организации.

Те, кто использует термин "сакральная геометрия", применяют его как к геометрическим фигурам, большинство которых приписано к обычной геометрии, так и к определенным математическим концепциям, которые лучше было бы описать как "сакральная математика". Они описаны в следующих разделах и связаны с физикой силы формы, как это было открыто в моих исследованиях и экспериментах.

5.2 Геометрические фигуры сакральной геометрии

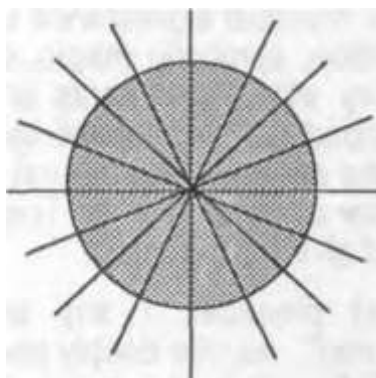
5.2.1 Точка

Как геометрическая концепция, точка существует в виде определения и базовой концепции. Как физическая реальность, точка не существует, поскольку она является ментальной конструкцией и, по определению, не имеет ни длины, ни ширины, ни толщины, следовательно, она не существует как физическая сущность.

Тем не менее, точка используется для определения центра круга, центра сферы, конечных точек линии, фокусировки на бесконечности. Таким образом, мы можем видеть, что точка, хотя и не имеет измерения, является основой всех измерений.

Из глав 1 и 2 мы узнали, что простейшей физической конструкцией, действующей в качестве "точки" на макроуровне, является одна атомная частица, которая действует как центральный приемник и излучатель эфирной силы. На микроуровне (т.е. на атомном

уровне) даже простейшая атомная частица имеет форму и структуру. На рисунке 5.2.1-1 показаны вихревые потоки сложного атома.



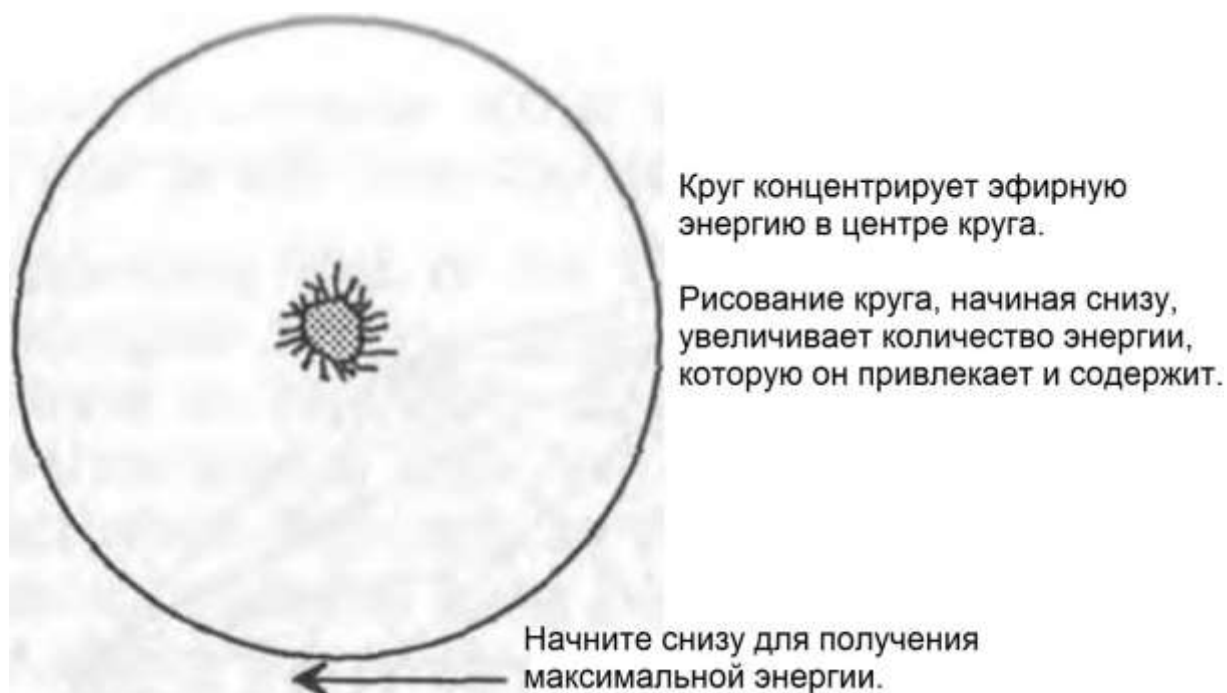
Сложный атом со многими порядками вихревых напряженных эфирных потоков (линий). Простой атом, такой как водород, имел бы только одну вихревую линию входа и выхода.

Рисунок 5.2.1-1. Поперечное сечение вихревых напряженных потоков сложного атома

5.2.2 Круг

Круг, двумерный локус, равноудаленный от точки, символически используется на протяжении всей истории как символ единства всего сущего, основная икона божества. Как символ силы формы, круг действует, чтобы сфокусировать исконную энергию Вселенной в центре круга.

Тестирование с ясновидящими показало, что максимальную силу круга можно получить, нарисовав круг, начиная с нижней части окружности. Таким образом, мы видим, что в физике силы формы есть нечто большее, чем простой геометрический паттерн. Намерение (т.е. ментальный фактор) и производственные процессы создания символа также определяют количество энергии, связанной с символом. На рисунке 5.2.2-1 изображен паттерн силы формы круга.



Круг концентрирует эфирную энергию в центре круга.

Рисование круга, начиная снизу, увеличивает количество энергии, которую он привлекает и содержит.

Начните снизу для получения максимальной энергии.

Рисунок 5.2.2-1. Сила формы круга

5.2.3 Сфера

Некоторые считают, что сфера - самая совершенная из форм. Она является наиболее типичным символом единства. С точки зрения силы формы сфера - это просто трехмерная версия круга, в которой атомы сферы действуют как излучатели эфирной силы, и все точки сферы фокусируются в центре сферы, создавая интенсивный фокус эфирной силы в центре.

5.2.4 ПЛАТОНОВЫ ТЕЛА

Основой для организации физической материи в минеральном царстве являются 5 Платоновых тел. Они связаны с 5 уровнями энергии, как представляли древние греки. Это:

1. Тетраэдр - относится к огню
2. Куб или (шестигранник) - относится к земле
3. Октаэдр - относится к воздуху
4. Додекаэдр - относится к духу или эфиру
5. Икосаэдр - относится к воде

Эти трехмерные фигуры являются основой кристаллов и минералов. Это единственные пять правильных многогранников, как может быть доказано в геометрии, и они состоят из равносторонних и равноугольных многоугольников. Геометрическая концепция двойственности связывает многогранники, в соответствии с которой двойственность одного образуется путем соединения средних точек граней другого. Тетраэдр, самый простой из трехмерных многогранников, дуален сам себе. Куб и октаэдр дуальны, т.е. получают друг из друга, как икосаэдр и додекаэдр.

Единственное Платоновое тело, которое мы до сих пор рассматривали с точки зрения силы формы в предыдущих главах, - это тетраэдр. Тетраэдр фокусирует эфирную силу в четырех вершинах и в геометрическом центре, как показано на рисунке 5.2.4-1. Соответственно мы могли бы ожидать, что остальные 4 Платоновы тела также будут фокусировать эфирную силу в своих центрах, причем по мере продвижения от куба к икосаэдру, эфирная сила фокусируется в вершинах все меньше и меньше. Это происходит потому, что мы все ближе и ближе подходим к сфере, которую можно было бы рассматривать как правильное тело с бесконечным числом сторон.

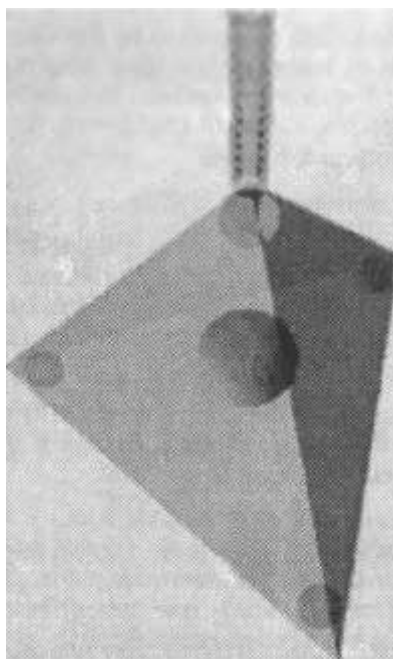


Рисунок 5.2.4-1. Эфирная концентрация в тетраэдре

5.3 Математика сакральной геометрии

5.3.1 π (пи)

Пи (π), отношение длины окружности к ее диаметру, является трансцендентным или иррациональным числом. Это означает, что это число, которое не может быть определено как отношение двух целых чисел, и результат деления является бесконечным числом.

Число Пи приблизительно равно 3,14159...

Число Пи встроено в геометрию Великой пирамиды в Египте с поразительной точностью и доказывает, что строители были достаточно технологически развиты, чтобы сигнализировать более поздним цивилизациям о том, что передовые технологии существовали на земле давным-давно.

5.3.2 Золотая середина ϕ (фи)

Золотая середина или золотое сечение, обозначаемое греческой буквой ϕ , является еще одним трансцендентным или иррациональным числом. Это число также было встроено в геометрию Великой пирамиды. Золотая середина встречается естественным образом в природе, например, в форме камерной раковины наутилуса и спирали семян подсолнечника в цветке.

ϕ примерно равно 1,618034...

Золотая середина определяется путем деления прямой линии таким образом, чтобы отношение линии к большей части линии равнялось большей части линии, деленной на меньшую часть линии. Некоторые аспекты ϕ были упомянуты в главе об энергии пирамиды, поэтому мы не будем повторять их здесь.

Одним из интересных аспектов золотой середины является тот факт, что она использовалась многими художниками в своих картинах, поскольку считалось, что она обеспечивает чувство эстетически приятной пропорции.

С ϕ связано явление филотаксиса, которое представляет собой тенденцию в природе расти по спиральным паттернам¹. Существуют особые спиральные паттерны, которые математически связаны с ϕ . Например, растения и деревья имеют тенденцию к росту ветвей и листьев, которые являются естественными спиралями. Хорошо известная камерная раковина наутилуса растет по спирали ϕ .

В моей первой книге² рассказывается о некоторых исследованиях, проведенных для понимания того, как слышит человеческое ухо, и о задействованных в этом механизмах. Внутреннее ухо имеет спиралевидную камеру, улитку. Улитка выстлана крошечными волосками. Исследование Флетчера (Fletcher)³ в лаборатории Белла (Bell), показало, что камера действует как резонансная трубка, и равные расстояния вдоль спирали гармонично связаны (см. рис. 5.3.2-1). Если мы соотнесем это с явлением филотаксиса, то вполне может оказаться, что дерево или растение представляет собой резонансную структуру со специфическими частотами как частью ее энергетических паттернов. Эти частоты и их гармоника будут резонировать по всей длине растения и его ветвей в естественной ϕ спирали.

5.3.3 Идеальные прямоугольные треугольники

Идеальные прямоугольные треугольники - это прямоугольные треугольники со сторонами целых чисел, таких как 3/4/5, 5/12/13 и 7/24/25. И снова мы обнаруживаем, что

Великая пирамида содержит один из этих идеальных прямоугольных треугольников, треугольник 3/4/5, содержится в "камере царя" пирамиды.

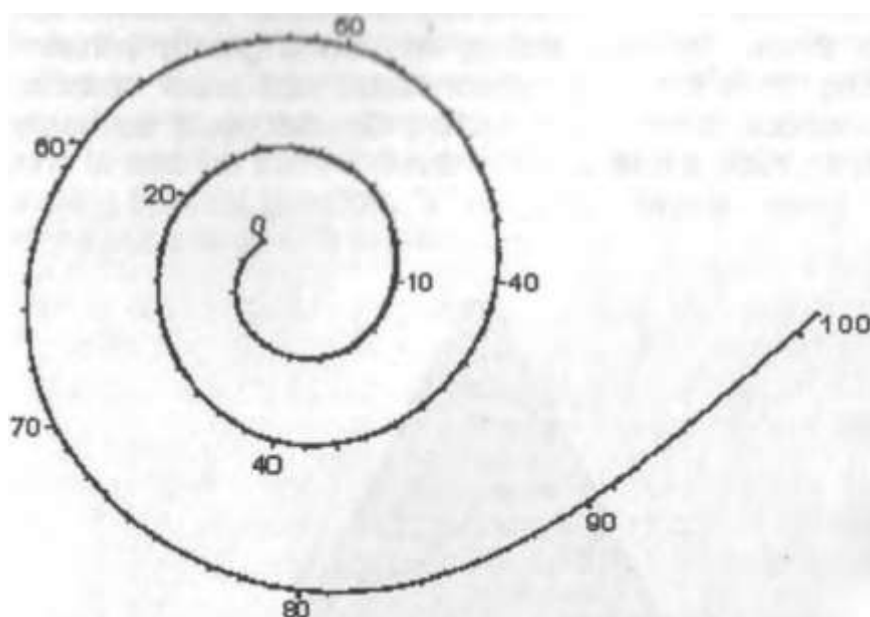


Рисунок 5.3.2-1. Вихревые резонансы внутреннего уха

5.4 Сила формы и сакральная геометрия

Выдающаяся сила формы геометрическая фигура, пирамида, была построена с использованием различных основ "сакральной геометрии" и "сакральной математики". Тогда можно спросить: "Встроены ли эти различные математические паттерны и числа в пирамиду, потому что они связаны с производством энергии силы формы, или они существуют как свидетельство того, что развитые технологические цивилизации существовали на Земле еще до начала истории, или они выполняют другие функции?"

Эксперименты с энергетическими аспектами силы пирамиды показывают, что точные пропорции Великой пирамиды не были важным фактором в ее генерации энергии⁴. Мы фактически доказали, что генерация энергии пирамиды является функцией граней, сходящихся как углы, создавая эфирный вихрь, который преобразует эфирную силу в магнитные и электрические силы, как показано на рисунке 5.4-1. Этот эффект работает с различными углами. Необходимы дополнительные исследования, чтобы определить, существуют ли оптимальные углы. Необходим большой объем исследований для определения всех параметров генерации энергии с помощью сходящихся линий.

5.5 Сила формы, сакральная геометрия и сознание

Ученики мистерий древнегреческих школ медитировали на различных Платоновых телах. Они верили, что медитация на эти геометрические фигуры повысит их сознание. Йоги верят, что истинное созерцание чего-либо раскроет физику объекта, а также его эзотерические аспекты. Правильная концентрация и успокоение внешнего сознания переводят человека в более высокое состояние сознания, такое как альфа или тета. В этих состояниях интуиция значительно усиливается, а понимание перетекает из подсознания и сверхсознания в сознание. Древние греки могли с таким же успехом созерцать камень, дерево или свой пупок.

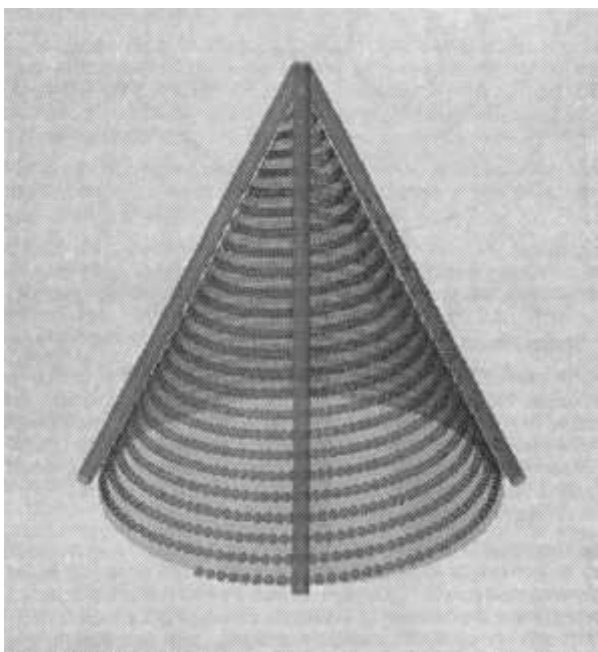


Рисунок 5.4-1. Эфирный вихрь, созданный в пересекающихся линиях угла пирамиды

5.6 Краткое изложение силы формы, сакральной геометрии

То, что в настоящее время считается сакральной геометрией, на самом деле является действием соответствующих физических и энергетических законов природы, многие из которых мы в настоящее время не понимаем. Исторически сложилось так, что то, чего человек не понимает, он приписывает духовному, богам, магии или чему-то еще. С метафизической точки зрения различные энергетические аспекты сакральных геометрий станут известны по мере того, как мы будем углубляться в понимание природы и Вселенной. То, что сейчас является сакральной геометрией, в будущем станет известными законами физики. Это может показаться профаническим взглядом, однако метафизик знает, что вся Вселенная, включая человека, является выражением Творца Вселенной. В этом смысле каждый аспект существования священен. Поэтому попытка приписать святость геометрическим принципам - это шаг назад в решении настоящего вопроса: "Какая физика стоит за различными явлениями, связанными с сакральной геометрией?".

5.7 Список литературы

1. Introduction to Geometry, Н. 8. М. Coxeter, John Wiley & Sons, Inc., Publishers, 1961.
2. Energy: Breakthroughs To New Free Energy Devices. Dan A. Davidson, RIVAS, P.O. Box 1090, Sierra Vista, Arizona 85636, 1977.
3. Mechanics. Heat, and Sound. Francis Weston Sears, Phd., Addison-Wesley Publishing Company, Reading Mass., 1958.
4. The Guide To Pyramid Energy. Bill Kerrel and Kathy Groggin, Pyramid Power V, Inc., 1975.

ГЛАВА 6

СИЛА ФОРМЫ КРИСТАЛЛОВ

В этой главе рассматривается сила формы в применении к кристаллам и кристаллическим структурам.

6.1 Введение

В предыдущих главах была изложена основная теория, согласно которой сходящиеся линии материи создают вихрь в пространстве, который обладает как магнитными, так и электростатическими свойствами. Эти принципы были расширены и показана применимость к основным процессам как энергия пирамиды создается с помощью формы пирамиды и физики, лежащей в основе сакральной геометрии. В этой главе я покажу, как та же физика применима к науке о кристаллах, как с точки зрения физики кристаллографии, так и с точки зрения ее метафизического соответствия использованию кристаллов в качестве средоточий высших энергий для вспомогательных средств в целительстве, медитации и других метафизических практиках.

Кристаллы использовались в качестве драгоценных камней, амулетов и средоточий силы и энергии с древнейших времен. Внутренняя красота, связанная с природными кристаллами, делает их желанными объектами. Сенситивы (т.е. те, кто может чувствовать и/или видеть тонкие энергетические эманации кристаллов) знают, что кристаллы действительно действуют как преобразователи эфирных сил. Те же сходящиеся линии, присутствующие в пирамиде, присущи кристаллическим формам, которые присутствуют в кристаллах от макроуровня вплоть до атомной области. Атомная решетчатая структура кристаллов делает их естественными преобразователями эфирной силы, а их внешняя форма также пригодна для физики силы формы.

6.2 Кристаллическая структура и сила формы

В главе 1 я разработал концепцию, согласно которой сходящиеся линии атомов, такие как ветви деревьев, создают возмущения в эфире. Кроме того, эти замкнутые геометрические линейные структуры, такие как тетраэдр или пирамида, действуют как концентраторы эфирной силы. Конечным результатом этого является создание магнитных и электростатических полей, а также концентрация эфирной энергии.

Кристаллические решетки идеально подходят для концентрации эфирной энергии, так как они представляют повторяющиеся мотивы геометрических линейных структур. Единственное отличие состоит в том, что в предыдущих главах я обсуждал это в терминах макроструктур, а в этой главе мы исследуем структуры на атомном уровне, где атомы формируют основную кристаллическую структуру силы формы. Почти любой тип решетки будет действовать как вместилище эфирных энергий, будь то структура, состоящая из отдельных атомов, образующих решетку на атомном уровне, или стержни материала на макроуровне.

Я также расширю идеи одиночных макрокристаллов до макрорешеток как высокомошных контейнеров силы формы.

6.3 Атомная кристаллография

Кристаллы бывают бесконечно разных форм, размеров, структур и состава. Кристаллография - это изучение кристаллов и свойств, связанных с кристаллами. Существует ряд научных инструментов, используемых для измерения свойств кристаллов.

Рентгеновская кристаллография использует частицы высокой энергии из рентгеновской трубки, сфокусированные на кристалле, для определения его атомной структуры. Рентгеновские лучи показывают, что кристаллы представляют собой регулярные структуры от их макроуровня до атомного уровня. На атомном уровне атомы соединяются в повторяющиеся паттерны, основанные на 5 Платоновых телах¹.

Современные атомно-силовые микроскопы, используемые в кристаллографическом анализе, предоставляют информацию о структуре атомов на атомном уровне. Эти новые микроскопы обеспечивают высокоточные изображения структуры поверхности материалов на атомном уровне.

6.3.1 Платоновы тела

В двумерном пространстве (т.е. плоскости) правильными (т.е. там, где все грани равны) геометрическими фигурами являются треугольники, квадраты, пятиугольники и т.д. Что касается трехмерного пространства, то существует ограниченное количество трехмерных фигур^{1,2}. Если мы попытаемся соединить их вместе, чтобы сделать трехмерные фигуры, тогда мы получим тетраэдр (4 треугольника), куб (4 квадрата), октаэдр (8 треугольников для изготовления двусторонней пирамиды), додекаэдр (6 пятиугольников) и икосаэдр (20 треугольников). Это 5 Платоновых тел. Все кристаллические структуры являются вариациями и комбинациями этих 5 геометрических фигур, и других правильных тел не существует.

6.3.2 Кристаллические структуры

Кристаллы атомарно характеризуются как имеющие "дальний порядок"³. Это означает, попросту говоря, что атомы и молекулы, составляющие кристалл, расположены в определенных паттернах, и они не перемешаны и не беспорядочны. В твердой структуре кристалла каждый атом имеет соседние атомы на определенных расстояниях. Такое упорядочение атомной структуры называется "кристаллическим". Морфология кристаллов - это изучение кристаллических форм, и внешняя наружная форма кристалла называется его "габитус". Кристаллы имеют определенную структуру, что означает, что они имеют характерные атомы, расположенные определенным упорядоченным образом.

Кристаллы имеют определенные повторяющиеся паттерны, называемые "мотивами", и когда эти мотивы регулярно повторяются по всему кристаллу, мы называем это "решетчатой" структурой.

6.3.3 Решетки как контейнеры энергии силы формы

Так что же это означает для кристаллов как генераторов силы формы. Ну, я только что изложил это "... решетка будет действовать как контейнер эфирных энергий ...". Из моего анализа энергии пирамиды я показал, что пирамида действует как контейнер/концентратор эфирной энергии, и, подобно любому контейнеру, она может содержать не так уж и много эфирной энергии, прежде чем она начнет выплескиваться или деформировать контейнер. В случае пирамиды она выплескивается на вершине и в четырех углах основания.

По аналогии, кристаллическая решетка будет собирать и удерживать определенное количество эфирной энергии, и в какой-то момент она начнет выплескиваться наружу. Поскольку кристаллическая решетка очень структурирована, струя будет направленной, и кристалл будет действовать как канал для эфирной энергии. Наиболее вероятные пути её выхода находятся на внешних точках кристалла.

6.3.4 Кристаллы как средства целительной эфирной энергии

При анализе экстрасенсов-целителей и различных типов нью-эйдж (new age) пользователей кристаллов⁴, можно обнаружить, что они используют заостренный конец кристалла, потому что они обнаружили, что именно оттуда исходит целительная энергия. Кристалл действует как сборщик и концентратор эфирной энергии и направляет её поток через острия кристаллов. Концентрация эфирной энергии, направленная на пациента, повышает его энергетический уровень. Повышение энергии помогает организму восстанавливаться, тем самым улучшая процесс оздоровления. Этот же процесс можно использовать на макроуровне, поместив пациента внутрь пирамиды, чтобы повысить его энергетический уровень.

6.4 Макрокристаллография

Самые основные трехмерные тела, тетраэдр и пирамида, повторены на рисунке 6.4-1 из главы 1 и показывают энергию, исходящую из верхней точки. Фокусировка и захват эфирной силы осуществляется эфирными силовыми полями, создаваемыми пересечением граней тетраэдра. Также, пирамида с квадратным основанием действует аналогичным образом, захватывая энергию внутри структуры. В этих двух структурах энергия сосредоточена в геометрическом центре, на уровне $1/3$ высоты, а также в вершинах, где пересекаются грани.

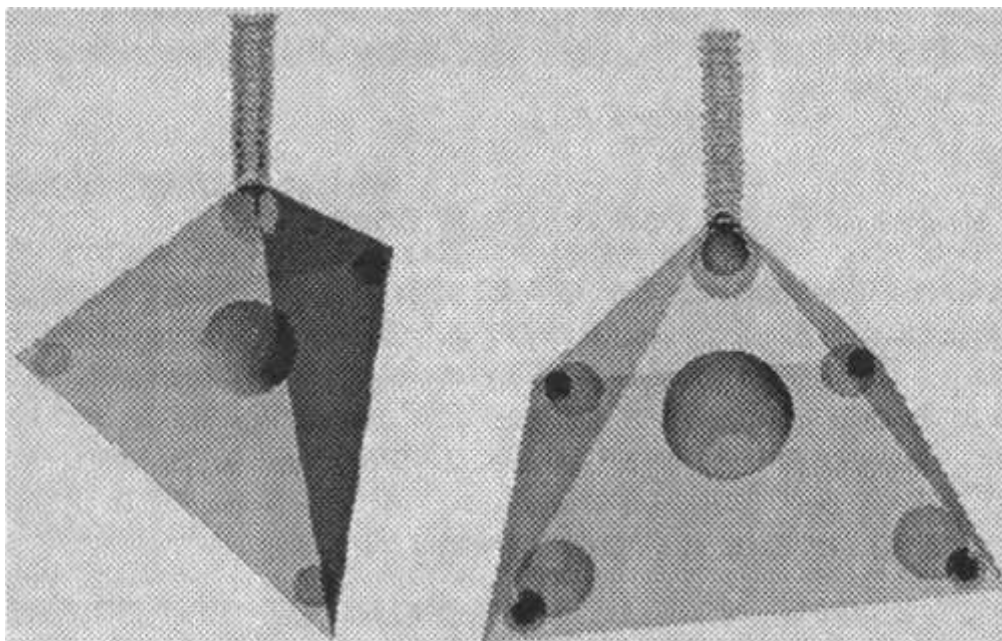


Рисунок 6.4-1 Собираение энергии тетраэдром и пирамидой

6.4.1 Макрорешетчатые структуры

Итак, что произойдет, если мы сделаем решетку, используя пирамиду как мотив? Это было сделано, и были обнаружены некоторые очень интересные эффекты. Восемь пирамид были расположены в два ряда друг за другом (см. рис. 6.4.1-1). Энергетические паттерны от этой решетки являются стандартными энергиями, исходящими из вершины каждой пирамиды, однако они больше, чем от одной пирамиды. По-видимому, происходит усиление энергии от вершин пирамид, когда они находятся в решетке. Кроме того, энергия, которая обычно течет вверх по граням пирамид, кажется, больше сосредоточена в каналах между пирамидами.

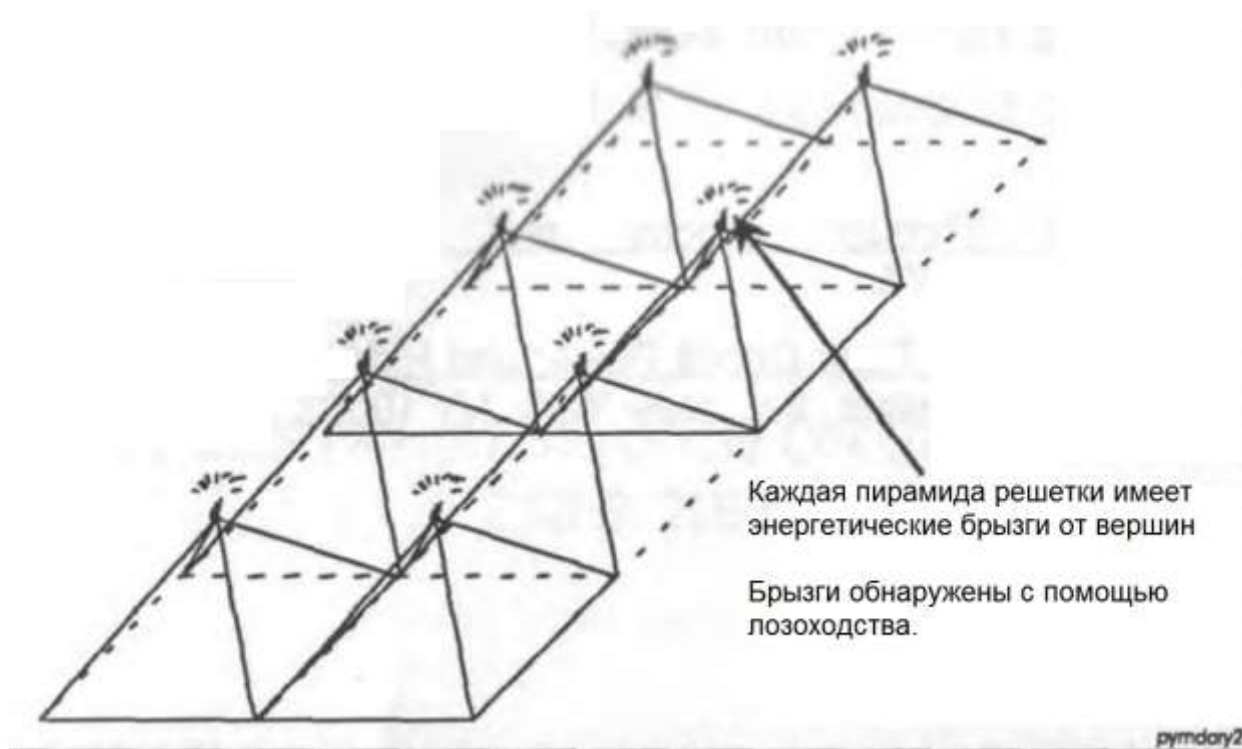


Рисунок 6.4-1 Массив пирамид создает новый энергетический паттерн

Исследование пирамиды получило серьезный импульс, когда Карл Дрбал (Carl Drbal) получил свой патент на пирамиду для заточки бритвенного лезвия, основанный на теории о том, что пирамида действует как микроволновый резонатор. Располагая пирамиды в массиве, возможно, они начинают действовать как микроволновые волноводы или резонатор макроуровня для большего привлечения эфирной силы. Они, безусловно, имеют большее поперечное сечение для улавливания энергии.

6.5 Краткое изложение кристаллов как коллекторов силы формы

Были исследованы эффекты эфирной энергии отдельных кристаллов, и было показано, что они соответствуют ожидаемым эффектам от сингулярных геометрических структур, умноженных на количество мотивов, повторяющихся по всему кристаллу. Объединение кристаллов в решетчатую структуру показывает, что кристаллическая решетка действует как вместилище эфирной силы. Таким образом, энергия кристалла может быть использована для целительства и других практик.

Это еще одна область, в которой нам предстоит провести еще много исследований. Вероятно, наиболее продуктивными будут исследования в области макрорешеточных структур. Мы, конечно, собрали лишь самую скудную информацию по этой увлекательной теме.

6.6 Список литературы

1. Mathematical Crystallography and the Theory of Groups of Movements. Harold Hilton. Dover Publications, Inc., New York, 1963
2. Introduction to Geometry. H. S. M Coxter, John Willey and Sons, Inc., 1961.
3. Knowledge Through Rocks and Minerals. Joel Arem, Bantam Books, 1973.
4. Precious Stones. Their Occult Power and Hidden Significance. W. B. Crow, Samuel Weiser, Inc., New York, NY 10003, 1968.

ГЛАВА 7

ЭКСПЕРИМЕНТАЛЬНОЕ ИССЛЕДОВАНИЕ ЭНЕРГИЙ СИЛЫ ФОРМЫ

В этой главе обсуждаются некоторые увлекательные эксперименты, связанные с исследованием силы формы.

7.1 Детекторы гравитационной энергии

Очевидно, что чем больше масса, тем больше эфира поступает в атомную структуру массы для поддержания атомной структуры. Масса одновременно излучает и поглощает эфирную энергию. Другая масса поблизости будет вызывать возмущения в этом эфирном потоке. Благодаря этому факту детекторы эфирного потока могут быть сконструированы с использованием этого принципа. Мой первый рабочий гравитационный или локальный детектор эфирного напряжения/потока был продемонстрирован на чрезвычайной научной конференции 1990 года в Колорадо-Спрингс, штат Колорадо^{1,2}.

7.1.1 Определение гравитационного напряжения с использованием диэлектриков

Основной принцип гравитационного детектора заключается в том, что электронный заряд структуры данной массы является функцией количества эфира, втекающего в массу. Заряд вокруг атома зависит от количества эфира, текущего в массу и из нее. Я рассуждал, что диэлектрики могли бы стать лучшим детектором эфирного потока. В диэлектриках электронный заряд изолирован и удерживается внутри диэлектрического материала, поскольку заряд не может течь и рассеиваться. Первые успехи были достигнуты Таунсендом Брауном (Townsend Brown)⁴ (около 1959 года) и Джерри Галлимором (Jerry Gallimore)³ (около 1975 года) в использовании диэлектрических материалов для обнаружения локального гравитационного эффекта.

При использовании высокого диэлектрика, такого как цирконат титаната или титанат бария, величина изменения заряда непосредственно считывается путем размещения электродов на каждом полюсе поляризованного диэлектрика. Моя первая схема детектора¹ использовала пикоусилитель, прикрепленный к электродам, для усиления сигнала. Тогда изменения напряжения/тока через диэлектрик легко измеряются непосредственно вольтметром. На рисунке 7.1.1-1 показан выходной сигнал схемы гравитационного детектора в виде графика локального гравитационного напряжения (т.е. эфирного напряжения). На графике хорошо видны ежедневные колебания эфирного потока на диэлектрическом материале, поскольку Солнце и Луна влияют на гравитационное поле Земли и гравитационные потоки в Земле. Данные были получены во время солнечного затмения и показывают эффект локального снижения напряжения эфирного поля в период затмения. Солнечное затмение началось около 11:35 и закончилось около 12:45.

Датчик гравитационного эфирного напряжения (Данные солнечного затмения 11 июля 1991 года)



Рисунок 7.1.1-1 Пьезоэлектрический датчик гравитационных волн во время солнечного затмения (время указано в десятичных долях часа)

Схема детектора гравитационных волн показана на рисунке 7.1.1-2, инструкция по сборке схемы приведена ниже. Подробная схема показана на рисунке 7.1.1-3.

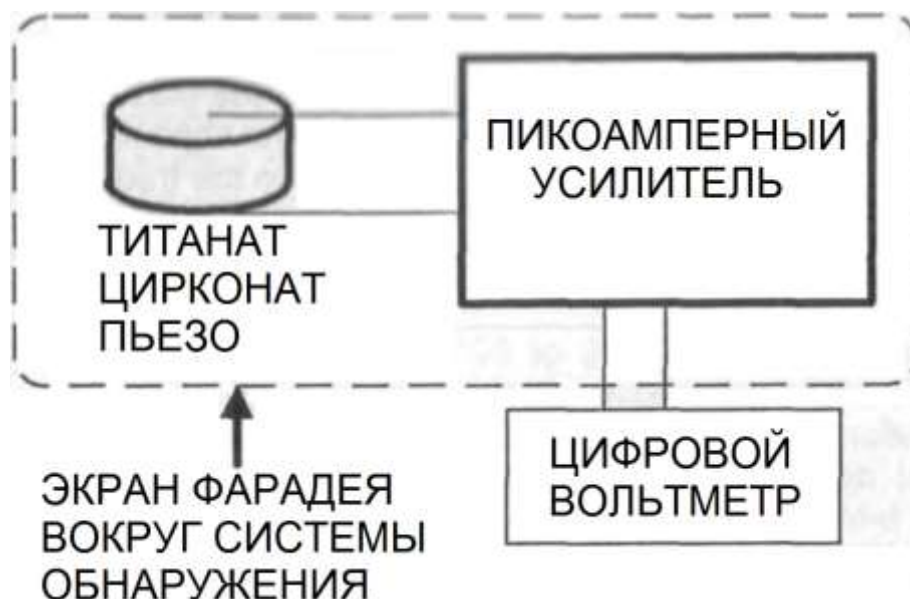


Рисунок 7.1.1-2 Блок-схема детектора гравитационных волн Дэвидсона (Davidson)

1. Припаяйте тонкие (№ 28 или меньше) провода к полюсам пьезокерамики для подключения к операционному усилителю или установите пьезоэлемент в обработанный тефлоновый корпус с медными электродами, прижатыми к проводящим полюсам пьезоэлемента. Используйте проводящую пасту для обеспечения соединения.

2. Ударным способом установите пьезоэлемент, чтобы изолировать его от звуковых и физических колебаний.

3. Операционный усилитель (AD 515) должен быть изолирован от паразитных электростатических полей. Кроме того, для гарантированного успеха следует выполнять качественный монтаж электропроводки. Добавление других компонентов в схему приведет к отказу датчика. Например, добавление любых конденсаторов будет действовать как источники шума, которые убьют пьезоэффекты.

4. Источником питания может быть 9-вольтовая транзисторная батарея.

5. Весь датчик можно изолировать от электромагнитных полей путем установки схемы и датчика в экран типа Фарадея. Дополнительное экранирование может быть выполнено с помощью металлического (магнитного) экранирования.

6. Изолируйте датчик от света, установив его в светонепроницаемый корпус. Возможно, удастся объединить экран Фарадея со светозащитным экраном.

7. Для считывания выходного сигнала через контакт 6 и заземление можно использовать стандартный цифровой вольтметр.

8. Откалибруйте датчик по температуре, измеряя температуру датчика в течение нескольких дней вместе с выходным сигналом датчика, и отбросьте температурные эффекты, используя хорошо известные методы статистического анализа.

Улучшенные схемы также могут быть построены путем подключения пьезоэлемента в схему таймера 555. Используйте пьезоэлемент как конденсаторный контроллер частоты в схеме. Напряжение в эфирном поле будет пропорционально выходной частоте таймера 555.

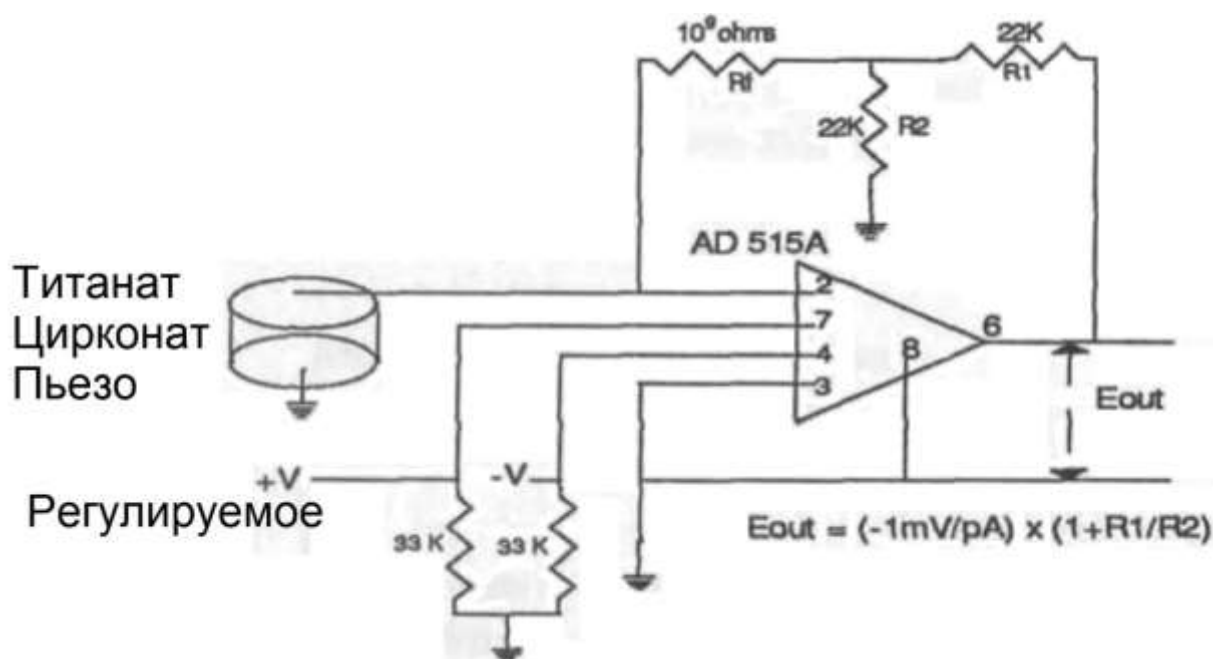


Рисунок 7.1.1-3 Схема детектора гравитационных волн Дэвидсона

Грег Ходованек (Greg Hodowanec) провел несколько экспериментов⁵ в 1986 году и заявил об успехе в обнаружении эфирных энергий. Его идеи не имели никакого отношения ни к Галлимору (Gallimore), ни к Т. Брауну (T. Brown), и, возможно, он не знал о них. Ходованек использовал обычный конденсатор в качестве детектора и операционный усилитель для усиления изменения емкости, происходящего в конденсаторе. В настоящее время существуют разногласия относительно того, коррелируют ли данные Ходованека с какими-либо известными явлениями. Детектор Ходованека должен был, по крайней мере, отслеживать ежедневные эфирные изменения из-за эффектов, производимых солнцем и луной, но его данные этого не показывают. Мои эксперименты с его детектором показали, что он очень чувствителен к изменениям температуры, и вполне возможно, что опубликованные им данные были температурными эффектами.

7.1.2 Ничего не делающая катушка

Обсуждая свои результаты гравитационных энергий (т.е. напряженных эфирных потоков) с коллегой-исследователем гравитации Джо Парром (Joe Parr), он упомянул, что у него были похожие результаты с диэлектриками (т.е. они работали, но были чувствительны к температуре и свету) и обнаружил лучший детектор для определенных условий. Джо случайно обнаружил "ничего не делающую катушку", которая оказалась детектором эфирного напряжения. Это была странная катушка, которую он обозвал "ничего не делающая катушка" (DNC). DNC обнаруживала эфирный гравитационный поток без надоедливых температурных, фотонных и звуковых шумовых эффектов. Джо назвал катушку "ничего не делающая", потому что она не реагировала каким-либо существенным образом на магнитные или электрические сигналы от постоянного тока до примерно 300 ГГц. Случайно он обнаружил, что сопротивление катушки изменялось в течение 24 часов. Удивительная вещь, которую он обнаружил, заключалась в том, что катушка DNC меняла сопротивление только тогда, когда датчик гравитационного колеса, который будет обсуждаться в разделе 7.2, находился в крайнем нулевом периоде с небольшой активностью.

Катушка DNC состоит примерно из 4000-20000 витков медного провода № 34, намотанного на пластиковый обруч. В моем дублировании катушки DNC я взял обруч Хула Хуп (Hula Hoop) и разрезал его, удалил пластиковые бусины, создающие шум и укоротил длину трубки, чтобы получилась пластиковая петля диаметром 19 дюймов (т.е. от центра тороида с одной стороны до центра тороида с другой стороны). Чтобы намотать катушку, я положил форму катушки, провод и изоляцию на кофейный столик перед телевизором, и всякий раз, когда я смотрел телевизор, я наматывал пару сотен витков на петлю и покрывал витки провода черной изоляцией, чтобы удерживать катушку на месте. Через пару месяцев я, наконец, намотал катушку DNC. В итоге получилось чуть больше 8000 витков. На концах катушки я установил BNC-коннектор, чтобы получить готовую DNC.

На рисунке 7.1.2-1 показаны результаты данных за несколько дней, полученные с помощью катушки DNC. На графике четко показаны ежедневные изменения сопротивления. Изменение сопротивления является прямым считыванием локальных изменений напряжения эфирного потока. Сопротивление в катушке изменяется потому, что электронный заряд атомной решетки в металле провода изменяется по мере того, как больше или меньше эфира течет в ядрах атомов катушки, тем самым изменяется проводимость провода, потому что в проводе создается больше или меньше электронов из-за изменения эфирного напряжения. В течение 24-часового периода солнце, луна, планеты, а также звезды создают различные уровни напряжения в эфирном поле Земли, что напрямую влияет на скорость эфирного потока в ядрах.

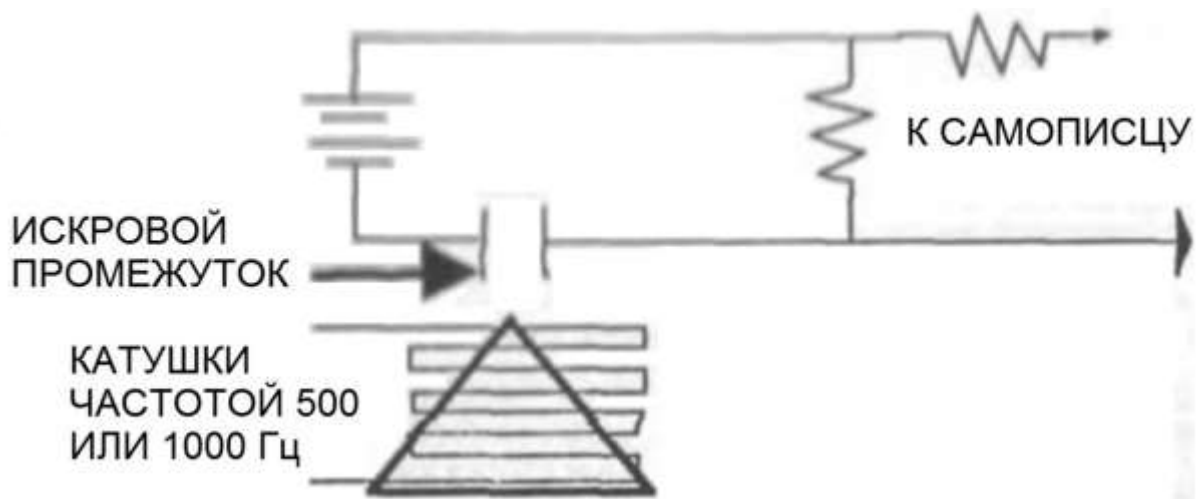


Рисунок 7.2.1-1 Ранняя установка сбора данных Джо Парра

В ходе экспериментов по преобразованию энергии в пирамиде, как показано на рисунке 7.2.1-1, Джо обнаружил, что пирамиды время от времени перестают реагировать, и у него не было объяснения, почему. Однако он обнаружил корреляцию между небесными событиями и своими экспериментами. Похоже, что активность солнечных пятен влияет на интенсивность энергетического пузыря пирамиды.

Датчик гравитационной энергии, который открыл Джо Парр, включает Великую пирамиду и пирамидальные формы в целом. Этот датчик использует статическую (т.е. неподвижную) пирамиду, выровненную по линии север-юг/восток-запад. Плоские катушки, намотанные на аудио катушки, были размещены на северной и южной сторонах пирамиды. Искровой промежуток, изготовленный из пробитого конденсатора емкостью 1 микрофард, был размещен на вершине пирамиды последовательно с батареей, резистором и самописцем. Самописец регистрировал ежедневные изменения энергий вокруг пирамиды.

Самописец регистрировал состояние энергетического пузыря, который окружал пирамиду. Энергетический пузырь со временем приобрел различные уровни непрозрачности для всех типов излучения. Эксперименты, поставленные с использованием радиочастотных излучателей, радиоактивных источников, в частности бета- и гамма-излучателей, магнитных источников и источников ионов, все показали ослабление излучений в энергетическом пузыре, окружающем пирамиду. Интенсивные исследования в течение 13 лет показали, что пузырь может быть запитан отрицательными ионами, и это усилит непрозрачность пузыря. В определенное время года энергетический пузырь полностью блокировал гравитационную силу, ядерное излучение и электромагнитное излучение. Другой эффект показал, что пирамида, по-видимому, резонирует на частотах 500 и 1000 Гц. Это означает, что энергетический пузырь или силовое поле вокруг пирамиды становится полностью непрозрачным (т.е. непроводящим) для всех известных сил.

7.2.2 ES генерация динамической пирамиды

Одно время в течение 11-летнего цикла солнечных пятен датчик статической пирамиды вышел из строя и перестал предоставлять данные. Чтобы найти другой метод продолжения исследования, было решено, что движущийся датчик, возможно, может продолжать предоставлять данные. Джо построил сложную экспериментальную установку, которую он назвал "центрифуга". Центрифуга "пирамидальный двигатель" показан на рисунке 7.2.2-1.



Рисунок 7.2.2-1 Пирамидальная центрифуга Джо Парра

Обширные эксперименты с центрифугой позволили получить дополнительные данные об энергетическом пузыре пирамиды. Положительные ионы в центрифуге заставили бы пирамиду притягиваться к полярности Луны. Отрицательные ионы в центрифуге заставили бы пирамиду отталкиваться от Луны. В определенное время года (примерно 8-15 декабря и 8-15 мая) энергетический пузырь вокруг пирамид в центрифуге становился полностью непрозрачным для всех локальных гравитационных, электромагнитных и инерционных сил. Когда это происходило, маленькие пирамидки с основанием в один дюйм оторвались бы от конца рычага центрифуги, нанося значительный ущерб внутренней части центрифуги. Детальный анализ количества энергии, необходимого для отрыва пирамиды от эпоксидного крепления, показал, что пирамида весом 8 граммов обладает силой примерно в 2000 фунтов (т.е. увеличение кинетической энергии в 113000 раз). Предполагается, что пирамида переходит в другое пространственно-временное состояние, которое Джо назвал гиперпространством, когда пирамида находится в переменном магнитном поле. Когда пирамида выходит из переменного магнитного поля центрифуги, пирамида выходит из h -пространства с огромным количеством дополнительной энергии.

Эксперименты с центрифугой работали также, как и со статической пирамидой, поскольку размещение радиочастотных источников, радиоактивных источников, магнитных источников и источников ионов внутри пирамиды показало, что энергия источников энергии ослаблялась, когда они находились в энергетическом пузыре пирамиды.

Этот метод основан на пирамидах, смонтированных на внешней стороне быстро вращающегося ротора. Е-поле, перпендикулярное ротору, выровнено с осью ротора. Магнитное поле выровнено перпендикулярно оси ротора. Таким образом, когда ротор вращается, пирамиды не только создают и разрушают Е-поле, но и имеют переменное магнитное поле под прямым углом к Е-полю.

Анализ выявил детали в отношении выравнивания магнитного поля с пирамидами. Если магниты покрывают всю ширину ротора, то электростатическое поле генерируется в одном направлении по одну сторону от оси ротора и в противоположном направлении по другую сторону оси. Вопрос в том, сведет ли это к нулю эффект генерации энергии или это не имеет никакого значения, поскольку электроны есть электроны???

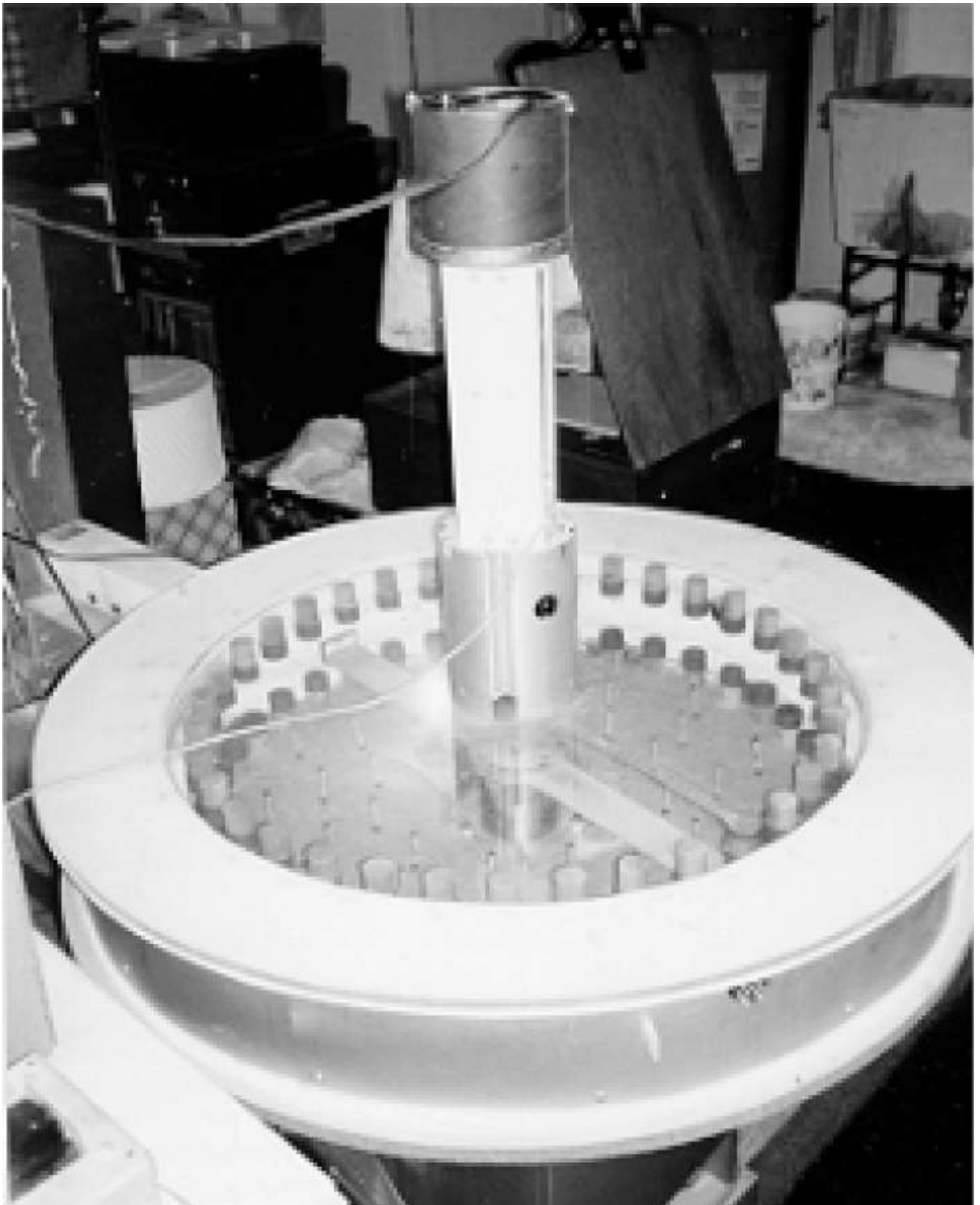


Рисунок 7.2.2-2 Фотография пирамидальной центрифуги Джо Парра

7.2.3 Джо Парр - эксперименты с гравитационным колесом

Исследование центрифуги привело Джо к гипотезе, что, возможно, трехмерная пирамида не была абсолютно необходимой. Был разработан новый эксперимент, в котором большая центрифуга была заменена небольшим специально разработанным колесом, установленным на валу и приводимым в движение небольшим высокоскоростным двигателем.

Затем он разработал более простой динамический эксперимент, связанный с центрифугой, с гораздо более простым устройством для проведения экспериментов. Эта экспериментальная установка показана на рисунке 7.2.3-1. Это четырехдюймовое колесо изготовлено из материала печатной платы с 24 треугольниками в форме грани Великой пирамиды по окружности колеса. Треугольники расположены друг напротив друга по обе стороны колеса. Колесо, которое я назвал гравитационным колесом, вращается между двумя статорами с керамическими магнитами с низким гауссом (по 100 гаусс каждый), которые расположены так, чтобы край магнита выстраивался в линию с $1/3$ высоты треугольников. Электростатический генератор ионов расположен рядом с экспериментом для подачи ионов в эксперимент. Гравитационные пузыри или силовые поля образуются вокруг каждого из треугольников, когда колесо вращается на высоких скоростях. Генератор ионов не показан на рисунке 7.2.3-1. Фотографии эксперимента Джо с гравитационным колесом показаны на рисунках 7.2.3-2 и 7.2.3-3.

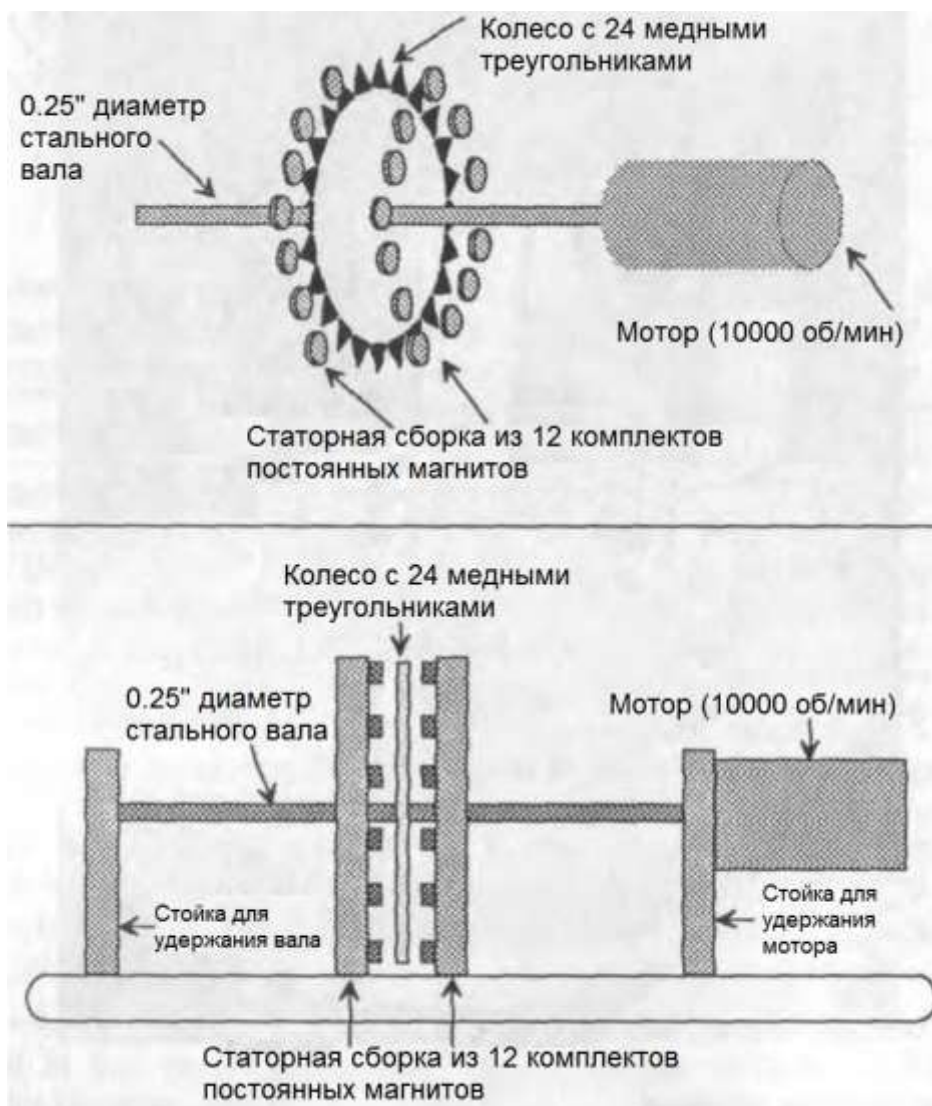


Рисунок 7.2.3-1 Ротор, использующий треугольники в качестве коллектора силы формы

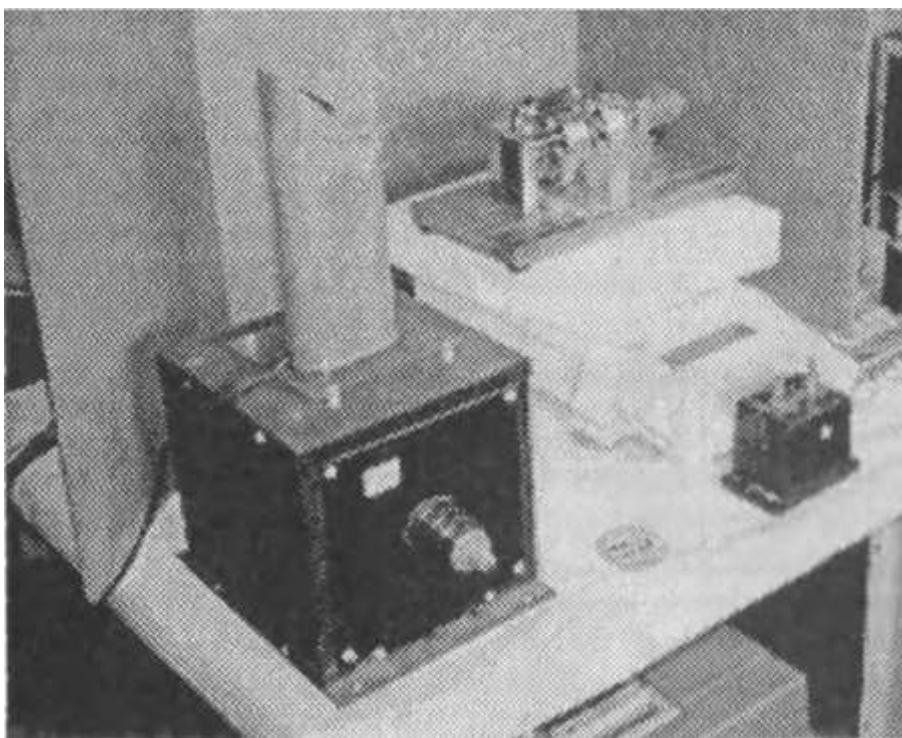


Рисунок 7.2.3-2 Эксперимент с гравитационным колесом Джо Парра

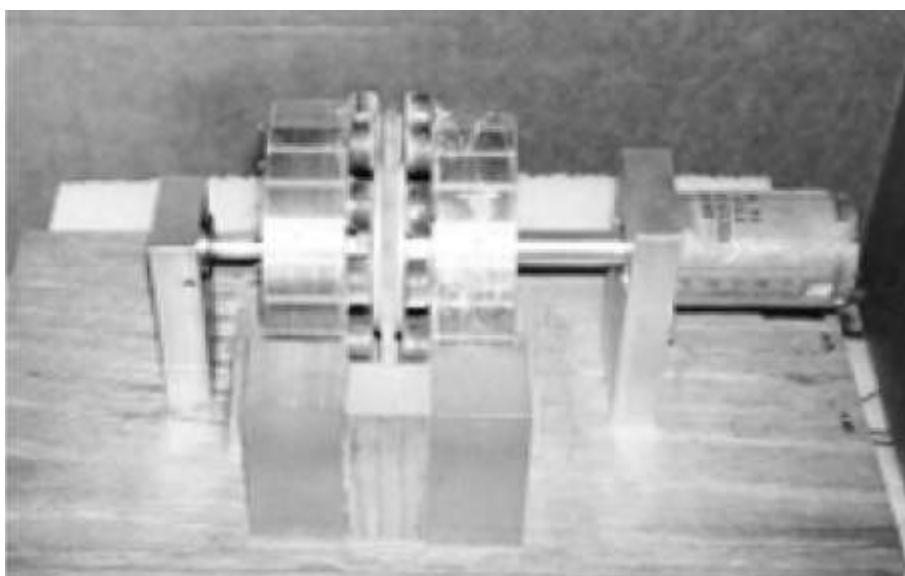


Рисунок 7.2.3-3 Эксперимент с гравитационным колесом Джо Парра крупным планом

7.2.4 Силовые поля эксперимента с гравитационным колесом

Эксперименты Парра выявили силовые поля, созданные в ходе эксперимента с вращающимся гравитационным колесом, отображенные на рисунке 7.2.4-1. В эксперименте и вокруг него созданы два типа силовых полей. Вокруг каждого из медных треугольников имеется силовое поле яйцевидной формы. Когда эти небольшие силовые поля нарастают по интенсивности, они вызывают значительное замедление двигателя, которое отчетливо слышно в лаборатории. Существует и большое силовое поле, которое формируется вокруг всей экспериментальной установки. Тесты, проведенные Джо Парром с использованием специальных приборов и лозоходца, плюс независимые тесты автора с ясновидящим и ясночувствующим, все подтверждают большое силовое поле вокруг экспериментальной установки и малые силовые поля вокруг каждого из треугольников.

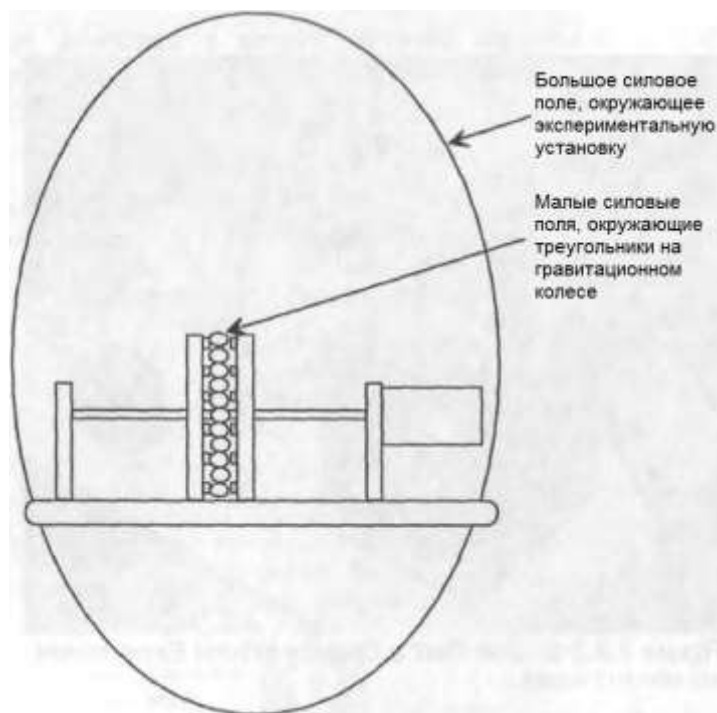


Рисунок 7.2.4-1. Овальное силовое поле вокруг эксперимента с гравитационным колесом и небольшими энергетическими пузырьками, окружающими каждый из треугольников гравитационного колеса

Джо обнаружил, что Земля движется по энергетическим каналам, которые идут от нашего солнца к другим планетам и звездным системам.

Когда эксперимент с гравитационным колесом пересекает один из этих энергетических каналов, силовое поле вокруг медных треугольников усиливается до такой степени, что пузырь становится непрозрачным для всех локальных сил и начинает очень быстро двигаться вниз по каналу, и происходит нарушение масштаба. Попытки смоделировать энергетический канал до сих пор не увенчались успехом. Мы находимся в процессе оценки данных и обнаружили некоторую корреляцию с планетарными и звездными сочетаниями, когда земля выровнена с другими планетами или звездами и нашим солнцем. Анализ данных в настоящее время находится в зачаточном состоянии, но мы получаем некоторые очень впечатляющие гравитационные эффекты.

7.3 Повторение экспериментов с гравитационным колесом

Автор следил за экспериментами Джо Парра в течение нескольких лет; и после того, как Джо добился некоторого первоначального успеха с новой экспериментальной установкой, автор с помощью Джо Парра построил дубликат эксперимента.

7.3.1 Гравитационное колесо - экспериментальная установка и результаты

Потребовалось несколько месяцев, чтобы моя версия эксперимента успешно заработала. Настройка включала в себя правильную ориентацию экспериментальной установки и правильное заземление. Вал должен быть ориентирован на восток-запад. Источник отрицательных ионов установлен в нескольких футах от вращающегося колеса, чтобы питать силовые поля, которые формируются вокруг медных треугольников, прикрепленных к гравитационному колесу. Эксперимент установлен на тонких весах, которые измеряются с точностью до 0,5 грамма. Статический вес моей экспериментальной установки составляет около 1200 грамм. В версии Джо Парра - около 1800 граммов. В моем эксперименте использовалась обработанная кленовая древесина для закрепления мотора и вала, а опоры, на которых закреплены магниты в эксперименте Парра, были сделаны из

обработанного алюминия. Фотография моего эксперимента с гравитационным колесом показана на рисунке 7.3.1-1.

Основное различие между моей версией эксперимента с гравитационным колесом и версией Джо состоит в том, что у Джо перегорает мотор почти на каждом канале, а у меня нет. Очевидно, взаимодействие силового поля с алюминиевыми стойками в версии Джо вызывает достаточное сопротивление, чтобы сжечь мотор.

Во время экспериментальных операций вес эксперимента может упасть от 0 до -6,5 грамм. Если учесть, что гравитационное колесо с медными треугольниками весит около 12 грамм, общий нормальный рабочий эффект левитации составляет порядка 50% потери веса. Это само по себе является замечательным экспериментальным эффектом и заслуживает пристального внимания.

Весы, используемые в эксперименте Ohaus Precision Plus, купленные у Коула Пармера (Cole Parmer). Весы могут измерять с точностью до 0,5 грамма в диапазоне 0-4000 грамм. Весы имеют последовательный интерфейс RS-232, который позволяет подключать весы к принтеру или компьютеру. Весы выводят вес непрерывно, за исключением случаев, когда происходит сбой весов. Сбой веса может варьироваться, и он был установлен на уровне не более 5 грамм. Это означает, что если вес на весах изменяется более чем на 5 грамм в течение пары миллисекунд, то интерфейс RS-232 перестает выводить вес, измеренный весами.

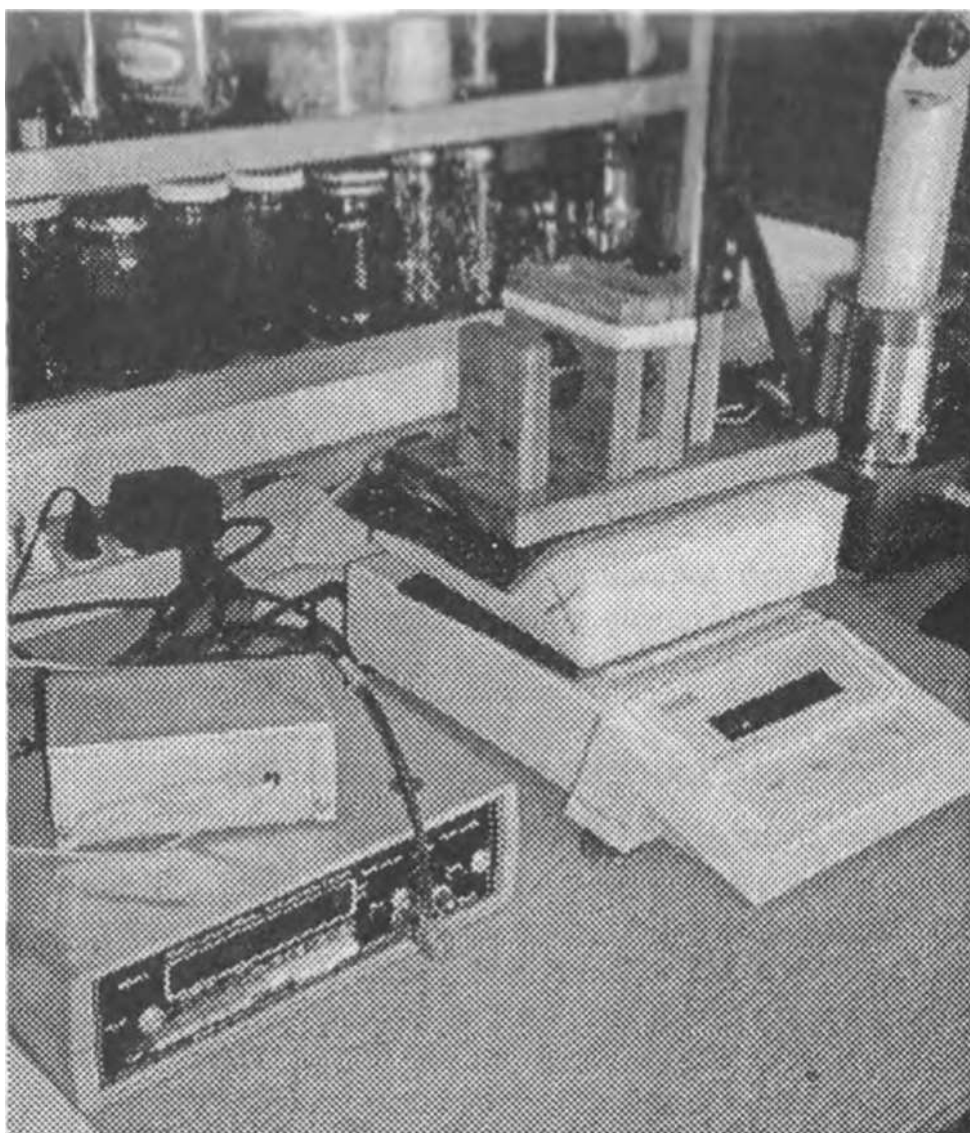


Рисунок 7.3.1-1 Эксперимент с гравитационным колесом Дэна Дэвидсона

Предварительно мое подключение весов было к компьютеру; однако интенсивное силовое поле, которое создается вокруг эксперимента, уничтожило две компьютерные интерфейсные платы. Поскольку интерфейс RS-232 прекращает вывод данных при сбое весов, последовательный вывод весов был преобразован в уровень напряжения и использован в качестве индикатора. Когда напряжение падало, происходил сбой весов. Изменение уровня напряжения было/есть сопряжено со счетчиком импульсов. Это обеспечивает подсчет сбоя весов, превышающих 5 грамм. Рисунок 7.3.1-3 представляет собой график сбоя весов во времени. Здесь показано количество случаев, когда гравитационное колесо меняло вес более чем на 5 грамм. Если потеря веса в 6,5 грамм добавляется к потере веса в 5 граммов, мы наблюдаем почти 100%-ную потерю веса гравитационного колеса. И в эксперименте с гравитационным колесом Джо Парра, и в моем 11 апреля 1996 года был получен один и тот же межзвездный канал.

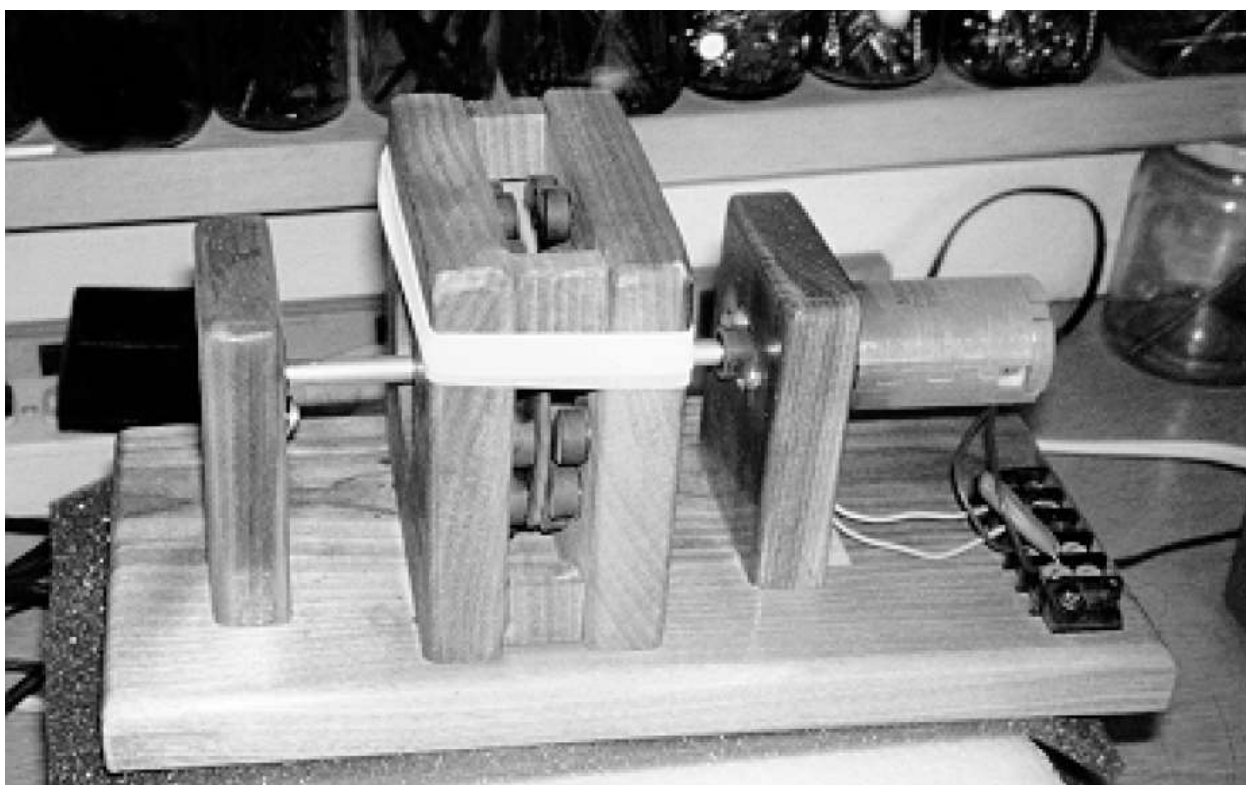


Рисунок 7.3.1-2 Эксперимент с гравитационным колесом Дэна Дэвидсона крупным планом

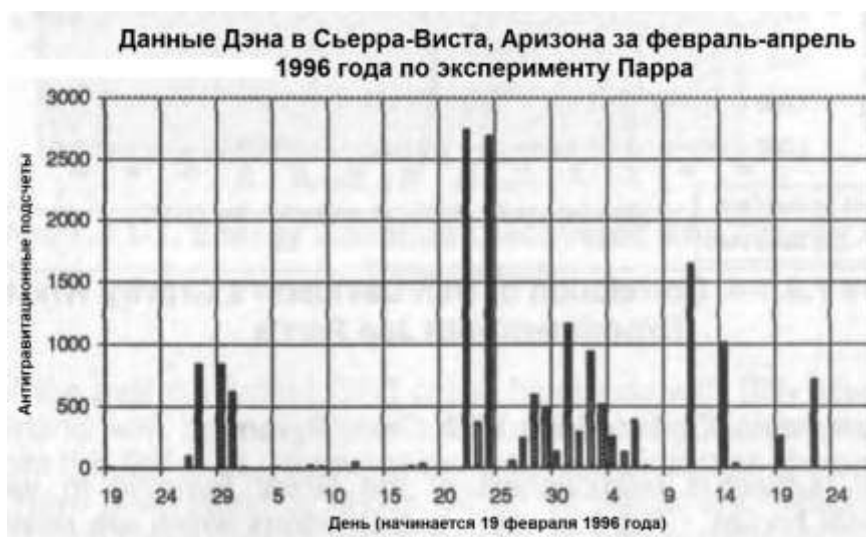


Рисунок 7.3.1-3 Данные Дэна Дэвидсона по эксперименту с гравитационным колесом

Летом 1996 года мы провели калибровку моего эксперимента путем сравнения с экспериментом Джо, проводимым в Калифорнии. Оказалось, что магниты, которые я использовал, были слишком сильными. Мои магниты были заменены на те, которые составляют примерно 100 гаусс каждый. Похоже, если магниты слишком сильны, они блокируют сигнал энергетического канала, и чувствительность устройства резко падает. Это объясняет, почему на данном канале эксперимент Джо получал 200000 с лишним сбоев весов, а моя экспериментальная установка получила только около 1500 сбоев.

В новом наборе экспериментов, где мой новый датчик был откалиброван так, чтобы действовать так же, как у Джо, оба наших эксперимента обнаружили одни и те же энергетические каналы. Это проиллюстрировано на рисунке 7.3.1-4. Джо Парр находился на Западном побережье, а мой эксперимент в Аризоне. Оба эксперимента зафиксировали одни и те же большие энергетические каналы 12-14 декабря 1996 года и еще один канал 3-5 января 1997 года. В течение этих двух периодов каналов я получал кратковременные потери веса порядка 30-64 грамм. Это означает, что гравитационное колесо получало отрицательный вес, показывая общую потерю веса до 533%. Мы с Джо считаем, что эти эксперименты означают, что у нас есть зародышевая основа для настоящего космического двигателя.

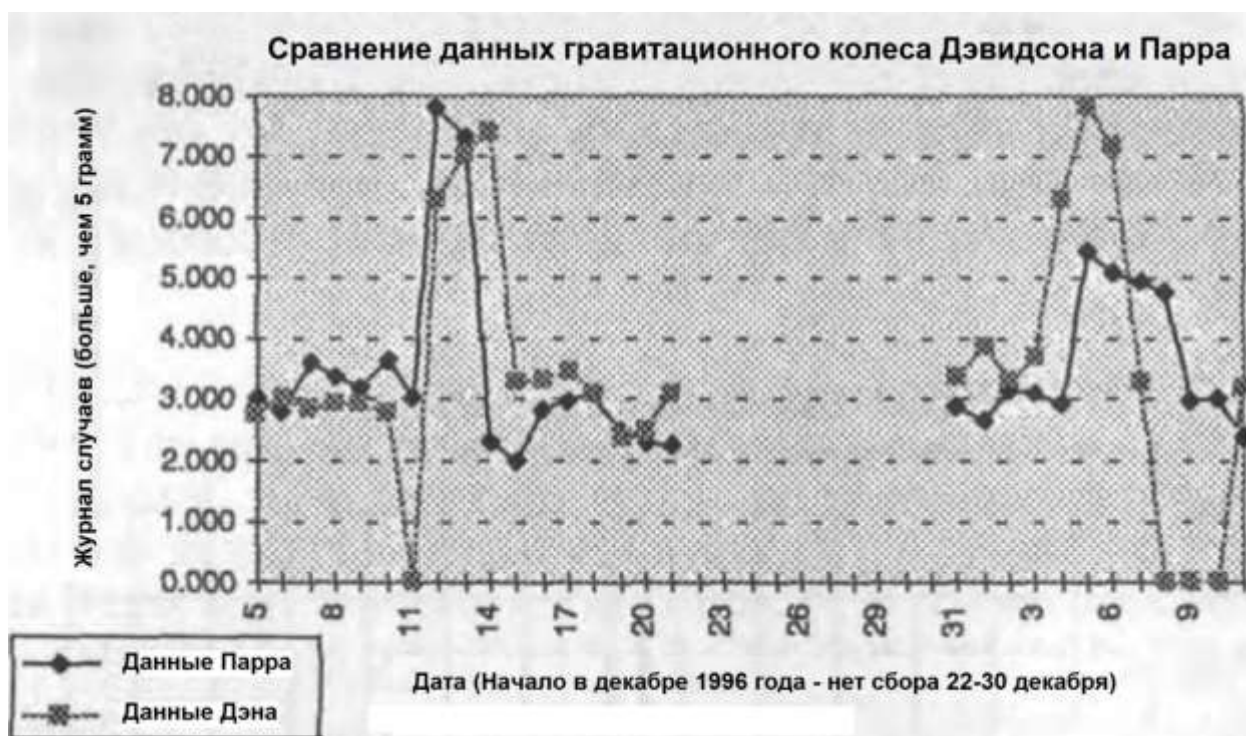


Рисунок 7.3.1-4. Сравнение эксперимента с гравитационным колесом Дэна Дэвидсона с экспериментом Джо Парра

7.4 Астрономические корреляции с Великой пирамидой

Существует множество взаимосвязей Великой пирамиды с различными астрономическими телами. Два основных созвездия, которые соотносятся с пирамидой, - это Телец (бык) и Орион (охотник). Оба этих созвездия находятся в одной и той же части неба. Телец расположен чуть выше Ориона.

7.4.1 Взаимосвязь Тельца и Плеяд

Звезда Альциона в созвездии Тельца отмечает дату основания (т.е., начала строительства Великой пирамиды) Великой пирамиды⁶. Альциона - одна из самых ярких

звезд Плеяд, которые входят в созвездие Тельца. На восходящем проходе в Великой пирамиде есть линия счисления, которая указывала на Альциону в 2144 году до нашей эры. Альциона находится на одной линии с Солнцем и прямо над ним и Землей в течение мая месяца. Рисунок 7.4.1-1, на котором изображены основные энергетические каналы, показывает канал 2 мая. На графике не показан канал прошлого года 27 мая, который также взаимосвязан с Альционной.

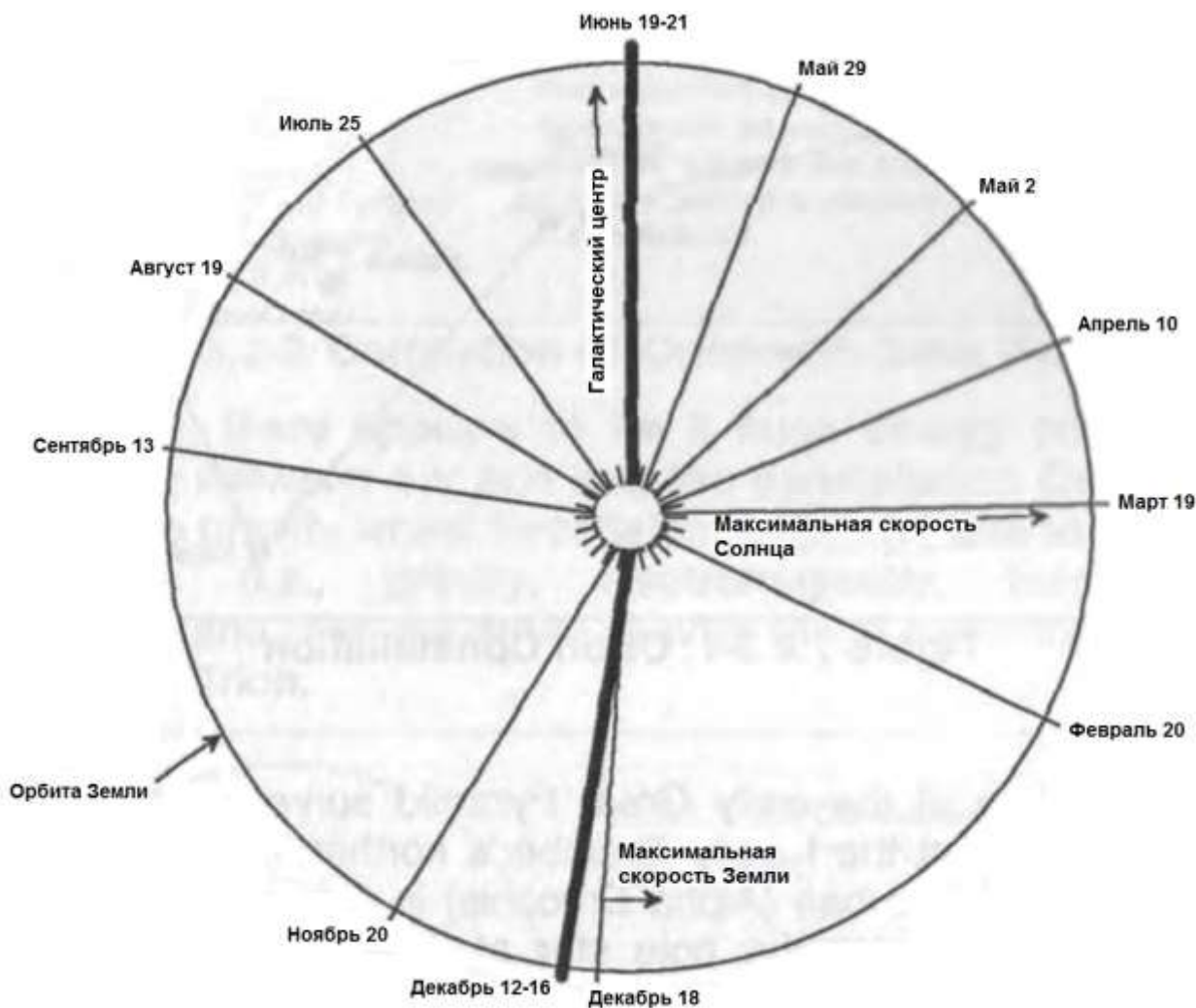


Рисунок 7.4.1-1 Энергетические каналы, открытые в эксперименте с гравитационным колесом

Один из наиболее подтвержденных случаев НЛО связан с Билли Майерсом (Billy Myers) из Швейцарии, который утверждает, что с ним контактировали инопланетяне, прилетевшие с Плеяд. Майерс сделал несколько наиболее аутентичных фотографий НЛО, которые, по его утверждению, являются плеядианскими лучевыми кораблями. Могли ли эти лучевые корабли перемещаться по энергетическим каналам, открытым Джо Парром?

7.4.2 Связь с Орионом

Большой канал в середине декабря, показанный на рисунке 7.4.1-1, и в первую неделю января указывает на другую важную связь между Великой пирамидой и созвездием Ориона (см. рисунок 7.4.2-1).

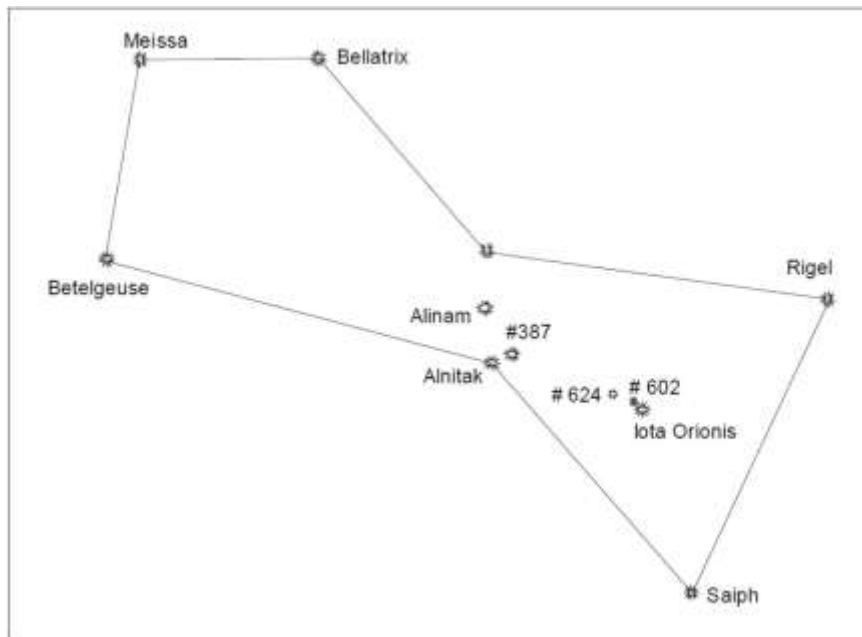


Рисунок 7.4.2-1 Созвездие Ориона

Исследование, проведенное одним из первых изыскателей Великой пирамиды, сэром Флиндерсом Петри (Flinders Petrie), показало, что северный воздуховод камеры Царя обычно указывал на звезду Тубан (Альфа Дракона) в созвездии Драко (дракон), которая была полярной звездой во время создания пирамиды, а южный воздуховод указывал на одну из звезд в поясе созвездия Ориона около 2600 г. до н.э.

Более точные современные измерения⁷ показали также, что северный и южный воздуховоды камеры Царя и южный воздуховод камеры царицы датируют пирамиду 2450 годом до нашей эры. Подробности этого открытия Бьювала (Bauval) показаны на рисунке 7.4.2-2.

Интересно отметить, что земля выстраивается в линию с солнцем и тремя звездами в поясе Ориона примерно 13-15 декабря каждого года. В первую неделю этого 1997 года на восходе и закате солнце было выровнено с тремя звездами в поясе Ориона и с осью гравитационного колеса в эксперименте.

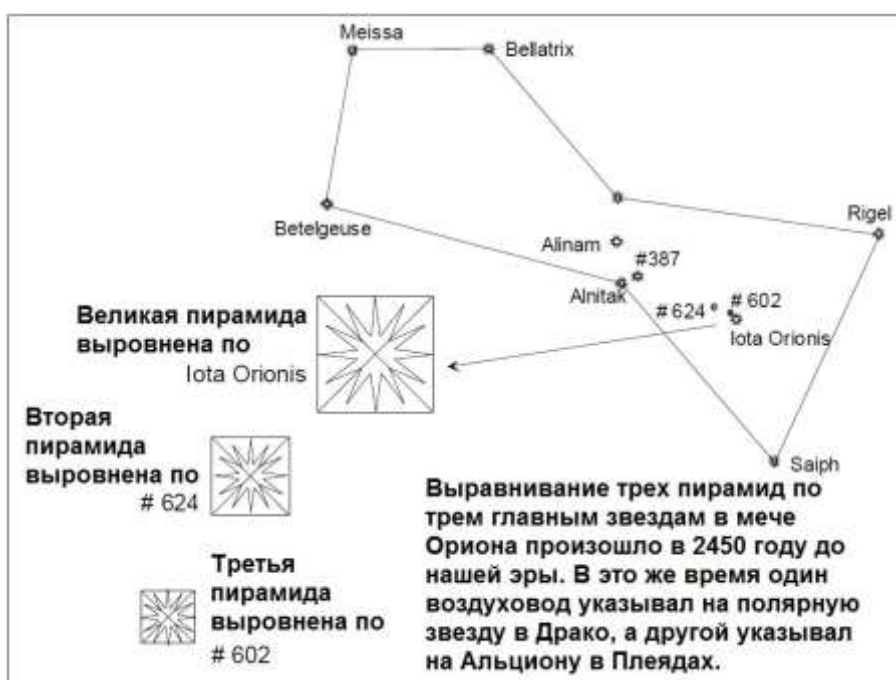
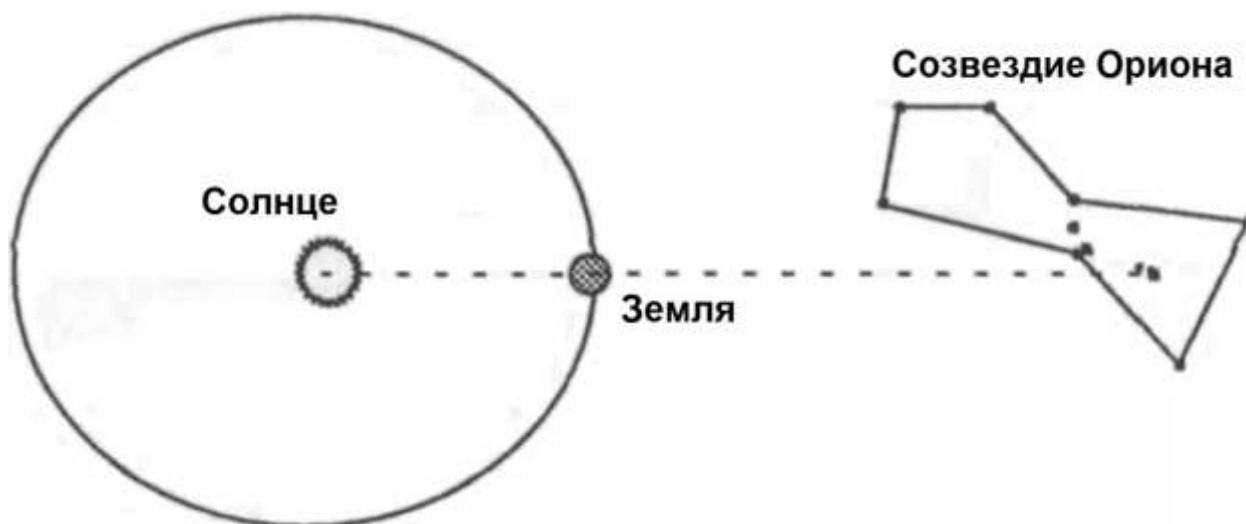


Рисунок 7.4.2-2. Взаимосвязь Ориона с Великой пирамидой

Другими словами, между нашим Солнцем и созвездием Ориона, по-видимому, существует огромный энергетический канал (см. рис. 7.4.2-3), который стимулирует силовые поля гравитационного колеса к полному сближению со всем известными локальными силами (т.е. гравитационными, электромагнитными, инерционными и радиоактивными); и затем весь эксперимент с гравитационным колесом пытается взлететь к Ориону.



В декабре и январе Солнце, Земля, и Орион выстраиваются в одну линию. На восходе и закате солнца, ось гравитационного колеса на одной линии с Солнцем и Орионом. Это точка максимального антигравитационного эффекта.

Рисунок 7.4.2-3 Взаимосвязь эксперимента с гравитационным колесом и созвездия Ориона

Неужели космонавты с Ориона построили Великую пирамиду? Является ли энергетический канал коммуникационным и звездными воротами? Помните, гравитационные эксперименты Парра пытаются пролететь (гравитировать?) по энергетическому каналу. Вот почему эксперимент теряет вес.

7.5 Исследование эксперимента Джо Парра с помощью ясновидящих и лозоходцев

Я провел несколько тестов, чтобы посмотреть, что могут видеть и чувствовать чувствительные люди вокруг эксперимента с гравитационным колесом. Джо Парр провел аналогичную серию тестов с использованием Билла Кокса (Bill Cox), всемирно известного лозоходца, для анализа энергетических полей вокруг эксперимента с гравитационным колесом. Результаты полностью совпали.

Этап 1: Модуль гравитационного колеса, стоит на лабораторном столе без работающего мотора. Вокруг магнита и области колеса существует энергетическое поле. Предполагалось, что это было связано исключительно любым взаимодействием между магнитами и неподвижным колесом. Поле окружает область магнита примерно на расстоянии 4 или 5 дюймов в виде сплюснутого сфероида. Эта часть заняла около 2 минут тестирования.

Этап 2: Модуль гравитационного колеса, стоит на лабораторном столе с работающим мотором. Как только я включил двигатель, энергетическое поле вокруг сборки начало расширяться. Поле выросло примерно до 4 футов в диаметре вокруг модуля до стены и потолка. Общее поле могло простираться и в дальнейшей степени, но стена и

потолок мешали. Я отчетливо ощущал поле вокруг гравитационного колеса. Вокруг модуля был интенсивный энергетический пузырь диаметром около фута, который ослабевал дальше. Оказалось, что от экспериментальной установки исходят потоки спиральной энергии, но спиральная характер не был уверенным. Эта часть заняла около 2 минут тестирования.

Этап 3: Модуль гравитационного колеса, стоит на лабораторном столе с работающим мотором и не включенным генератором ионов. Когда я включил генератор ионов, энергетический шар диаметром в фут вокруг модуля стал более интенсивным. Чем дольше работал модуль, тем интенсивнее становился энергетический шар. Не было видно никаких энергий, поступающих в устройство извне. Эта часть заняла около 3 минут тестирования.

Этап 4: Модуль гравитационного колеса, стоит на лабораторном столе, при отключенном моторе и генераторе ионов. Генератор ионов и мотор были выключены, и энергетические поля медленно уменьшались до состояния стадии 1. Эта часть заняла около 3 минут тестирования.

7.6 Аллюминиевые пирамиды и наблюдения JP энергии

Была проведена еще одна быстрая серия тестов с использованием ясновидящих, чтобы посмотреть на энергетические поля аллюминиевых пирамид, которые я обработал. Эксперименты включали в себя работу модуля гравитационного колеса. Следующая последовательность заняла всего 10 минут тестирования.

Наблюдение 1. Эксперимент с гравитационным колесом продолжался довольно непрерывно в течение примерно от 10 дней до двух недель. Весь гараж был наполнен эфирной энергией, причем наиболее интенсивной она была вокруг стола для эксперимента с гравитационным колесом.

Наблюдение 2. Аллюминиевые пирамиды в тех же количествах и конфигурациях дают те же результаты, что и медные пирамиды. Вывод состоит в том, что металлические пирамиды фокусируют энергию более мощно, чем неметаллические пирамиды.

7.7 Критические параметры гравитационных экспериментов с пирамидой

Существует несколько критических параметров при построении эксперимента с центрифугой Парра или эксперимента с гравитационным колесом. Джо потратил более 14 лет на поиск факторов, влияющих на эксперименты. Один из них уже упоминался - напряженность магнитного поля маленьких магнитов. Магниты, которые я использовал в своей первой версии, были слишком сильными. Испытания показали, что оптимальная напряженность магнитного поля керамических магнитов диаметром 0,5 дюйма составляет 100 гаусс каждый. Другим фактором является выравнивание магнитов по отношению к пирамидам или треугольникам в двух экспериментах. На рис. 7.7-1 изображено оптимальное расположение магнитов по отношению к треугольнику или пирамиде.

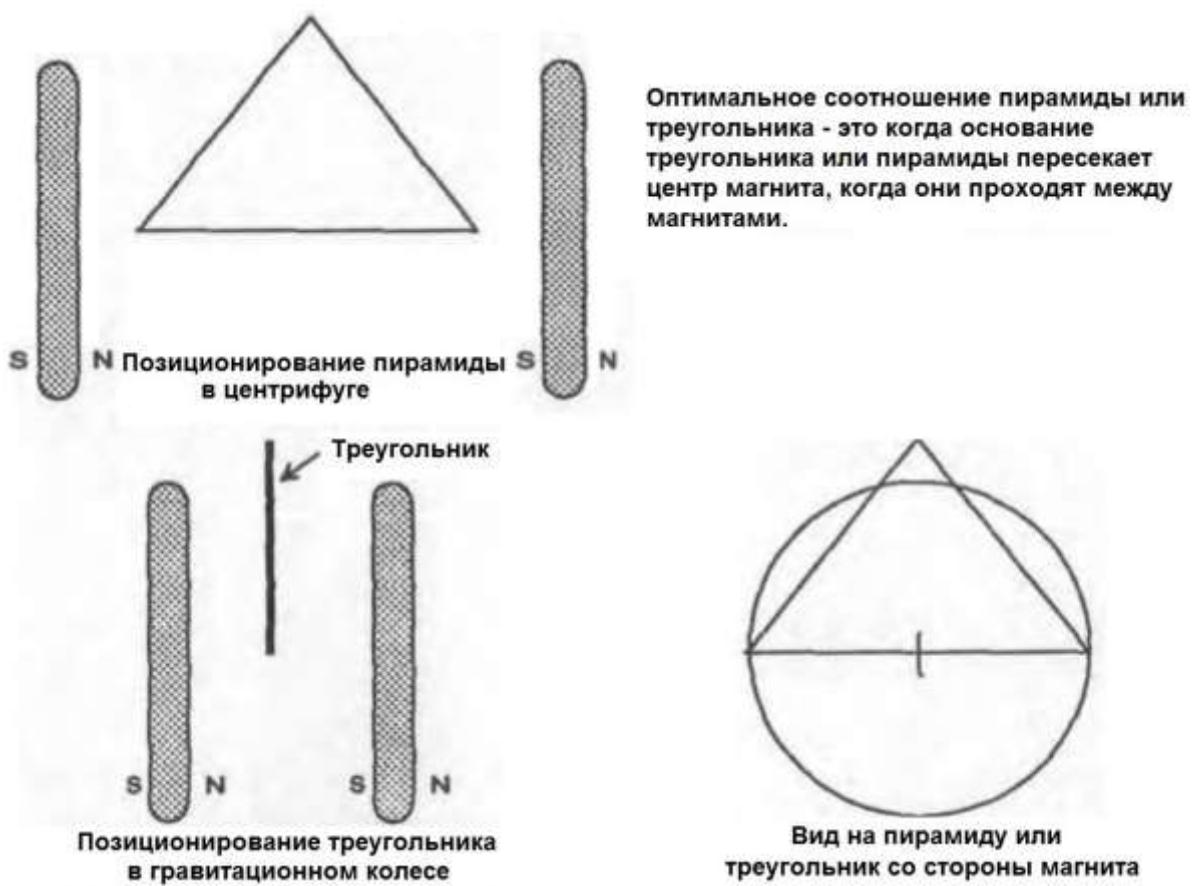


Рисунок 7.7-1. Оптимальное позиционирование магнита для гравитационных экспериментов

Оба эксперимента Джо имеют треугольники: пирамиды в первом эксперименте имеют противоположно направленные треугольники, и зубчатое колесо во втором эксперименте имеет противоположно направленные треугольники. Джо обнаружил, что зубчатое колесо не будет работать до тех пор, пока медные треугольники не будут освобождены от соприкосновения с каждым соседними треугольниками. Касание было устранено путем проделывания небольшой щели между каждым треугольником и удаления меди из центра зубчатого колеса.

7.8 Краткое изложение экспериментальных эффектов силы формы

Основная тема этой главы заключается в том, что сила формы производит измеримые эффекты и может быть измерена с помощью специальных датчиков. Форма пирамиды преобразует эфирные силы в стандартные электрические и магнитные энергии, которые измеряются стандартными приборами.

Эксперименты Парра показывают, что с помощью пирамид можно генерировать антигравитационные силовые поля. Это макроуровневые поля (т.е. размером с экспериментальный аппарат), а не крошечные поля, генерируемые эффектами Таунсенда Брауна (Townsend Brown), где максимальные эффекты имеют порядок менее 1 процента от общего веса. В эксперименте с гравитационным колесом Парра мы получаем эффекты, в 3-5 раз превышающие вес гравитационного колеса (т.е. зубчатого колеса в эксперименте).

Джо Парр и я хотели бы привлечь больше экспериментаторов, заинтересованных в повторении эксперимента для дальнейшей корреляции. Свяжитесь со мной, если вы действительно серьезно настроены потратить немного времени на повторение

эксперимента. Мой адрес: Dan Davidson, PO Box 1090, Sierra Vista, AZ 85636, или по электронной почте: rivas@theriver.com

7.9 Список литературы

1. "Dielectrics as Gravity Wave Detectors", Dan A. Davidson, Proceedings of the 1991 Extraordinary Science Conference, sponsored by the International Tesla Society, Inc. PO Box 5636, Colorado Springs, Colorado, 80931, July, 1991.
2. Free Energy. Gravity, and the Aether. Dan A. Davidson, RIVAS, PO Box 1090, Sierra Vista, Arizona 85636, 1996.
3. Transverse Paraphysics. Tesla Book Company, PO Box 1649, Greenville, Texas, 75401.
4. Unpublished notebook copy of Townsend Brown's research on gravity detectors using different conductivity materials in a wheatstone bridge circuit. Data varied daily with a great deal of noise/spikes in the data. (Неопубликованная копия записной книжки Таунсенда Брауна, посвященная исследованию гравитационных детекторов с использованием различных проводящих материалов в мостовой схеме Уитстона. Данные менялись ежедневно с большим количеством шума/скачков в данных.)
5. "All About Gravitational Waves", Greg Hodowanec, Electronics, April, 1986.
6. The Great Pyramid. Its Divine Message. D. Davidson and H. Aldersmith, London, William Rider and Son Ltd., 1924.
7. The Orion Mystery. Robert Bauval and Adrian Gilbert, Crown Paperbacks, 201 East 50th Street, New York 10022. 1995.

ГЛАВА 8

ЯДЕРНАЯ СТРУКТУРА - ОСНОВА СИЛЫ ФОРМЫ

В этой главе рассматривается сила формы субатомных структур.

8.1 Введение

Атом - это элементарная, изначальная структура силы формы. Его вечная вибрация и движение показывают, что он действует на границе физической Вселенной с эфирным царством. Все известные силы и элементы заложены в структуру атома, и, вероятно, еще многое другое, чего мы пока не знаем. Разгадайте, как атом совершает свое чудо вечного движения, и вы раскроете, как устроена физическая Вселенная. Управление гравитацией и свободная энергия будут некоторыми из результатов развития, когда атом будет понят.

В первой главе простой атом, как его представлял Джон Э. У. Кили, был изображен как тороидальный вихрь эфирной силы с подструктурой тороидов, встроенных в большой тороид в виде эффекта тройной частицы. Основной тороид состоит из трех меньших тороидов, вращающихся, чтобы сформировать большой основной паттерн, причем каждый паттерн повторяется на каждом подуровне, возможно, *до бесконечности*.

Современная физика представляет атом как совокупность ядерных частиц, которые удерживаются вместе сильным взаимодействием, слабым взаимодействием, гравитацией, электричеством и магнетизмом, образуя различные атомные элементы. Согласно их теории, в центре атома находится ядро, состоящее из этих субатомных частиц, которое окружено облаком электронов, вращающихся вокруг ядра с огромной скоростью.

Ни модель Кили без электронов, ни модернистский взгляд с их супом из частиц не являются удовлетворительной концепцией. Электроны существуют, по крайней мере частицы, которые похожи на них, пахнут как тогда и крикают, как колючка, поэтому модель Кили неполна, или у нас просто недостаточно информации, чтобы определить ее. Кроме того, электрон или их облако, непрерывно вращающееся вокруг ядра, должны быстро истощать энергию посредством электромагнитного излучения, так что мы имеем дело с большим количеством аномалий.

С другой стороны, зверинец частиц "стандартной модели", похоже, существует, но только в течение самых мимолетных моментов. Стабильные частицы (т.е. те, которые существуют независимо от атома) - это электрон, позитрон, протон и антипротон. Некоторые могут спросить: "Разве нейтрон не является стабильной частицей?"; Наблюдения показывают, что он быстро распадается на электрон и протон.

У исследователей альтернативной науки появилась новая модель атома, которая, похоже, удовлетворяет экспериментальным наблюдениям. В этой главе описывается эта новая атомная модель. Атомная структура описывается этой новой моделью, и мы можем вывести ядерные и физические константы, плюс модель формирует базис для великой единой теории поля. Ни один из исследователей альтернативной науки, которых я анализировал, включая меня самого, не имеет полной картины; но похоже, что мы движемся в правильном направлении. Я попытался собрать все части вместе, чтобы получить более полную теорию и сформировать целостную картину атомного уровня и основных ядерных сил. Исследователи, которые сформировали основные идеи, перечислены в списке литературы.

Суть этой новой модели в том, что электрон, протон, позитрон и антипротон являются частицами тороидальной (т.е. пончикообразной) формы, которые вращаются со скоростью света. Нейтрон является результатом сжатия электрона и протона в ядре.

Когда я впервые начал изучать альтернативную физику и науку в 1950-х годах, мое первое знакомство с альтернативой стандартной модели современной физики было связано с тороидальной структурой ядра Джона Э. У. Кили (John E. W. Keely). Получив образование

("промыв мозги") на занятиях по ядерной физике, атомной химии и электронике, "атом" Кили стал источником крайнего недоумения. С одной стороны, доказательства того, что Кили действительно открыл некую толику контроля над гравитацией и магнетизмом, были поразительными (и выходили далеко за рамки современной физики), но я так и не смог полностью примирить то, что он сделал, с тем, что, по его словам, было физической основой атома. Его атом не был адекватно объяснен в скудной доступной литературе, и я не мог понять, были ли частицы, описанные Кили, электронами, протонами, нейтронами или чем-то еще. Мой вывод (примерно в 1959 году) состоял в том, что концепция Кили о тороидальной структуре частиц, вероятно, была близка, но его субатомная структура была такой же бестолковой, как и стандартная модель. Я решил, что короткоживущие субатомные частицы - это не что иное, как остатки тороидального ядра, состоящего из эфира, которое разбивается на части, и чем сильнее оно разбивается, тем более странным получается суп из частиц. Каждый последующий, более мощный атомный ускоритель, который физики использовали для взрыва ядра, находил новые частицы для пополнения зверинца частиц, возможно, частиц из субструктуры Кили, состоящей из все меньших и меньших тороидов.

Я собираюсь дать частичный вывод математических формул, которые описывают новую альтернативную атомную модель; однако, если читатель хочет ознакомиться с подробностями, обратитесь к статьям, перечисленным в списке литературы в конце этой главы. По большому счету, я избегал математических описаний в предыдущих главах и попытался составить словесное и графическое описание различных элементов силы формы, чтобы сделать этот увлекательный предмет привлекательным, понятным и полезным для серьезного исследователя, который может не иметь математического образования. В этой главе я собираюсь показать, что для этой новой физики существует очень прочная математическая основа. Если математика не является вашей сильной стороной, тогда читайте слова и изучайте картинки, они рассказывают одну и ту же историю, и вы получите 80% основных понятий.

Мое первое реальное знакомство с электроном как тороидальной структурой, с которой была связана некоторая математика, произошло в основополагающей работе доктора Парамахансы Тевари (Paramahansa Tewari)^{1,2,3,4,5}. Последующее моделирование Пола Стоу (Paul Stowe)^{6,7} заполнило большую часть головоломки гравитации, доктор Хэл Путхофф (Hal Puthoff)⁸ и коллеги из МI прояснили концепцию инерции, а недавняя работа Лукаса (Lucas) и Бергмана (Bergman)^{9,10,11,12} решила другой комплект моих вопросов о ядре и атомной структуре и о том, как эта структура сочетается вместе геометрически. Далее следует единая концепция. Я не претендую на то, что на этом обсуждение ядерной структуры заканчивается, но, по крайней мере, это место, с которого можно начать разработку новой, рациональной структуры материи и Вселенной, и сформировать теоретический базис для новой попытки исследования картины силы формы.

8.2 Тороидальный электрон

Пространство представляется как сверхтекучая среда, невязкая, относительно без трения, безмассовая и непрерывная. Оно может быть смоделировано как метельчатый сверхтекучий флюид со средним интервалом взаимодействия L . По существу, это новое определение эфира¹.

Электрон постулируется как тороидальное (т.е. пончикообразное) кольцо. Кольцо с радиусом R и поперечным сечением r вращается со скоростью c , скоростью света. Кольцо (или, правильнее, тороид) также вращается внутри себя вокруг поперечного сечения радиусом r . Можно показать, что электрический заряд электрона и связанные с ним свойства электростатического поля являются результатом двух вращений кольца вокруг своей оси и поперечного сечения.

В классической теории кинетики скорость поперечной волны в жидкости (флюиде) равна:

$$c = \sqrt{\frac{P}{\rho}} \quad (1)$$

Где P - давление, а ρ - плотность жидкости.

Из электростатики скорость света, c , связана с проницаемостью μ_0 и проницаемостью ϵ_0 свободного пространства. Это соотношение имеет вид:

$$c = \sqrt{\frac{1}{\mu_0 \epsilon_0}} \quad (2)$$

Приравнивая (1) и (2):

$$\frac{P}{\rho} = \frac{1}{\mu_0 \epsilon_0} \quad (3)$$

Поскольку свет - явление поперечное, мы находим, что $\mu_0 = 1/P$, коэффициент сжатия, а $\epsilon_0 = \rho$, которая есть масса/плотность.

Чтобы найти постоянную Планка, мы определяем элемент векторного поля следующим образом:

S = Пространство

V = Скорость

Z = импульс

L = среднее движение или средняя длина свободного пробега

t = скорость импульса

h = параметр действия

m_z = масса или мнимая масса и $Z = m_z V$ (из кинетики)

В данном пространстве существует n таких векторных элементов. Параметр действия определяется следующим образом:

$$h = 2Z \int_0^L dh = 2ZL \quad (4)$$

Подставляя $Z = m_z V$,

$$h = 2m_z VL$$

Полная энергия системы есть интеграл:

$$E = n \int_0^t h dt = nht \quad (5)$$

Скорость t есть V для скорости волны и c (т.е. скорость света) для электромагнитного излучения.

Таким образом:

$$E = hV \quad \text{для волнового движения} \quad (6)$$

$$E = m_z c^2 \quad \text{для релятивистской энергии} \quad (7)$$

Поскольку уравнение 6 совпадает с энергией электромагнитной волны, то h - это постоянная Планка.

Величина заряда относится к заряду электрона. Электрон определяется как тороид с площадью $a = 4\pi^2 Rr$ и объемом $S = 2\pi^2 Rr^2$, где R - большой тороидальный радиус, а r - радиус поперечного сечения. Электрический заряд e электрона представляет собой полный импульс Z электрона, который распределен по площади на единицу объема. В форме уравнения это выглядит следующим образом:

$$\theta = Z 4\pi^2 ZL / 2\pi^2 ZL^2 = 2Z/L \quad (8)$$

Так как $h = 2PL$ и $e = 2Z/L$, то:

$$L = \sqrt{\frac{h}{e}} \quad (9)$$

Электрический заряд e , имеющий значение $\pm 1,6029E^{-19}$ кг/сек, является локальной дивергенцией эфирного поля и связан с μ_0 и ϵ_0 следующим образом:

$$q = \frac{1}{2\pi} \sqrt{\frac{h}{\frac{3\mu_0}{\epsilon_0}}} \quad (10)$$

Заряд электрона, постоянная Ридберга и гравитационная постоянная также выводятся из простой механики жидкости (флюида)^{1,2} рассматривающей эфир. См. таблицу 8.1-1, стр. 101-102, сводку простых соотношений основных атомных и электрических констант, полученных с использованием механики жидкости (флюида) и рассмотрения эфира как сверхтекучей дисперсной среды.

Анализ протона приводит к выводу, что он также является эфирным тороидальным вихрем, вращающимся со скоростью c , с другим радиусом и кольцевым сечением^{3,4}. Тороид протона, когда он распадается, превращается в субструктуру, состоящую из трех кварков, также тороидов, которые вращаются как единое целое, образуя протон. Предполагается, что кварки не являются самостабильными частицами, поэтому быстро рассеиваются.

Таблица 8.1-1. Функциональные зависимости фундаментальных единиц (1 из 2)

ВЕЛИЧИНА	ИМЯ	СООТНОШЕНИЕ С ИЗВЕСТНЫМИ КОНСТАНТАМИ	ЗНАЧЕНИЕ	ЕДИНИЦЫ	СВЯЗАННЫЕ ФУНКЦИИ
q или Q	элементарный заряд	$q = \frac{1}{2\pi} \sqrt{\frac{h\epsilon_0}{\sqrt{3}}}$	$\pm 1.602E^{-19}$	kg/sec	$q = \text{DIV } P$ заряд является локальной дивергенцией эфирного поля
h	постоянная Планка	$h = \frac{\sqrt{3}(2\pi q)^2}{\epsilon_0 c}$	6.624E-34	kg m ² /sec	$\alpha = \frac{1}{8\pi^2 \sqrt{3}} = 1/137$ постоянная тонкой структуры
K_R	постоянная Ридберга	$K_R = \sqrt{\frac{q}{2a}}$	10986593.8	m ⁻¹	graininess of aetheric particle field
Чили λ	частота вещества или длина волны (только для очень легких элементов)	$v = \frac{q}{m\rho}$ $\lambda = \frac{c \cdot m\rho}{q}$	для водорода $\lambda_e = 1.87E-3$ $\lambda_p = 3.91m$	hz m	λ_e для выхода электрона 2.73 °K λ_p для выхода протона 1.64E-3 °K
V	вольт	$V = IR$	переменная величина	m ² /sec	measure of differential velocity in distance
R	сопротивление	$R = \frac{V}{I}$	переменная величина	m ² sec/kg	

Таблица 8.1-1. Функциональные зависимости фундаментальных единиц (2 из 2)

ВЕЛИЧИНА	ИМЯ	СООТНОШЕНИЕ С ИЗВЕСТНЫМИ КОНСТАНТАМИ	ЗНАЧЕНИЕ	ЕДИНИЦЫ ИЗМЕРЕНИЯ	СВЯЗАННЫЕ ФУНКЦИИ
I	ток	$I = \frac{V}{R}$	переменная величина	$\frac{kg}{sec^2}$	Скорость изменения изменения (массовый расход)
E	энергия	$E = VI$	переменная величина	$m^2 kg/sec^3$	Энергия = массовый расход x вольтаж
m T	гаусс		единичное	$m = \text{CURL } P$ где P = импульс или давление	напряженность магнитного поля, магнитные поля - это скручивание или вращение эфирного поля
ϵ_0	диэлектрическая проницаемость свободного пространства		8.854E-12	kg/m^3	плотность эфира
μ_0	магнитная проницаемость свободного пространства	$\mu_0 = \frac{1}{P}$	1.257E-6	$\frac{m \cdot sec^2}{kg}$	обратная плотность энергии или обратное давление эфирного поля
c	скорость света	$c = \sqrt{\frac{1}{\mu_0 \epsilon_0}}$	2.99E+8	m/sec	$c^2 = \frac{\langle v^2 \rangle}{\sqrt{3}}$ $\langle v^2 \rangle$ средняя скорость эфира
G	гравитационная постоянная	$c^2 \mu_0 \epsilon_0$	$6.67 \cdot 10^{-11}$	$\frac{newton \cdot m}{kgm^2}$	сила гравитации есть GRAD E

8.2.1 Физика тороидального электрона

Когда Джон Кили (около 1896 года) впервые предложил тороидальную структуру ядра, физика только начинала разбираться в электростатике и имела лишь слабое представление о структуре ядра. Электрон был обнаружен в 19-й веке Дж. Дж. Томпсоном (J. J. Thompson) в его знаменитом эксперименте с каплей воды. С тех пор были предложены различные модели электрона, но вплоть до последних 10 лет ни одна из них не привела к физической модели, согласующейся с экспериментальными наблюдениями. Современные квантовые модели - это математические модели, которые вынуждены соглашаться с экспериментальными данными, но не объясняют физическую структуру электрона. В предыдущем разделе я использовал модель тороида, чтобы показать, что она согласуется со структурой заряда. В этом разделе я воспользуюсь превосходным анализом тороидальной структуры Бергмана (Bergman), чтобы вывести физические параметры электрона.

Опять же, предполагается, что электрон представляет собой кольцо с равномерным током и поверхностной плотностью заряда. Электронное кольцо представляет собой стабильный тороидальный вихрь, состоящий из эфира, вращающегося со скоростью света. Изображение кольца, его размеров и сил показано на рисунке 8.2.1.1-1, а поток эфира (т.е. магнитное поле) показан на рисунке 8.2.1.1-2.

Кольцо имеет заряд e (т.е. значение заряда электрона), равномерно распределенный по поверхности с плотностью заряда σ и движется со скоростью c , скоростью света. Поскольку кольцо не имеет массы, но представляет собой ток электростатической силы, кольцо может двигаться со скоростью света без нарушения принципов массы/скорости. На самом деле, поскольку кольцо электромагнитное, электромагнитные силы в любом случае движутся со скоростью c . Площадь, a , кольца составляет $4\pi^2 Rr$. Таким образом,

$$e = \sigma 4\pi^2 Rr \quad (11)$$

Энергия E_e кольца взята из классической электростатики¹³.

$$E_e = e^2/2C \quad (12)$$

Где C - емкость кольца, индуктивная или магнитостатическая энергия E_m также выводится из классической электростатики.

$$E_m = Li^2/2 \quad (13)$$

L - самоиндукция с током i кольца. Ток также из классической электростатики и является:

$$i = ec/2\pi R \quad (14)$$

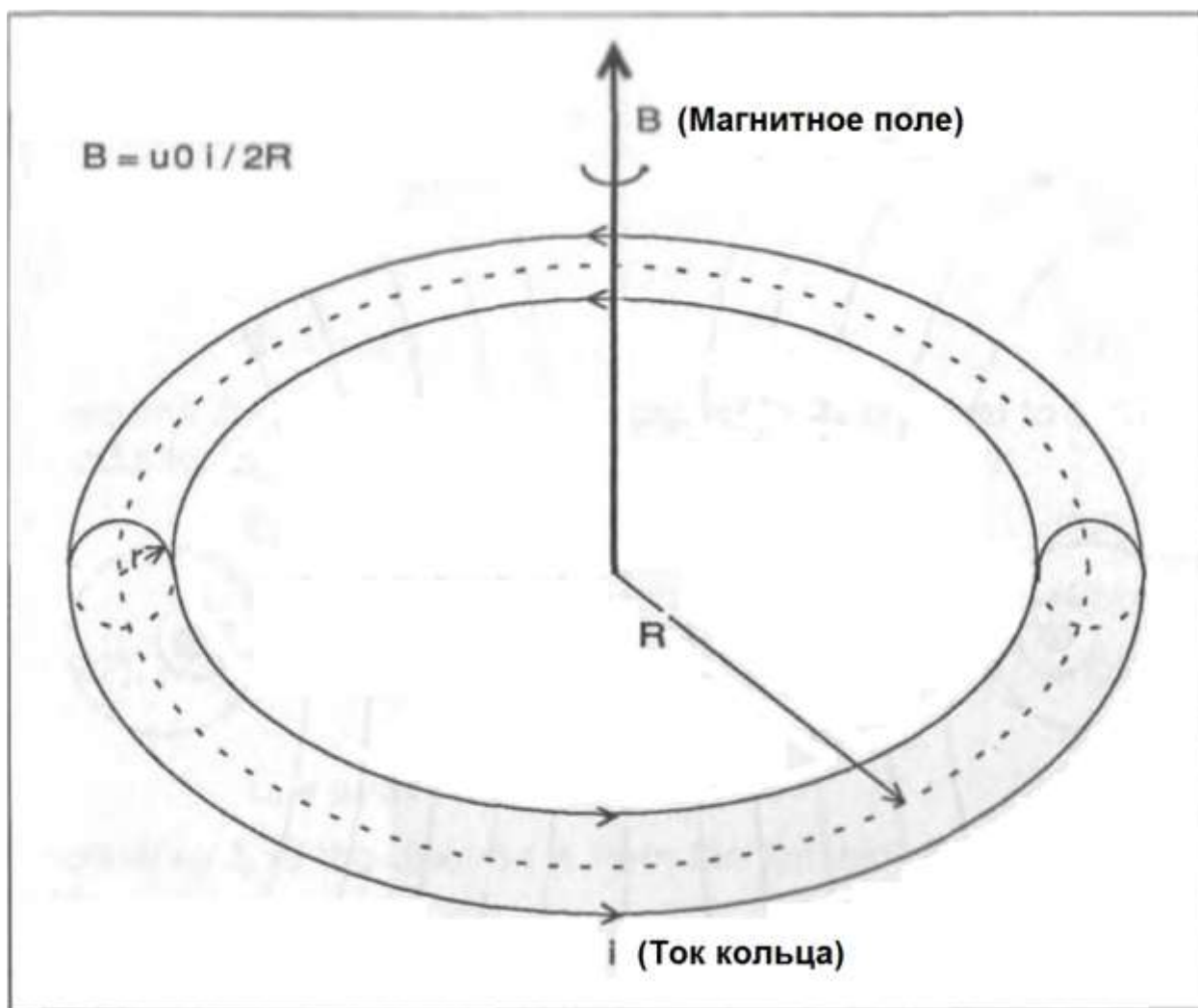


Рисунок 8.2.1.1-1 Структура тороидального электрона

Таким образом, видно, что электрон, как тороидальное кольцо, имеет магнитное и электрическое поля, а также магнитный момент, вызванный вращением кольца. Магнитное поле показано на рисунке 8.2.1.1-2, а электрическое поле излучается из кольца во всех направлениях. Это устанавливает отношения притяжения-отталкивания с окружающим пространством. Электрическое поле будет притягивать или отталкивать е-поля одинаковой полярности, а магнитное поле будет делать то же самое для в-полей.

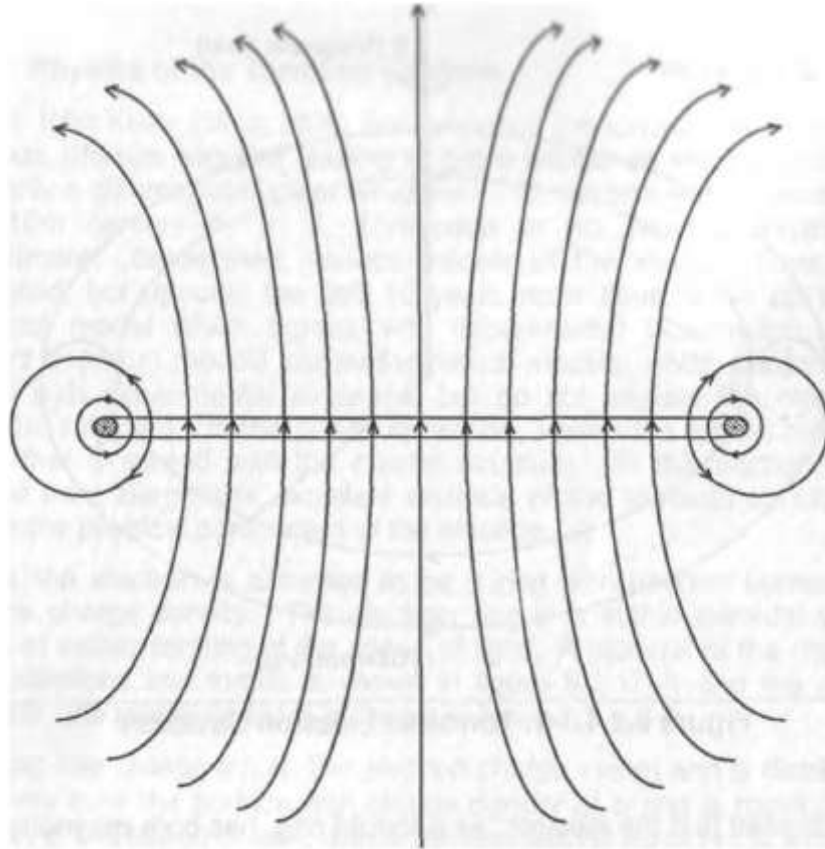


Рисунок 8.2.1.1-2. Вид сбоку тороидального электрона с эфирным потоком (т.е. магнитным полем)

Для очень тонкого кольца, где $r \ll R$ напряжение V вычисляется следующим образом:

$$V = 1/(4\pi\epsilon_0) (e/(x^2 + R^2)^{1/2}) \quad (15)$$

Емкость $C_e = q/V$ (из Sears¹³: "Electrostatics"), но $q = e$, так что

$$C_e = e/V \quad (16)$$

Объединив 15 и 16:

$$C_e = 4\pi\epsilon_0(x^2 + R^2)^{1/2} \quad (17)$$

Индуктивность кольца L_e составляет:

$$L_e = N\Phi/i \quad (18)$$

где N - число витков, Φ - поток и i - ток. $N = 1$ и Φ составляет:

$$\Phi = B \times A \quad (19)$$

где B - магнитное поле и A - площадь.

$$B = \mu_0 i / 2R \quad (20)$$

Таким образом:

$$\Phi = \mu_0 i \pi R / 2 \quad (21)$$

Если предположить, что энергия конденсатора E_c равна энергии индуктора E_L для сбалансированных энергий в тороиде, то:

$$E_c = e^2 / 2C_e \quad (22)$$

$$E_L = L_e i^2 / 2 \quad (23)$$

Из (22), (23) и (17) легко показать, что $x = 3R$, поэтому, объединив вышесказанное:

$$L_e = \mu_0 \pi R / 2 \quad (24)$$

Частота f_e электрона - это знакомый нам резонанс LC схемы:

$$f_e = 2\pi / (L_e C_e) \quad (25)$$

Объединение (17), (22) и (23) дает:

$$f_e = c / R \quad (26)$$

По данным Менцеля (Menzel)¹⁴ комптоновская длина волны f_c равна:

$$f_c = mc^2 / h \quad (27)$$

где c - скорость света, а h - постоянная Планка. Объединив (26) и (27),

$$R = h / mc \quad (28)$$

Это большой радиус R электрона.

Аномальный магнитный момент также может быть вычислен из этой модели тороидального электрона. Кольцевой ток i есть $i = e\omega / 2\pi$, где ω - угловая скорость, которая равна c , так что

$$i = ec / 2\pi R \quad (29)$$

Магнитный u_e - это:

$$u_e = Ai \quad (30)$$

где A - площадь токового тороида. Объединение (28), (29) и (30) дает:

$$u_e = he / 4\pi m = u_B \quad (31)$$

где u_B - магнетон Бора. Вычисление этого дает:

$$u_e = 0,92731, \text{ что хорошо до 3 знаков после запятой.}$$

Поправка аномального электронного момента¹⁴ имеет вид:

$$(1 + \alpha / 2\pi - 2.973\alpha^2 / \pi^2) = u_e / u_0 \quad (32)$$

где α - постоянная тонкой структуры и $\alpha = 7,29729 \times 10^{-3}$. Когда эта поправка вычислена:

$$u_e = 0.928381$$

что хорошо до 6 знаков для магнетона Бора. Большой точности можно достичь, используя лучшее приближение для индуктивности L_e и тороидальной формы, что сделано в анализе Бергмана.

Главный вывод, который следует сделать из всего этого, состоит в том, что модель тороидального электрона дает хорошие результаты, которые недостижимы с помощью классической или квантовой механики. Другой важный момент заключается в том, что весь этот анализ устраняет необходимость в теории относительности Эйнштейна, поскольку мы можем вывести все атомные параметры без бессмысленных предположений Эйнштейна. Будем надеяться, что ортодоксальное сообщество согласится с программой и проснется.

Краткое описание уравнений и значений тороидальной модели приведено в таблице 8.2.1.1-1. В этой таблице также приведены значения для позитрона, протона и антипротона. Размер протона определяется отношением массы протона к массе электрона, равным 1836,15. Протон в 1836,15 раза массивнее электрона, поэтому его магнитный момент, радиус, вращение и ток аналогично затронуты. Приложение В резюмирует часть нуклидов атомной структуры, основанную на тороидальной теории частиц. Видно, что это прекрасно согласуется с известными измеренными значениями электронов и протонов.

Таблица 8.2.1.1-1 Значения элементарных стабильных частиц ($k = 1836.15$)

ПАРАМЕТР	СИМВОЛ	ВЕЛИЧИНА	ЕДИНИЦЫ ИЗМЕРЕНИЯ	ЗНАЧЕНИЕ ДЛЯ ЭЛЕКТРОНА	ЭЛЕКТРОННЫЙ ФАКТОР	ПОЗИТРОННЫЙ ФАКТОР	ПРОТОННЫЙ ФАКТОР	АНТИПРОТОННЫЙ ФАКТОР
Заряд	e	e	Coulomb	$1.6021892 \times 10^{-19}$	-e	+e	+e	-e
Радиус (большой)	R	$R = h/mc$	Meter	3.86607×10^{-13}	R	R	R/k	R/k
Радиус (поперечное сечение)	r	r	Meter	7.42214×10^{-200}	r	r	r/k	r/k
Скорость обода	c	c	Meters/sec	2.9979×10^8	c	c	c	c
Вращение	ω	c/R	Radians /second	7.7545445×10^{20}	ω	ω	ω	ω
Ток	i	$\omega e/2\pi R$	Ampere	19.77357	-i	+i	+k i	-k i
Спин (нормализованный)	s_e	$h/2$	Joule-sec	$1.0545887 \times 10^{-34}$	s_e	s_e	s_e	s_e
Емкость	C	$C = 2\pi\epsilon_0 / R$	Farad	3.12812×10^{-25}	C	C	C/k	C/k
Индуктивность	L	$L = \mu_0 R/2$	Henry	2.0891×10^{-16}	L	L	L/k	L/k
Комптоновская частота	f	$f_e = c / R$	Hertz	1.23703×10^{20}	f	f	k f	k f

8.3 Атомная структура

Атомная структура строится в соответствии с правилами геометрии и полярностью атомных частиц^{4,7,8}. Полярности являются результатом эфирных потоков в материю и из нее, где направления потоков создают магнитные полюса. Джон Эрнст Уоррел Кили был первым субатомным физиком, поскольку он описал ядерную структуру. Его основное объяснение атомной структуры было выведено из его развития науки вибрационной физики. Одним из его открытий было открытие субструктуры протона¹⁵. Он обнаружил, что это была частица, состоящая из трех субъядерных частиц. Дальнейшие исследования привели его к идее, что эта трехчастичная субструктура продолжалась вплоть до все более мелких частиц внутри каждой частицы. Кили утверждал, что научился управлять субструктурой до 27 уровней ниже базового протона. Атом Кили изображен в стилизованном виде на рис. 8.3-1. Атом Кили был ближе к сферическим оболочкам, чем к тороидам. Первый уровень субструктуры был окончательно теоретизирован в ортодоксальном сообществе Фейнманом в 1958 году. Открытие Кили опередило Фейнмана (Feynman) более чем на 60 лет! Фейнман назвал три частицы, составляющие протон, "кварками".

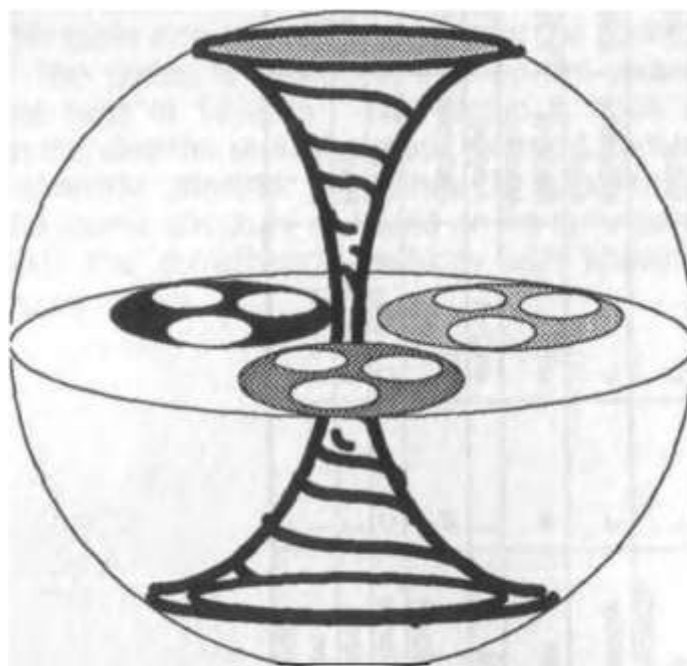


Рисунок 8.3-1. «Атом» Кили (т.е. протон), демонстрирующий тороидальную структуру

На рис. 8.3-2 показана тороидальная атомная структура двух атомов водорода, объединенных в молекулу водорода (т.е. H_2) с двумя электронами и двумя протонами.

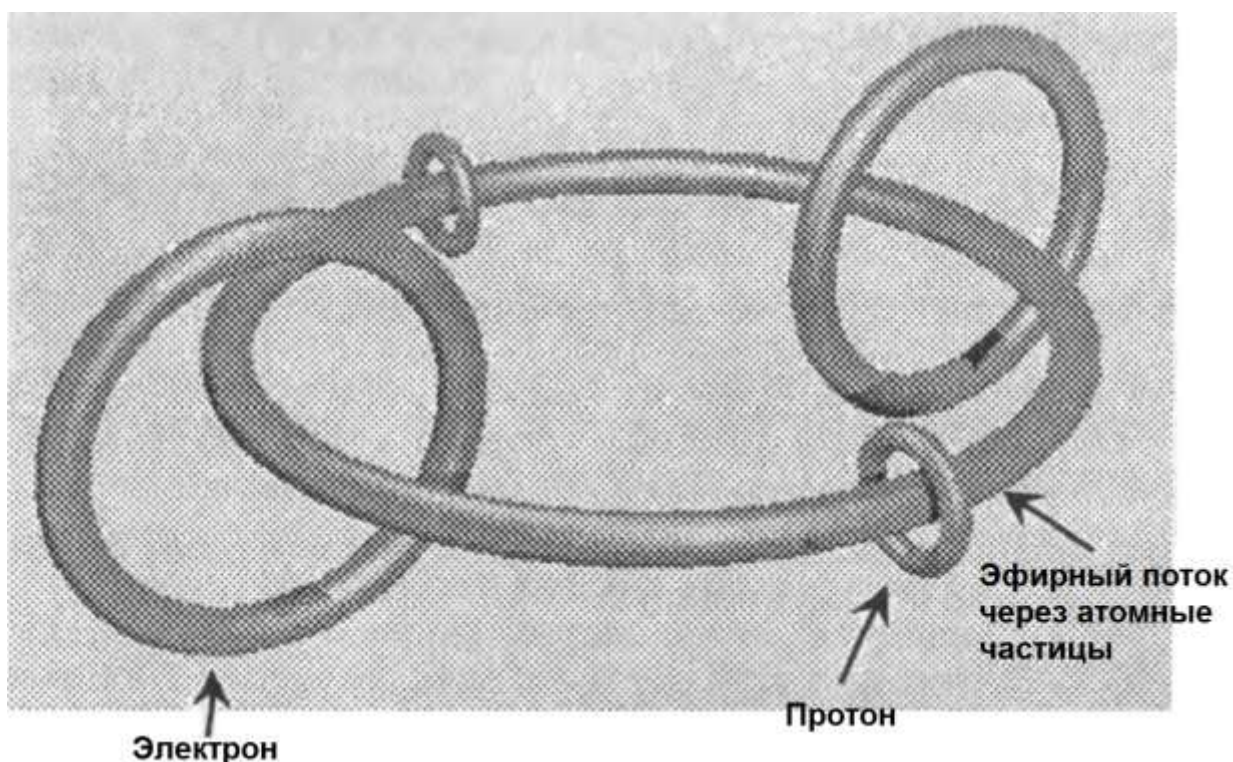


Рисунок 8.3-2. Тороидальная молекула водорода H

На рис. 8.3-3 изображена тороидальная атомная структура атома гелия с двумя электронами, двумя нейтронами и двумя протонами. Нейтрон, по мнению Бергмана (Bergman), на самом деле представляет собой объединенный электрон и протон, поскольку нейтроны при высвобождении распадаются на электрон и протон. На ядерном уровне протоны и нейтроны постоянно превращаются друг в друга и обратно. Атом гелия действует как четыре нейтрона, потому что два электрона и два протона действуют как еще два нейтрона.

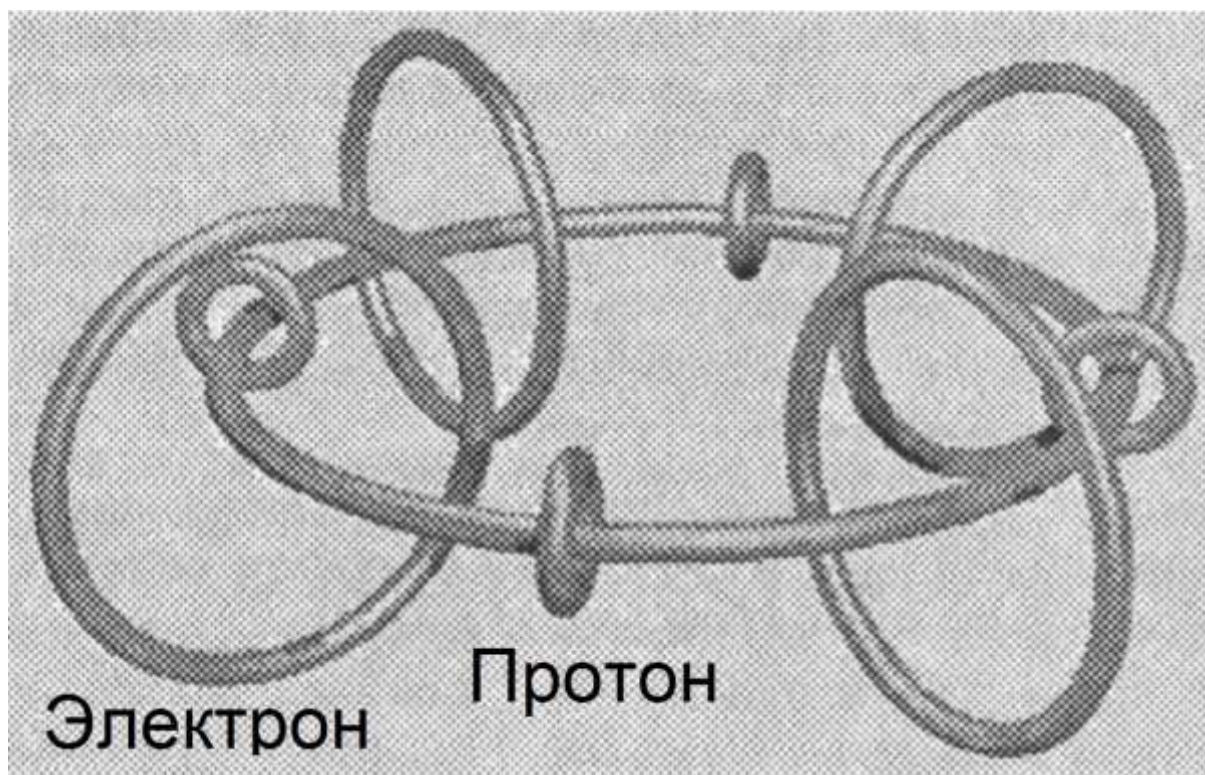


Рисунок 8.3-3. Тороидальный атом гелия

8.4 Магнетизм

Магнетизм существует как:

1. Естественное магнитное поле Земли, теоретически создаваемое потоком жидкого ядра Земли.
2. Постоянное магнитное поле вокруг намагниченных материалов.
3. Либо статические, либо переменные магнитные поля вокруг проводов с током, где ток является либо постоянным током (DC), либо переменным током (AC) соответственно.
4. Магнитное поле электронного тороидального кольца, через которое протекает локальное эфирное поле.

В вышеуказанных случаях 2 и 3 поле создается за счет того, что достаточное количество электронов в материале выравнивается, так что все их эфирные потоки аддитивны и создают большой поток эфира в области вокруг магнита. Таким образом, мы видим, что все магнитные поля являются результатом вышеприведенного случая 4 (т.е. вихревых потоков эфира).

Сильная полярность магнитов обусловлена концентрацией эфира, протекающего через полюса. Тесты, проведенные автором с ясновидящими, подтвердили, что магнит по сути является эфирным насосом.

Магниты имеют энергию, текущую вокруг них, как я и многие другие исследователи новой науки постулировали. Мои лабораторные эксперименты плюс эксперименты с ясновидящими доказали, что магнитное поле вокруг постоянного магнита на самом деле представляет собой вихревой поток эфирной силы. Атомы действуют как эфирные насосы для перемещения эфира. Когда многие атомы выстроены в ряд, как в постоянном магните, эфирные потоки атомов складываются вместе, создавая большой поток вокруг магнита. В прошлом веке барон фон Рейхенбах (Baron von Reichenbach) с помощью ясновидящих плодотворно изучал энергию вокруг магнитов. Одно из наблюдений, которое им сделано, заключалось в том, что на северном полюсе была голубая энергия, а на южном - красная.

Удержание постоянных магнитов заряжает ауру человека. Два магнита, направленные NS-SN, имеют большой энергетический пузырь между собой. Сила формы может задействовать поток энергии вокруг магнитов.

8.4.1 Гравитация

Как показано в таблице 8.1-1, гравитационная постоянная, как $grad E$, коррелирует с основополагающей работой Т. Таунсенда Брауна (T. Townsend Brown). Браун обнаружил, что конденсатор будет стремиться двигаться в направлении положительной пластины. Кажущаяся потеря веса является результатом, когда пластины перпендикулярны локальному градиенту гравитации. Этот эффект можно усилить, сделав одну пластину намного меньше другой. Это, по сути, заставляет $grad E$ максимизироваться.

Следует отметить, что $grad E$ не зависит от того, является ли поле переменным или постоянным. Эксперименты показали, что даже при таком усилении конденсатор не сводит на нет весь свой кажущийся вес и не левитирует. Причину этого можно снова найти во взаимоотношениях ядерной частицы с эфиром. Несмотря на то, что каждый атом находится в постоянном резонансе с эфиром, этот резонанс не синхронизирован через массу¹⁶. Каждый атом делает свое дело, так сказать, и происходит случайный обмен с эфиром по отношению ко всем ядрам. Таким образом, когда $grad E$ действует как эфирный насос через пластины конденсатора, только небольшая часть атомов синхронизируется с этим эфирным потоком, поэтому вся масса не реагирует одновременно; следовательно, все атомы не пытаются двигаться одновременно. Интересный эксперимент, предложенный Полом Стоу (Paul Stowe) для проверки эффекта $grad E$, показан на рисунке 8.4-1.

Анализ различных, казалось бы, не связанных событий, в которых наблюдалась левитация, дает некоторые важные подсказки к способу осуществления синхронизации ядер. Это было подробно объяснено в статье Дэвидсона и Декера¹⁶. Синхронизация ядер с эфиром была достигнута двумя основными методами, а именно вращением или движением и акустически.

Таунсенд Браун открыто публиковал свои экспериментальные результаты, несмотря на то, что они частично финансировались Управлением военно-морских исследований из Сан-Диего. Однако, когда он начал вращать свои гравиторы вокруг своей оси, результаты внезапно стали засекреченными, и вся информация о его экспериментах прекратилась. Есть подозрение, что в результате произошла значительная левитация, и этот прорыв был засекречен для защиты открытия, чтобы его можно было использовать для "национальной обороны".

Анализ явления инерции дает важный ключ к разгадке того, как вращение может действовать для синхронизации потока эфира в ядерной субструктуре гравиторов. Хайш (Haisch), Руэда (Rueda) и Путхофф (Puthoff)⁸ теоретизируют, что инерция является результатом сопротивления массы движению через поле энергии нулевой точки (ZPE) (т.е. эфир), потому что масса на ядерном уровне напрямую связана с эфиром. Путхофф и его друзья сделали хорошее доказательство того, что Кили установил в 1896 году, что инерция является результатом сопротивления массы местному эфирному полю. Следовательно, легко видеть, что движение/вращение может вызвать переориентацию эфирных потоков массы относительно направления движения.

Акустическая стимуляция выполняет то же самое, заставляя все атомы массы резонировать вместе, что синхронизирует эфирные потоки в ядрах. Было отмечено несколько интересных эффектов левитации, когда акустическая стимуляция способствовала левитации.

УСОВЕРШЕНСТВОВАННЫЙ ЭФФЕКТ ТАУНСЕНДА БРАУНА, ПРЕДСКАЗАННЫЙ МАТЕМАТИЧЕСКОЙ ГИДРОДИНАМИЧЕСКОЙ ГРАВИТАЦИОННОЙ МОДЕЛЬЮ ПОЛА СТОУ



Эксперимент, предложенный Полом Стоу (29 июня 1994 г.)

1. При разнице в площади между пластинами существует градиент напряжения, который представляет собой искусственное поле гравитации
2. Эфир закачивается в локальное пространство между пластинами
3. Эфир рассматривается как гидродинамический сверхтекучий флюид, посредством которого будет работать переменный или постоянный ток, поскольку направление поля не влияет на направление.
4. Направление определяется площадью двух пластин.
5. Аналогично трубке Вентури (направление импульса или силы несущественно для направления потока)
6. Должна быть возможность проверить вес предмета между пластинами и получить разницу при включенном высоком напряжении. Необходимо 150 000 вольт для получения измеримого эффекта.

Рисунок 8.4-1. Эксперимент Пола Стоу по тестированию гидродинамической гравитационной модели

8.5 Краткое изложение ядерной структуры

В этой главе представлена новая модель атома. Старая идея об электронах, вращающихся вокруг ядра, была отвергнута и заменена структурой из четырех основных частиц, где частицы представляют собой тороиды эфира, вращающиеся со скоростью света. Эфир смоделирован как сверхтекучий флюид. Используя эти концепции, мы можем легко вывести атомные константы, учесть атомную структуру и вывести основную морфологию различных элементов периодической таблицы. Современный ортодоксальный взгляд на атомную структуру не может этого сделать. По принципу бритвы Оккама, более простая модель должна быть преобладающей точкой зрения.

8.6 Список литературы

1. "Space is the Absolute Reality", Dr. Paramahansa Tewari, International Conference on Space-Time Absoluteness, Genoa, Italy, July 1982.
2. Beyond Matter. Dr. Paramahansa Tewari, Printwell Publications, 1984.
3. "Detection of Stationary and Dynamic Space Substratum", Dr. Paramahansa Tewari, Raum un Seit. Vol 2, No. 1, 1990.

4. "Interaction of Electron and Magnetic Field in Space Power Generation Phenomenon", Dr. Paramahansa Tewari, Magnets In Your Future. Vol 2., No 12, December 1987.
5. "Detection of Stationary and Dynamic Space Substratum", Paramahansa Tewari, Raum un Zeit. vol 2, no. 1, 1990.
6. "A Definition of Electric Charge", Paul Stowe, 243 Bentley Court, American Canyon, California, 94589, May 2, 1993.
7. "The Cause of Gravity", Paul Stowe and Barry Mingst, 243 Bentley Court, American Canyon, California, 94589, April 28, 1991.
8. Haisch, Rueda, and Puthoff, *Physical Review*, 1994, pages 678-694.
9. "New Spinning Charged Ring Model of the Electron", David L. Bergman, Twin-Cities Creation Conference, July 29-August 1, 1992.
10. "Spinning Charged Ring Model of Elementary Particles", David L. Bergman, *Galilean Electrodynamics*, March/April 1991.
11. "A Physical Model for Atoms and Nuclei", Joseph Lucas, *Galilean Electrodynamics*, January/February 1996.
12. "Physical Models for Elementary Particles, Atoms and Nuclei", David L. Bergman and Charles Wm. Lucas, Jr., IV International Conference: Problems of Space, Time & Motion, Saint Petersburg Russia, September 23-29, 1996.
13. Electricity and Magnetism. Francis Weston Sears, Addison-Wesley Publishing Company, Reading Mass., 1946.
14. Fundamental Formulas of Physics. Donald H. Menzel, Dover Publication, Inc., 1960.
15. Dashed Against the Rock. William J. Colville, Boston: Colby and Rich, 1894. Colville was a close friend of John Keely and this book is a publication of Keely's secrets embedded in a metaphysical novel. (Колвилл был близким другом Джона Кили, и эта книга представляет собой публикацию секретов Кили, встроенных в метафизический роман.)
16. "Mass Resonance: Another Secret of Anti-Gravity. Dan A. Davidson and Jerry Decker, *Extraordinary Science*, April-May-June, 1995.

ГЛАВА 9

ЕГИПЕТ — ИССЛЕДОВАТЕЛЬСКАЯ ЭКСПЕДИЦИЯ

9.1 Исследовательская экспедиция силы формы 1997 года в Египет

С 26 мая по 6 июня 1997 года Джо Парр, Джерри Декер и я будем в исследовательской экспедиции в Египте для проведения различных экспериментов на месте Великой пирамиды. В этой главе подробно описываются предпосылки и ожидания этой экспедиции.

9.2 Обзор египетской экспедиции

У этой исследовательской экспедиции есть три основные цели:

1. Испытание акустического управления силовым полем вокруг Великой пирамиды. Этот эксперимент предназначен для включения и выключения силового поля пирамиды. Это заставит пирамиду и сопутствующее ей силовое поле действовать как сигнальное устройство, сигнализирующее галактике о том, что мы взломали код того, для чего, по нашему мнению, изначально использовалась пирамида, а именно устройства межзвездной связи.
2. Измерение магнитного и электрического полей внутри и вокруг пирамид и других объектов.
3. Посещение различных исторических египетских памятников и древних объектов для сбора данных о возможных свидетельствах древних, развитых цивилизаций. Это будет включать анализ древних иероглифов и измерение магнитных полей вокруг этих объектов. Иероглифы являются возможным источником артефактов силы формы или информации.

9.3 Акустическое создание силовых полей пирамиды

Как обсуждалось в разделе 7.2.4, пирамида, а также треугольники, основанные на пирамидальных пропорциях, имеет естественное силовое поле, независимо от того, является ли пирамида неподвижной или движущейся. В действительности любая неподвижная пирамида, установленная на земле, движется со скоростью около 2000 миль в час только за счет вращения Земли.

Как обсуждалось в главе 7, форма пирамиды при правильной стимуляции, усиливает естественное силовое поле, так что это силовое поле становится непрозрачным для естественных и искусственных сил, таких как магнетизм, электромагнетизм (например, радиоволны) и ядерные частицы, причем непрозрачность варьируется в зависимости от времени суток, времени года и положения Земли. В экспериментах, описанных в главе 7, силовое поле "подпитывалось" источником ионов.

Недавние эксперименты Джо Парра позволили ему обнаружить, что силовое поле также можно подпитывать и управлять акустической энергией (т.е. звуком) определенной частоты.

9.3.1 Акустический анализ камеры царя

Джо провел акустический анализ камеры царя Великой пирамиды. Анализ был проведен на средства Sonatech, Inc. с использованием современных, сложных компьютерных программ акустического анализа. Это стало возможным, поскольку точные

измерения камеры царя, как и всех другие показатели Великой пирамиды, хорошо задокументированы.

Используя компьютерное моделирование, он обнаружил, что камера царя резонировала на 46,0, 92,0, 137,9, 183,9 и 229,9 Герц. Это показывает, что существует несколько резонансных частот камеры. Единственная проблема с этим анализом заключается в том, что саркофаг на полу Королевской палаты изменяет резонансные свойства камеры. Что делают эти частоты, так это расширяют диапазон анализа точной частоты (т.е. от 46,0 Герц до 239 Герц).

9.3.2 Определение частоты силового поля пирамиды

Чтобы найти точную частоту, Джо стимулировал эксперимент с гравитационным колесом акустической энергией в определенном выше диапазоне, в течение длительного периода. Стимуляция акустической энергией проводилась в анализируемом диапазоне с очень мелким шагом приращения частоты. Была измерена реакция силовых полей гравитационного колеса.

Эксперимент с гравитационным колесом замедляется, когда силовое поле треугольников становится более непрозрачным. Запустив генератор акустического сигнала в диапазоне частот, Джо смог точно определить частоту, на которой силовые поля усиливались акустическим сигналом.

После детальных экспериментов Джо нашел звуковую резонансную частоту, на которой резонировала пирамида. Частота составляет 51,0 Герц!

Для тех, кто изучал Великую пирамиду, угол основания (т.е. угол, который сторона образует с основанием) пирамиды составляет 51,287 градуса, который также известен как угол ϕ (Фи).

Поразительная корреляция заключается в том, что число, связанное с самым знаменитым углом Великой пирамиды, также является резонансной частотой силового поля пирамиды!

9.3.3 Межзвездный маяк

Что делает частота 51 Герц при преобразовании в акустический/звуковой сигнал, так это усиливает непрозрачность всего силового поля пирамиды. Если частота включается и выключается, силовое поле включается и отключается. Когда силовое поле отключается, энергия в силовом поле колапсирует и инициирует импульс, который фокусируется пирамидой, и импульс проходит по энергетическому каналу.

Для экспедиции в Египет Джо построил специальный генератор сигналов с подключенным аудиоусилителем, приводящим в действие низкочастотный hi-fi динамик. Система генерации звука дополнительно стимулируется специальным кодированным сигналом. Вся эта установка предназначена для включения и выключения силового поля Великой пирамиды в соответствии с определенной последовательностью сигналов.

При включении и выключении силового поля Великой пирамиды энергия в силовом поле, когда она колапсирует, излучается из пирамиды в виде луча энергии, который не останавливается ничем, кроме другого резонансного поля. Конечным результатом включения и выключения силового поля является то, что пирамида действует как межзвездный маяк или передатчик.

Джо также создал цифровой контроллер, который включает и выключает генератор частоты. Пока мы все находимся в Великой пирамиде, Джо пошлет хорошо известный сигнал, π (т.е. 3,1415), отношение длины окружности к ее диаметру, которое является универсальной константой, используя Великую пирамиду в качестве передающей антенны. Межзвездный передатчик Джо будет посылать 31415 снова и снова в течение 14-часового

периода в течение прогнозируемого энергетического канала от нашего Солнца. То, что мы делаем в этом звездном эксперименте, - это спрашиваем:

ПРИВЕТ! КТО-НИБУДЬ ТАМ СЛУШАЕТ?

Только одна частота, представляющая самую длинную стену камеры царя, была расшифрована. Два других измерения остаются неизвестными, как и связанные с ними частоты и функции.

На рисунке 9.3.3-1 изображен эксперимент с межзвездным маяком Великой пирамиды.

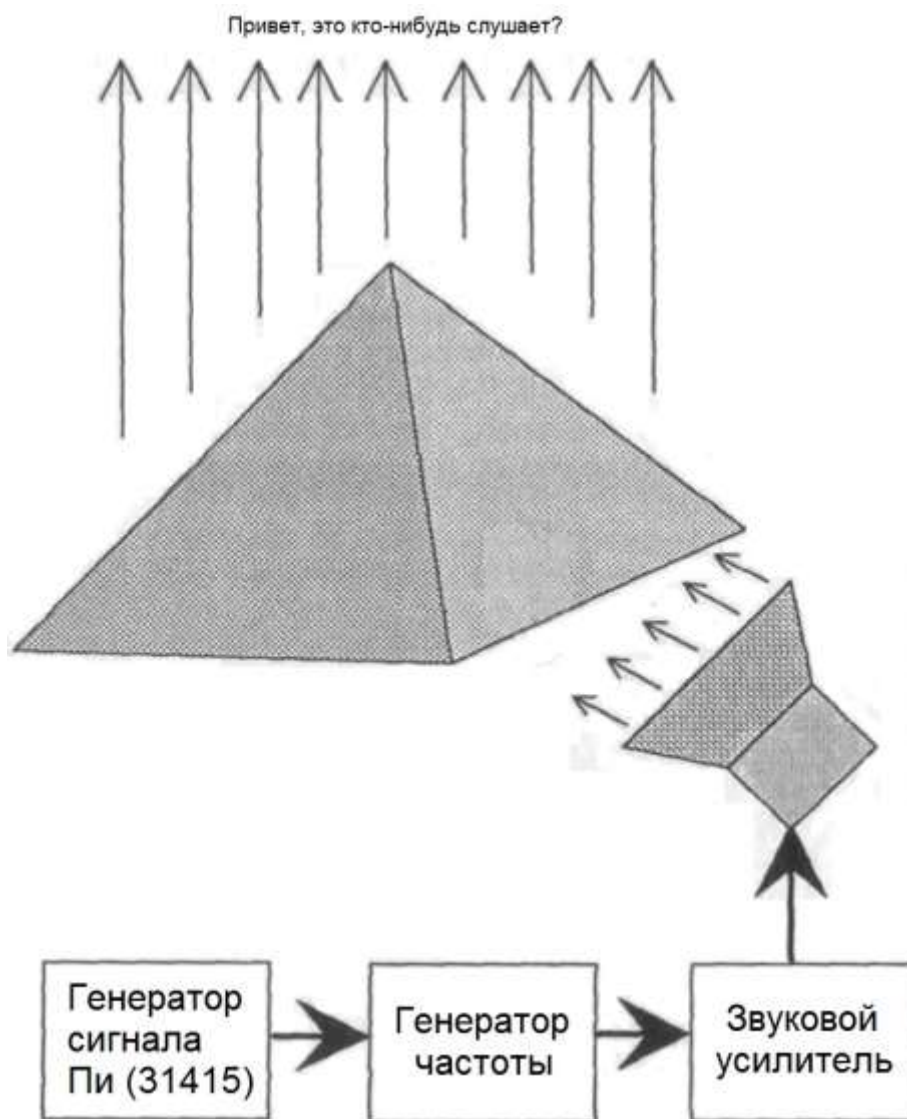


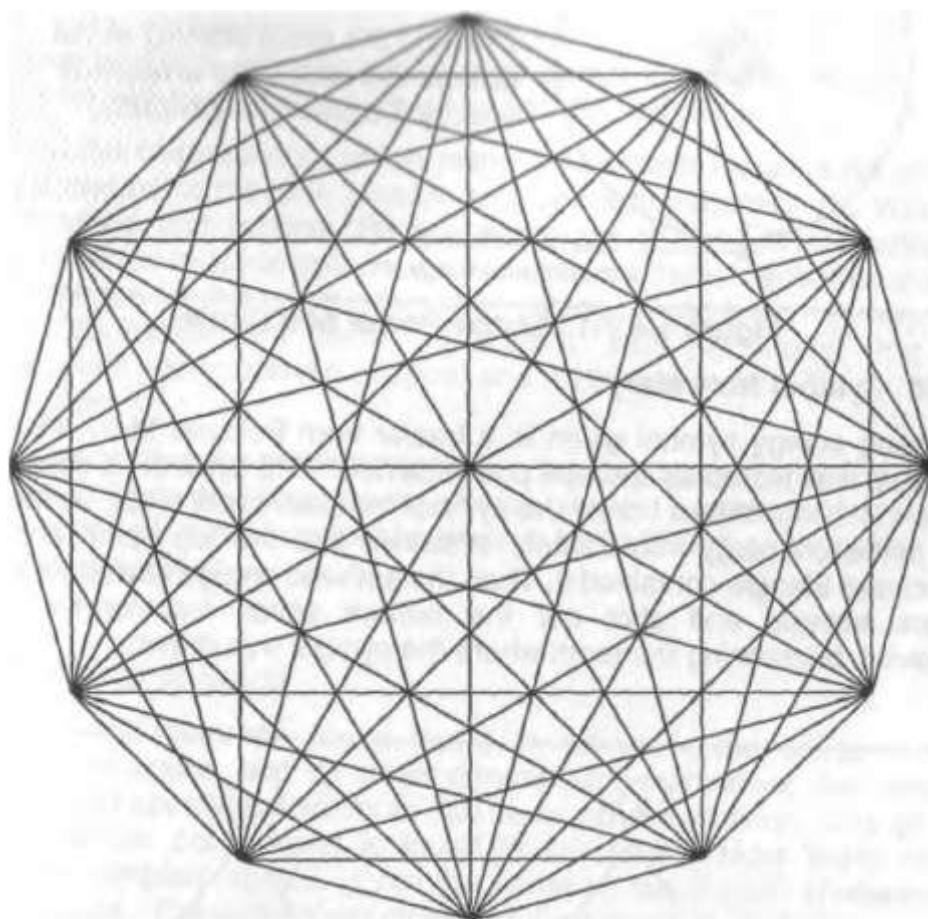
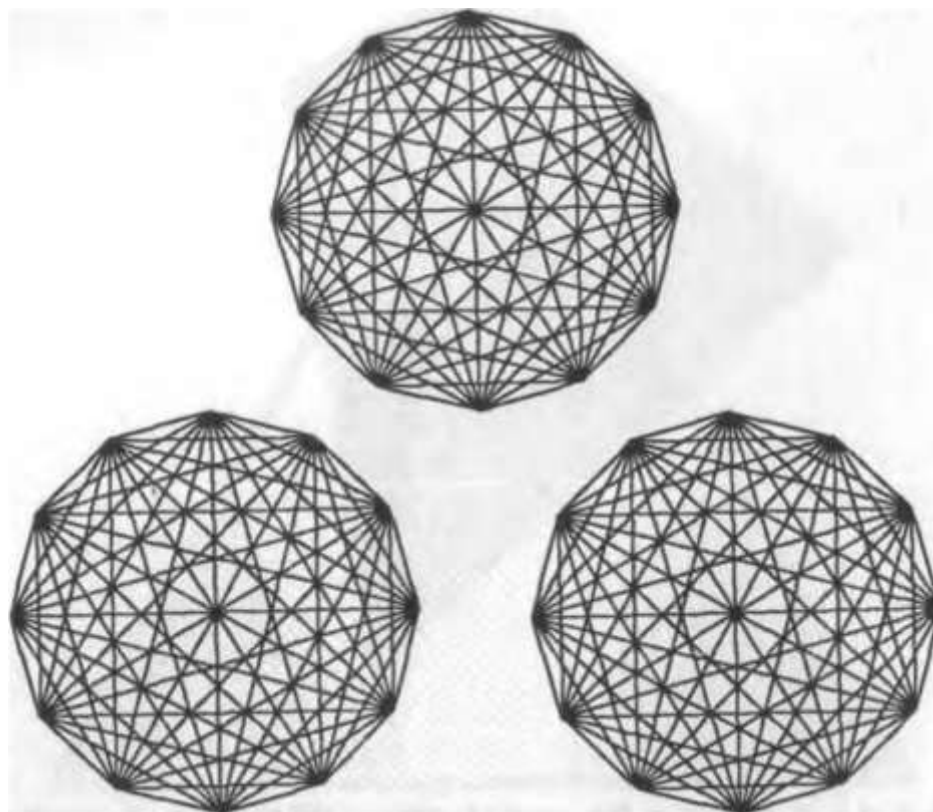
Рисунок 9.3.3-1 Эксперимент с межзвездным маяком Великой пирамиды

9.4 Измерения магнитного поля Великой пирамиды

Другой эксперимент, который я буду проводить, заключается в использовании чувствительного магнитометра fluxgate для измерения ориентации магнитного поля вокруг Великой пирамиды и в других древних местах. Это позволит проверить возможное искажение магнитного поля Земли вокруг этих мест и даст нам возможность точно определить возможные металлические артефакты.

9.5 Свидетельства существования передовых технологий в древнем Египте

Третьим аспектом египетской экспедиции является поиск признаков передовых технологий, которыми могли обладать древние.



Приложение А.

Движения сакральной энергии

Введение

Летом 1995 года я решил, что мне нужно больше узнать о том, как лично манипулировать эфирной энергией. Несколько дней спустя, в очень ярком духовном переживании, я оказался на открытой местности с тремя Существами. Это было красивое место, зеленая трава, несколько красивых деревьев, и спокойное, но с ощущением огромной энергии.

У Существ были очень интенсивные энергетические поля или ауры, которые я мог видеть и чувствовать. Их ауры излучали огромную силу, мощь и контроль. Существа были Мастерами или Адептами эфирной энергии, которые изначально полностью овладели собой. Главный Мастер показал мне движение энергии для создания моего собственного энергетического поля, как у них.

Со времени первого опыта в 1995 году у меня было еще три таких опыта, так что всего существует четыре движения, каждое из которых предназначено для определенной цели, но все они относятся к общей категории личного контроля и использования различных аспектов универсальной энергии.

Во время первого опыта руководитель команды сообщил мне, что вблизи земли существует интенсивное энергетическое поле. Я мог ощущать/чувствовать эту энергию над поверхностью земли во время опыта, и с тех пор доказал, что я также могу ощущать ее уровень во время бодрствования. Это энергетическое поле зеленого цвета, высотой 6-18 дюймов, и течет волнами с юга на север. Волны обладают огромным количеством энергии.

Общие указания

Выполняя движения, Мастера стояли лицом на север, сложив ладони на груди в молитвенной позе. Все они полностью контролировали себя в разуме, теле и духе, и в полной мере соответствовали слову Мастер (т.е. тот, кто овладел собой во всех аспектах). Выполняя движения, вы должны сосредоточиться ментально, эмоционально и духовно, прежде чем приступить к движению. Каждое движение заканчивается в той же позе, что и в начале, то есть в молитвенной позе лицом на север. Поскольку движения предназначены для подключения к природным энергетическим полям для личного использования, движения лучше всего выполнять на открытом воздухе, стоя на земле, чтобы максимально погрузиться в зеленую энергию. В прохладную погоду вы можете выполнять движения в доме, стоя на первом этаже. Эффекты от движений значительно уменьшаются, когда вы не стоите на земле или на первом этаже. За исключением движения подметания, эксперименты показали, что максимальные эффекты достигаются, когда лицом на север.

В дальнейшем термин "стандартная поза" означает положение стоя со слегка расставленными на ширине плеч ногами, лицом на север, руками на уровне груди, сложенными вместе в молитвенной позе и сосредоточенным ментально и духовно.

Эти движения затрагивают многие уровни энергии внутри человека, от духовного до эфирного, ментального, эмоционального и физического.

Движение Резак (Cutter)

Начните со стандартной позы. Затем слегка разведите руки в стороны, держа ладони обращенными друг к другу. Начните вращать руки в круговом движении, все время держа их параллельно и держа как можно ближе друг к другу, не касаясь. Продолжая вращать руками, присядьте на корточки и опустите руки перед собой до уровня земли между

вашиими ногами; а затем снова встаньте, все время выполняя режущее движение, поднимая руки над головой. Когда вы приседаете, а затем снова встаете, убедитесь, что продолжаете вращательное режущее движение.

Выполняя это движение, визуализируйте, как энергия втягивается в четыре нижних тела и очищает их, особенно энергетические центры физического тела (т.е. чакры и точки акупунктуры).

Было обнаружено, что чем ближе друг к другу вы можете держать руки, без соприкосновения, и приближения к телу во время режущего движения, тем интенсивнее это воздействие.

Основной эффект движения заключается в том, что оно очищает четыре нижних тела (то есть физическое, ментальное, эмоциональное и эфирное) от любых негативных энергий. Эксперименты показали, что максимальный эффект от этого движения достигается, когда лицом на север. Мы назвали это движение "Резак" в честь движения, разрезающего негативные энергии внутри и вокруг четырех нижних тел.

Движение Черпаки (Scoops)

Начните со стандартной позы. Присядьте на корточки и вытяните руки перед собой в обнимающем движении. Приседая на корточки, сделайте зачерпывающее движение и зачерпните зеленую энергию в свои четыре нижних тела, сложив руки чашечкой и двигая руками по круговым дугам к телу, зачерпывая энергию. Слово "тела" используется для того, чтобы заставить вас думать и визуализировать энергию, поступающую в ваши ментальные, эмоциональные, физические и эфирные тела. Первоначальное зачерпывание следует делать руками, расположенными близко к земле, делая несколько зачерпываний, и продолжая зачерпывать, когда вы медленно встаете.

Когда Мастера встали, они распушали свою ауру круговыми движениями, двигая руками по дугам, принося энергию в тело. Кроме того, они, казалось, визуализировали энергию, втягиваемую в тело. В конце они встряхивали свои руки, стряхивая любую отрицательно заряженную энергию, которую они могли извлечь из своих тел.

Основной эффект этого движения заключается в том, что оно заряжает четыре нижних тела (то есть физическое, ментальное, эмоциональное и эфирное). Эксперименты показали, что максимальный эффект от этого движения наблюдается, когда лицом на север. Мы назвали это движение "Черпаки" в честь движения зачерпывания энергии в тело.

После выполнения этого движения ясновидящие видят тела, наполненные энергией до такой степени, что она излучается примерно на 3 или 4 фута вокруг тел в ярком, очень интенсивном белом свете, настолько ярком, что физическое тело едва видно.

Движение Ножницы (Snips)

Начните со стандартной позы. Это движение выполняется путем сближения вместе пальцев правой руки в разрезающем действии. При выполнении этого движения человек должен стоять, положив левую руку на область сердца. Правая рука вытянута в том направлении, в котором должно произойти разрезание, пальцы вытянуты, а пальцы и большой палец сводятся вместе кончиками. Пальцы открываются и закрываются в разрезающем действии. Это движение отсекает негативные энергетические планы от других, возвращает энергию отправителю и освобождает его от любых связей с другими, чтобы на вас не влияли мысли и давление энергии от других. Лучший способ выполнять это движение отсечения вокруг всего тела, спереди, сзади, по бокам, сверху и снизу. При выполнении этого движения создается блокирующее силовое поле, которое защищает человека. Активность этого движения была подтверждена тестами ясновидящих и яснослышащих. Мы назвали это движение "Ножницы".

Несколько месяцев спустя во сне на меня напал человек с пистолетом. Я сделал движение ножницы, и человек был отброшен к стене, в то время как пистолет был выброшен из руки человека. Это должно было показать мне интенсивное блокирующее и защитное поле, создаваемое движением ножницы, хотя оно кажется таким невинным движением.

Движение Подметания (Sweeps)

Начните со стандартной позы. Это движение - замечательное движение для очистки эфирного и атмосферного пространства, куда бы оно ни было направлено. Чтобы начать это движение, повернитесь лицом на север и вытяните руки вперед, на высоте груди, ладонями вертикально и обращенными в прочь от тела. При старте левая рука должна быть выше правой. Теперь визуализируйте и почувствуйте энергию, выходящую из ладоней и кончиков пальцев. Затем опустите обе руки вниз размашистым движением на левую сторону тела и осторожно поверните влево талию во время движения подметания влево. Теперь верните руки в положение вытянутых ладоней перед телом; но на этот раз правая рука находится над левой рукой. Затем повторите движение подметания, но на этот раз размахивайте в правой сторону тела, все время визуализируя и ощущая энергию, исходящую от ладоней и кончиков пальцев. Следующий шаг - повернитесь на 45 градусов вправо и повторите все движение на этот раз лицом на северо-восток. Это движение подметания в каждую сторону тела повторяется в восьми основных направлениях компаса (т.е. на север, северо-восток, восток, юго-восток, юг, юго-запад, запад, северо-запад и обратно на север).

Тесты ясновидящих с помощью этого движения показывают, что оно вычищает путь ослепительного света, полностью очищая область вокруг того места, где находится человек, выполняющий движение. Движение также делает постоянные записи в этом месте и создает там интенсивный фокус эфирной световой энергии.

Режим, использующий движения зеленой энергии

Вышеуказанные энергетические движения описаны в том порядке, в котором их следует выполнять. Ниже приведен стандартный режим, который следует выполнять не реже одного раза в день.

Начните со стандартной позы.

Резак - очищает четыре нижних тела, чтобы другие движения были более эффективными. Выполните это не менее трех раз.

Черпаки - наполняет четыре нижних тела огромным количеством энергии. Выполните это не менее трех раз.

Ножницы - Устанавливает личное, защитное энергетическое поле и освобождает его от негативных энергетических планов и связей с другими. Сделайте это вокруг всего вашего тела.

Подметание - Очищает местность и мир от негативных энергетических паттернов, разрушительных эфирных записей и устанавливает фокус конструктивной энергии. Сделайте это по полному кругу дважды.

Резак - Сделайте еще один или два раза, чтобы еще раз очистить четыре нижних тела.

Черпаки - Сделайте еще два раза, чтобы действительно зарядить четыре нижних тела.

Закончите в стандартной позе, выражая благодарность Вселенной.

Результаты четырех энергетических движений

Мы обнаружили, что если у вас низкий уровень жизненных сил, то выполнение движения зачерпывания вернет ваш энергетический уровень на динамичный уровень. Поскольку зеленое энергетическое поле находится близко к земле, выполняйте движение на первом этаже или на открытом воздухе. Лицом на север, эксперименты показали, что черпаки лучше всего работают в этом направлении.

Эксперименты показывают, что движение подметания хорошо подходит для очищения местности. Помещения, особенно рабочее место, где, по-видимому, наблюдается низкая жизненная сила или негативные чувства, очищаются с помощью движения подметания. Желательно выполнять движение в комнате, когда вокруг никого нет, так как они могут подумать, что вы свихнулись. Степень очистки территории от нежелательных паттернов, по-видимому, зависит от намерения человека, выполняющего движение. Если во время выполнения движения подметания энергию рук визуализировать, она уходит на многие мили, это действительно происходит, и огромная область очищается.

При выполнении этих движений всегда идите средним путем, будьте внимательны к другим и не вторгайтесь в их образ жизни. Мы никогда не имеем права навязывать свой образ жизни другим. Тем не менее, вполне приемлемо быть благословением для местности, где бы мы ни находились, оставаясь незамеченными.

ПРИЛОЖЕНИЕ Б

СОКРАЩЕННАЯ ТАБЛИЦА ДАННЫХ ПО НУКЛИДАМ

Информация в этой таблице представлена тороидальным теоретиком - Charles Wm. Lucas, Jr., 4511 Poppe Place, Temple Hills, MD 20748 USA

Эта таблица представляет собой подборку нуклидов и атомной структуры, основанной на вихревой модели атома.

АТОМНЫЙ СИМВОЛ	A	Z	P 1	N 1	P 2	N 2	P 3	N 3	P 4	N 4	P 5	N 5	P 6	N 6	P 7	N 7	P 8	N 8	РЕАЛЬНЫЙ СПИН	КОЛЬЦЕВАЯ МОДЕЛЬ SPOIN	ОБОЗНАЧЕННАЯ МОДЕЛЬ SPIN
n	1	0	0	1															1/2	1/2	1/2
H	1	1	1	0															1/2	1/2	1/2
H	2	1	1	1															1	1	1
H	3	1	1	2															1/2	1/2	1/2
He	3	2	2	1															1/2	1/2	1/2
He	4	2	2	2															0	0	0
Li	5	3		2	3														3/2	3/2	3/2
Li	6	3	2	2	1	1													1	1	3
Li	7	3			3	4													3/2	3/2	3/2
Li	8	3		1	3	4													2	2	2
Li	9	3		2	3	4													3/2	3/2	3/2
Li	11	3	1		2			8											1/2	1/2	3/2
Be	6	4	2	2	2														0	0	0
Be	7	4	2		2	3													3/2	3/2	3/2
B	7	5	2	2	3														?	3/2	1/2
B	8	5	2	2	3	1													2	2	2

АТОМНЫЙ СИМВОЛ	A	Z	P 1	N 1	P 2	N 2	P 3	N 3	P 4	N 4	P 5	N 5	P 6	N 6	P 7	N 7	P 8	N 8	РЕАЛЬНЫЙ СПИН	КОЛЬЦЕВАЯ МОДЕЛЬ SPOIN	ОБОЗНАЧЕННАЯ МОДЕЛЬ SPIN
C	8	6	2		4	2													0	0	0
C	9	6	2		4	3													3/2	3/2	3/2
N	12	7	1	1	6	4													1	1	2
N	13	7	1		6	6													1/2	1/2	1/2
O	12	8																	?	0	0
O	13	8			4	3	4	4											3/2	3/2	3/2
F	15	9	1	2	6	6													1/2	1/2	5/2
F	16	9		1	1	2	6	6											0	0	3
Ne	15	10	2		8	6													?	0	0
Ne	17	10	2	1	8	6													1/2	1/2	1/2
Na	19	11			3		8	8											?	3/2	5/2
Na	20	11			3	1	8	8											2	2	5
Mg	20	12																	?	0	0
Mg	21	12		4	4	5	8												5/2	5/2	5/2
Al	22	13			5	3	8	6											4	4	5
Al	23	13			5	4	8	6											?	5/2	5/2
Si	23	14	2		4	3	8	6											?	3/2	5/2
Si	24	14	2		4	4	8	6											?	0	5
P	25	15	2	1	5	4	8	6											3	3	3
P	27	15	1	0	6	4	8	8											1/2	1/2	1/2
S	29	16	2	0	6	5	8	8											5/2	5/2	5/2
S	30	16	2	0					14	14									0	0	5
Cl	31	17			3	0			14	14									3/2	3/2	3/2
Cl	32	17	1	1	2	0			14	14									1	1	2

АТОМНЫЙ СИМВОЛ	A	Z	P 1	N 1	P 2	N 2	P 3	N 3	P 4	N 4	P 5	N 5	P 6	N 6	P 7	N 7	P 8	N 8	РЕАЛЬНЫЙ СПИН	КОЛЬЦЕВАЯ МОДЕЛЬ SPIN	ОБОЛОЧКАЯ МОДЕЛЬ SPIN
Ar	31	18																	?		5/2
Ar	32	18			2				16	14									?	0	0
K	35	19			3	2			16	14									3/2	3/2	3/2
K	36	19			3	1			16	16									2	2	3
Ca	35	20		1	6				14	14									?	1/2	1/2
Ca	36	20	2		4	2			14	14									?	0	0
Sc	40	21	2	2	5	3			14	14									4	4	5
Sc	41	21			7	6			14	14									7/2	7/2	7/2
Ti	41	22			2	3	8		14	14									3/2	3/2	3/2
Ti	42	22			2	4	8		14	14									?	0	0
V	43	23																	?		7/2
V	44	23																	?		7
Cr	44	24	2	2	6	6			14	14									?	0	0
Cr	45	24	2	2	6	7			14	14									7/2	7/2	7/2
Mn	46	25																	?		7
Mn	47	25																	?		7/2
Fe	48	26																	?	0	0
Fe	49	26																	7/2		7/2
Co	56	27			3	5	6	6	18	18									4	4	5
Co	57	27			2	4	7	8	18	18									7/2	7/2	7/2
Ni	58	28			2	2							26	26					(0)	0	0
Ni	60	28			2	4							26	26					(0)	0	0
Cu	60	29			1	3							28	28					2	2	7
Cu	63	29		2	3	4							26	28					3/2	3/2	3/2

АТОМНЫЙ СИМВОЛ	A	Z	P 1	N 1	P 2	N 2	P 3	N 3	P 4	N 4	P 5	N 5	P 6	N 6	P 7	N 7	P 8	N 8	РЕАЛЬНЫЙ СПИН	КОЛЬЦЕВАЯ МОДЕЛЬ SPIN	ОБОЛОЧКАЯ МОДЕЛЬ SPIN
Zn	64	30			4	4							26	30					(0)	0	0
Zn	66	30			4	6							26	30					(0)	0	0
Ga	68	31	1	1	4	6							26	30					1	1	4
Ga	69	31	2	2	3	4							26	32					3/2	3/2	3/2
Ge	70	32			4	6							26	32					0	0	0
Ge	72	32		2	4	6							26	32					0	0	0
As	73	33			3	4	4	6					26	30					3/2	3/2	5/2
As	74	33			1	3	6	8					26	30					(2)	2	7
Se	73	34							8	9			26	30					(3/2)	3/2	1/2
Se	74	34							8	10			26	30					(0)	0	0
Br	77	35			3	4	6	8					26	30					3/2	3/2	5/2
Br	79	35			3	4	6	8					26	32					3/2	3/2	5/2
Kr	78	36			2	4	6	8					28	30					(0)	0	0
Kr	80	36			2	4	6	8					28	32					(0)	0	0
Rb	81	37			3	4	8	8					26	32					3/2	3/2	5/2
Rb	85	37		2	5	6	8	8					26	32					5/2	5/2	5/2
Sr	84	38			2	4			8	10			26	32					(0)	0	0
Sr	86	38		2					10	14			28	32					(0)	0	0
Y	88	39		2	3	5			8	10			28	32					(4)	4	5
Y	89	39	1	2	4	6			8	10			26	32					1/2	1/2	1/2
Zr	90	40			4	6			8	12			28	32					0	0	0
Zr	91	40		2	4	5			8	12			28	32					5/2	5/2	1/2
Nb	93	41	2	2				8	9	10			30	32					3/2	3/2	3/2
Mo	92	42							14	18			28	32					(0)	0	0
Mo	94	42						8	12	14			30	32					(0)	0	0

АТОМНЫЙ СИМВОЛ	A	Z	P 1	N 1	P 2	N 2	P 3	N 3	P 4	N 4	P 5	N 5	P 6	N 6	P 7	N 7	P 8	N 8	РЕАЛЬНЫЙ СПИН	КОЛЬЦЕВАЯ МОДЕЛЬ SPOIN	ОБОЛОЧЕННАЯ МОДЕЛЬ SPIN
Tc	99	43			4	6		8	9	10			30	32					9/2	9/2	9/2
Ru	96	44						8	12	14			32	32					(0)	0	0
Ru	98	44		2				8	12	14			32	32					(0)	0	0
Pd	102	46						8							46	48			(0)	0	0
Pd	104	46		2				8							46	48			(0)	0	0
Ag	107	47	1	2				8							46	50			1/2	1/2	9/2
Ag	109	47	1	2		4		8							46	50			1/2	1/2	9/2
Cd	106	48						8							48	50			(0)	0	0
Cd	108	48		2				8							48	50			(0)	0	0
In	113	49					8	8	9	10			14	32	32				9/2	9/2	9/2
In	114	49		1				8	8	9	10		14	32	32				5	5	6
Sn	112	50								12					50	50			(0)	0	0
Sn	114	50								14					50	50			(0)	0	0
Sb	121	51			5	6				18					46	46			5/2	5/2	7/2
Sb	122	51			1	3				18					50	50			2	2	9
Te	120	52	2	2						16					50	50			(0)	0	0
Te	122	52	2	2						18					50	50			(0)	0	0
I	126	53	2	2	1	3				18					50	50			2	2	9
I	127	53			5	6				18					48	50			5/2	5/2	7/2
Xe	124	54			4	6				14					50	50			(0)	0	0
Xe	126	54			4	6				16					50	50			(0)	0	0
Cs	131	55		2	5	6				18					50	50			5/2	5/2	11/2
Cs	133	55		2	7	8				18					48	50			7/2	7/2	11/2
Ba	129	56		1	6	8				14					50	50			(1/2)	1/2	11/2
Ba	130	56			6	8				16					50	50			(0)	0	0

АТОМНЫЙ СИМВОЛ	A	Z	P 1	N 1	P 2	N 2	P 3	N 3	P 4	N 4	P 5	N 5	P 6	N 6	P 7	N 7	P 8	N 8	РЕАЛЬНЫЙ СПИН	КОЛЬЦЕВАЯ МОДЕЛЬ SPOIN	ОБОЛОЧЕННАЯ МОДЕЛЬ SPIN	
La	138	57	2	2	5	5		8		16					50	50			5	5	9	
La	139	57			7	8		8		16					50	50			7/2	7/2	7/2	
Ce	138	58	2	2	6	6		8		14					50	50			(0)	0	0	
Ce	139	58		2	2	3	6	8		18					50	50			3/2	3/2	11/2	
Pr	141	59		2	4	4	5	8		18					50	50			5/2	5/2	5/2	
Nd	141	60		2	2	3	8	8		18					50	50			(3/2)	3/2	11/2	
Nd	142	60		2	2	4	8	8		18					50	50			(0)	0	0	
Pm	147	61		2	6	8	7	8				18			48	50			(7/2)	7/2	5/2	
Sm	144	62							12	14		18			50	50			(0)	0	0	
Sm	147	62		2	6	7	8	8				18			48	50			7/2	7/2	9/2	
Gd	154	64						8	14	14		18			50	50			(0)	0	0	
Gd	156	64			2	3			14	18		18			48	50			3/2	3/2	9/2	
Dy	160	66				8			16	18		18			50	50			(0)	0	0	
Dy	162	66		2		8			18	18		18			50	50			(0)	0	0	
Ho	165	67		2	7	8		8	10	12		18			50	50			7/2	7/2	7/2	
Er	164	68		2		8			18	18		18			50	50			(0)	0	0	
Er	166	68							18	18				32	50	50			(0)	0	0	
Yb	172	70	2	2					18	18				32	50	50			(0)	0	0	
Yb	174	70			2	4			18	18				32	50	50			(0)	0	0	
Lu	176	71			5	7			16	16				32	50	50			(6/7)	6	8	
Hf	176	72			4	4			18	18				32	50	50			(0)	0	0	
Hf	178	72			4	6			18	18				32	50	50			(0)	0	0	
Ta	181	73			7	8			16	18				32	50	50			7/2	7/2	11/2	
W	180	74			6	6			18	18				32	50	50			0	0	0	
W	182	74									24	26			32	50	50			0	0	0

АТОМНЫЙ СИМВОЛ	A	Z	P 1	N 1	P 2	N 2	P 3	N 3	P 4	N 4	P 5	N 5	P 6	N 6	P 7	N 7	P 8	N 8	РЕАЛЬНЫЙ СПИН	КОЛЬЦЕВАЯ МОДЕЛЬ SPOIN	ОБОЛОЧКАЯ МОДЕЛЬ SPIN
Re	187	75			5	6					20	24		32	50	50			5/2	5/2	11/2
Os	186	76									26	28		32	50	50			(0)	0	0
Os	187	76		1							26	28		32	50	50			1/2	1/2	11/2
Ir	191	77			3	4					24	26		32	50	50			3/2	3/2	11/2
Ir	193	77		2	3						24	26		32	50	50			3/2	3/2	11/2
Pt	192	78									26	32		32	50	50			(0)	0	0
Pt	194	78		2							26	32		32	50	50			(0)	0	0
Au	196	79			1	3					26	32		32	50	50			2	2	12
Au	197	79		2	3	4					26	30		32	50	50			3/2	3/2	11/2
Hg	198	80								18		18	30	30	50	50			(0)	0	0
Hg	198	80								18		18	30	32	50	50			(0)	0	0
Tl	200	81			1	3				18		18	30	30	50	50			2	2	12
Tl	203	81	1	2		8					30	30		32	50	50			1/2	1/2	11/2
Pb	204	82				8				14		16	32	32	50	50			(0)	0	0
Pb	205	82				5				16		18	32	32			50	50	(5/2)	5/2	13/2
Bi	208	83			1	7				18		18	32	32			50	50	(4)	4	11
Bi	209	83		1	1	7				18		18	32	32			50	50	9/2	9/2	9/2
Po	209	84		1	2	6				18		18	32	32			50	50	1/2	1/2	13/2
Ac	227	89		2	3	8					18		32	32	32	50	50		3/2	3/2	9/2
Th	229	90			4	5		6			18		32	32	32	50	50		(5/2)	5/2	11/2
Th	230	90			4	6		6			16		32	32	32	50	50		(0)	0	0
Pa	231	91	2	2	3	4		6			18		32	32	32	50	50		3/2	3/2	9/2
Pa	233	91	2	2	3	6		8			18		32	32	32	50	50		(3/2)	3/2	9/2
U	233	92	2	2	4	5		6			18		32	32	32	50	50		5/2	5/2	11/2
U	235	92			6	7		8			16		32	32	32	50	50		7/2	7/2	11/2

АТОМНЫЙ СИМВОЛ	A	Z	P 1	N 1	P 2	N 2	P 3	N 3	P 4	N 4	P 5	N 5	P 6	N 6	P 7	N 7	P 8	N 8	РЕАЛЬНЫЙ СПИН	КОЛЬЦЕВАЯ МОДЕЛЬ SPOIN	ОБОЛОЧКАЯ МОДЕЛЬ SPIN
Np	237	93	2	2	5	6		8				18		32	32	32	50	50	5/2	5/2	7/2
Np	239	93	1	2	6	8		8				18		32	32	32	50	50	1/2	1/2	7/2
Pu	239	94		1	8	8		8				18		32	32	32	50	50	1/2	1/2	11/2
Pu	241	94	2	2	4	5				12		18		32	32	32	50	50	5/2	5/2	11/2
Am	241	95	2	2	5	6				10		18		32	32	32	50	50	5/2	5/2	7/2
Am	242	95	1	1	6	8				10		18		32	32	32	50	50	1	1	9
Cm	242	96	2	2	6	6				10		18		32	32	32	50	50	(0)	0	0
Bk	250	97			1	3	8	8		16		18		32	32	32	50	50	(2)	2	7